

# **INTRODUCTION TO MATERIAL VARIABILITY OF MECHANICAL PROPERTIES AND LENGTH SCALES**

**A. Pineau**

**Centre des Matériaux - École des Mines**

**B.P. 87 - 91003 EVRY Cedex**

**e-mail : andre.pineau@ensmp.fr**

**I - INTRODUCTION - CASE STUDIES**

**II - ELASTICITY**

**III - PLASTICITY**

**IV - FRACTURE : 2 Case Studies**

- Duplex Stainless Steels
- Welds

**V - A SIMPLE MODEL BASED ON WEAKEST LINK THEORY**

**VI - CONCLUSIONS**



# **INTRODUCTION TO MATERIAL VARIABILITY OF MECHANICAL PROPERTIES AND LENGTH SCALE**

A. Pineau

Centre des Matériaux - École des Mines

B.P. 87 - 91003 EVRY Cedex

e-mail : andre.pineau@ensmp.fr

## **I - INTRODUCTION - CASE STUDIES**

## **II - ELASTICITY**

## **III - PLASTICITY**

## **IV - FRACTURE : 2 Case Studies**

- Duplex Stainless Steels
- Welds

## **V - A SIMPLE MODEL BASED ON WEAKEST LINK THEORY**

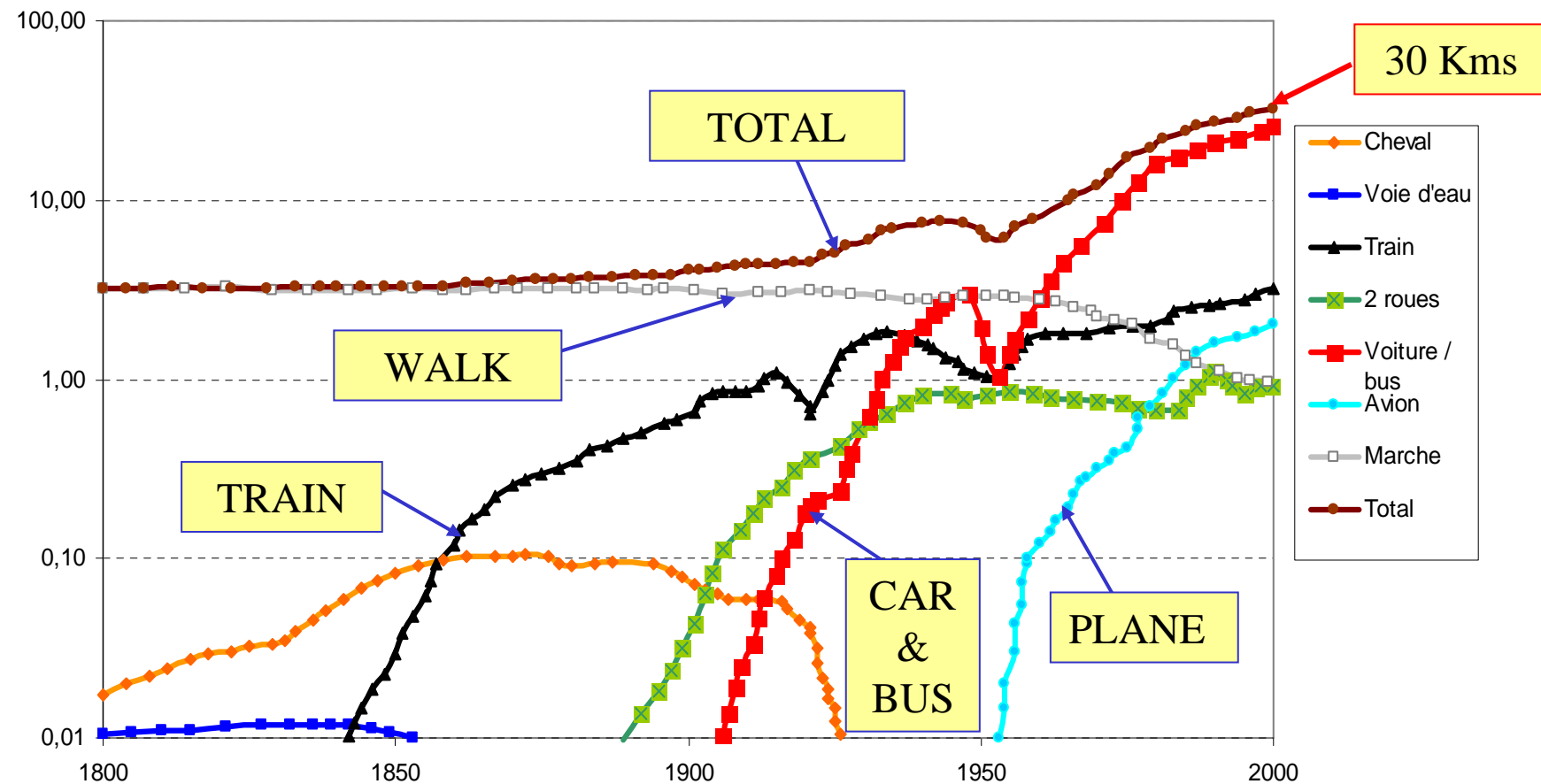
## **VI - CONCLUSIONS**

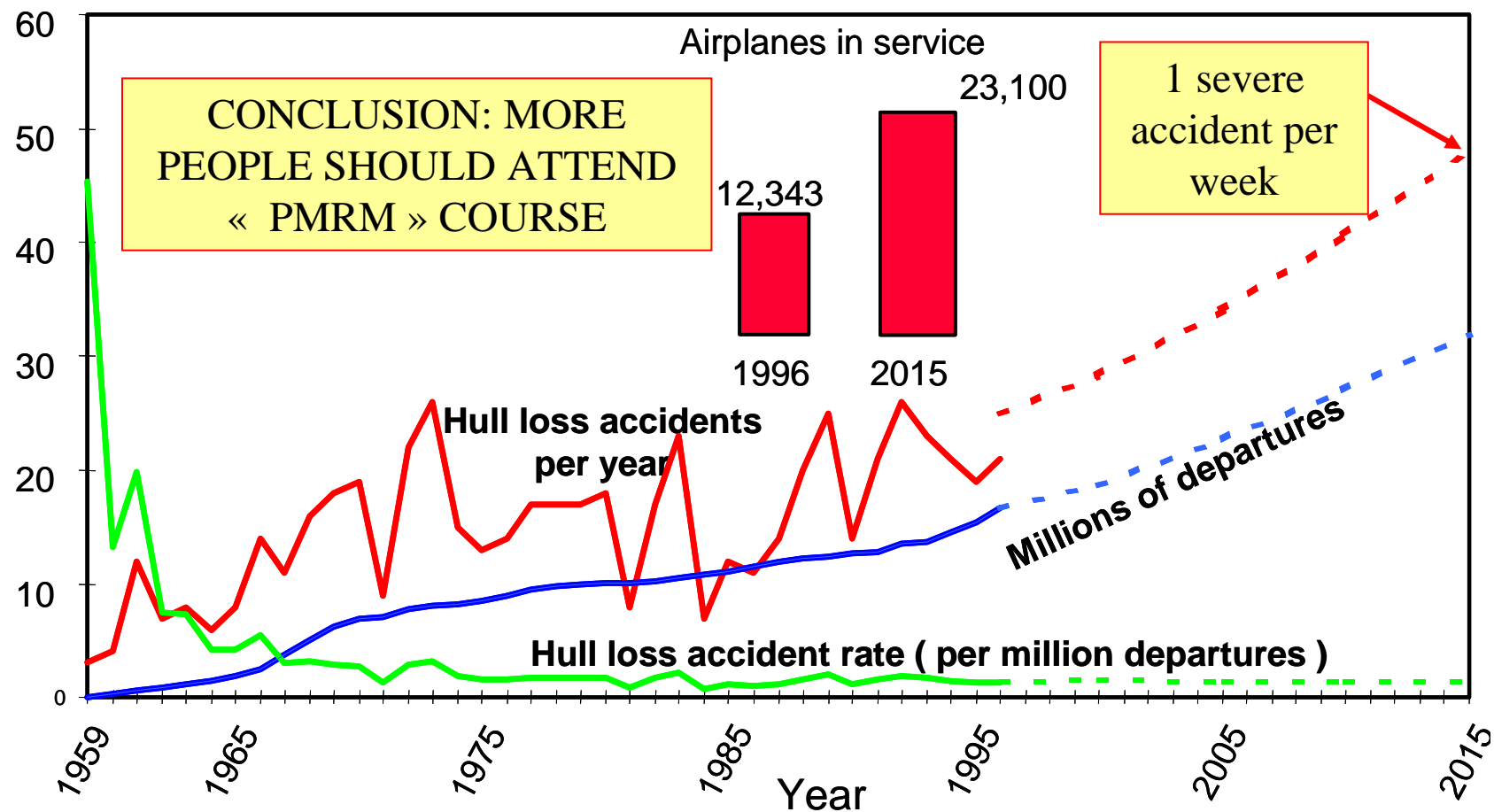


# TRANSPORTATION : FARTHER , FASTER , EASIER and CHEAPER

Evolution of the distances (Km) covered per person and per day in France since 1800

- Grübler et Nakicenovic, 1991, *Estimations de Francis Papon pour la marche*
- Jean-Marc Jancovici – Mines ParisTech mai-juin 2010- [www.manicore.com](http://www.manicore.com)





Etude statistique sur l'évolution du trafic aérien et du nombre d'accidents  
(source MANHIRP, 2001)



## Introduction

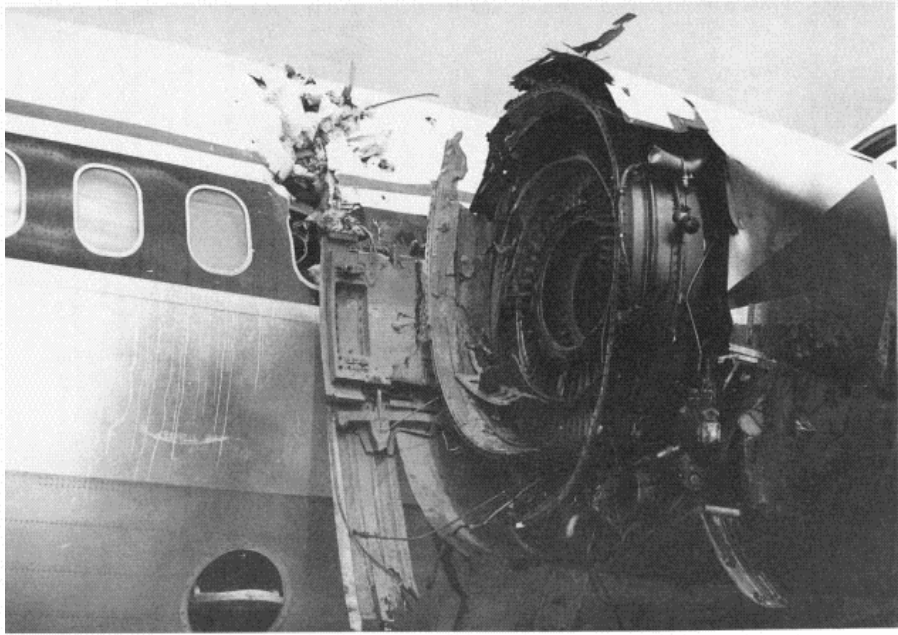


Moteur CFM56 (source Snecma)



## Introduction

TA6V. Défaut de perçage. Rupture disque fan.

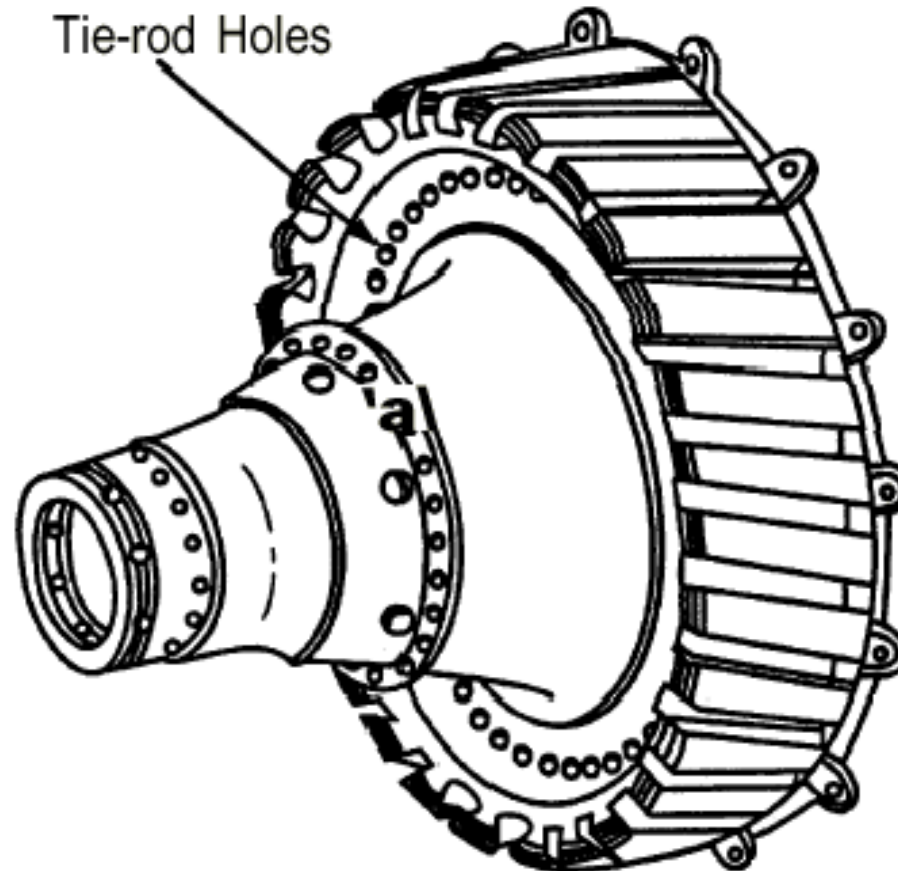


Accident Pensacola, Floride, U.S.A., 06 juillet 1996

Eclatement d'un disque de MD88 Delta Air Lines, Moteur P & W JT8D



## Introduction



Accident Pensacola, Floride, U.S.A., 06 juillet 1996

Eclatement d'un disque de MD88 Delta Air Lines, Moteur P & W JT8D



Fatigue

Aloha, 28 avril 1988



Fatigue

Aloha, 28 avril 1988



9



Fatigue

Boeing 767 Los Angeles, 02 juin 2006  
*engine type : GE CF6-80A2*



COPYRIGHT GUSTAVO BERTRÁN

AIRLINERS.NET

10



Fatigue



Boeing 767 Los Angeles, 02 juin 2006  
*engine type : GE CF6-80A2*



Fatigue

Boeing 767 Los Angeles, 02 juin 2006

*engine type : GE CF6-80A2*



12



Fatigue

Boeing 767 Los Angeles, 02 juin 2006  
engine type : GE CF6-80A2



13



Fatigue

Boeing 767 Los Angeles, 02 juin 2006

*engine type : GE CF6-80A2*



## ASTB- Qantas Airbus A 380 inflight engine failure- Batam Island Indonesia – 04 November 2010

### ATTERRISSAGE D'URGENCE

Un Airbus A380 de la compagnie Qantas transportant 459 personnes à son bord a effectué un atterrissage d'urgence jeudi à Singapour en raison de l'avarie d'un de ses quatre réacteurs.



ASTB- Qantas Airbus A 380 inflight engine failure- Batam Island Indonesia – 04 November 2010



16



ASTB- Qantas Airbus A 380 inflight engine failure- Batam Island Indonesia – 04 November 2010



ASTB- Qantas Airbus A 380 inflight engine failure- Batam Island Indonesia – 04 November 2010



ASTB- Qantas Airbus A 380 inflight engine failure- Batam Island Indonesia – 04 November 2010



ASTB- Qantas Airbus A 380 inflight engine failure- Batam Island Indonesia – 04 November 2010



20



## Rupture Fragile

*BOUCHARD (N.H.), 1978, R.M. Pelloux*



Rupture Fragile



BOUCHARD (N.H.), 1978,  
R..M. Pelloux



Erika, 12/12/1999



Erika, 12/12/1999



Erika, 12/12/1999



Photo Marine Nationale



## Provence-Alpes-Côte d'Azur

### Après la rupture d'un oléoduc dans les Bouches-du-Rhône

- 9 000 tonnes de pétrole se sont échappées
- La solidité des tuyaux est mise en cause

Marseille. — Ce sont 8 000 à 9 000 tonnes de pétrole brut — et non 2 000 tonnes comme on l'avait dit — qui se sont échappées d'un oléoduc dans la nuit du 9 au 10 août dernier (voir le *Monde* des 12 et 13 août) à Paluds-de-Noves, entre Châteaurenard et Saint-Rémy-de-Provence (Bouches-du-Rhône).

Et l'on commence à peine à dresser le bilan des dégâts. Grâce à la rapidité d'intervention des techniciens de la Société du pipeline européen (S.P.L.S.E.), les vannes ont été fermées en quelques minutes et une partie du pétrole a pu être aspirée aussitôt en amont de la fuite — et, à l'ampleur des moyens mis en œuvre par la sécurité civile, la pollution a pu être circonscrite.

Sur le lieu même de l'accident, 2 à 3 hectares de vergers ont été contaminés par les hydrocarbures qui se sont infiltrés à une profondeur variant entre 20 et 30 centimètres et plus de 2 mètres. Des drains et des puisards ont été creusés pour assainir le terrain. Une partie des terres et des végétaux devra sans doute être incinérée. Le flot de pétrole a, d'autre part, souillé la rivière l'Aiguillon sur 7 kilomètres et a gagné la Durance, où il s'est répandu sur près de 1 kilomètre avant d'être stoppé par des barrages flottants. Les dégâts causés à la faune n'ont pas pu encore être évalués. Selon les responsables de la S.P.L.S.E., de 80 à 90 % du volume des hydrocarbures échappés à l'oléoduc seront, en définitive, récupérés par pompage.

Les opérations de nettoyage, qui ont été confiées à des sociétés privées après le dégagement, lundi 18 août, des militaires, se poursuivront encore pendant plusieurs semaines. Il conviendra ensuite de tirer tous les enseignements de cet accident,

De notre correspondant régional

qui aurait pu prendre des allures de catastrophe, en particulier pour les six cents exploitants agricoles de la région utilisant l'eau de la Durance et de l'Aiguillon. Tous les frais engendrés par le sinistre et notamment les indemnités aux agriculteurs lésés seront pris en charge par la société exploitant l'oléoduc.

A plus long terme, on s'interroge sur les causes de l'accident et sur la solidité de l'oléoduc. En effet, c'est la deuxième fois qu'un accident de ce type survient en moins de deux ans sur les installations de la société du pipeline européen. Or, comme en novembre 1978 à Saint-Martin-de-Crau, c'est une soudure longitudinale qui s'est rompue.

Il semble donc, dans un cas comme dans l'autre, que la qualité du matériel livré par les constructeurs puisse être incriminée. Les fuites se sont produites sur deux canalisations de calibres et d'âges différents : celle de 24 pouces installée en 1962 à Saint-Martin-de-Crau, et celle de 40 pouces datant de 1972 à Paluds-de-Noves. Elles n'ont pas été construites par les mêmes sociétés et, selon la société d'exploitation, ces ouvrages avaient été testés de façon concluante avant leur mise en service. La canalisation endommagée de Saint-Martin-de-Crau ne présentait sans doute pas toutes les garanties de solidité puisqu'au lendemain de l'accident la S.P.L.S.E. n'avait pas hésité à remplacer 12 kilomètres de lignes « pour éviter de prendre des risques supplémentaires ». Il est vrai qu'une première fuite, aux conséquences limitées, et que l'on

a apprise récemment, avait déjà été constatée dans le même secteur en septembre 1976. Pourtant, le remplacement des tuyaux sur une grande longueur — mesure draconienne et coûteuse — n'est pas envisagée pour l'instant à Paluds-de-Noves.

GUY PORTE.



## Ile-de-France

### La construction de l'Institut du monde arabe

#### NOUVELLES PROPOSITIONS DE LA MAIRIE DE PARIS

M. Jacques Chirac a proposé le lundi 8 septembre au ministère des affaires étrangères sept terrains de remplacement pour l'implantation de l'Institut du monde arabe ailleurs que rue de la Fédération dans le quinzième arrondissement.

Les deux premiers terrains proposés par la mairie sont respectivement situés près de la Porte Champerret (17<sup>e</sup> arrondissement) et sur les terrains Citroën (15<sup>e</sup>). Les cinq autres propositions sont les suivantes : le terrain Peugeot (16<sup>e</sup>), à Bercy (12<sup>e</sup>), Citroën (15<sup>e</sup>), le palais du Bardo dans le parc Montsouris (14<sup>e</sup>), et en bordure de la place d'Italie (13<sup>e</sup>), là où devait se dresser la tour « Apogée ».

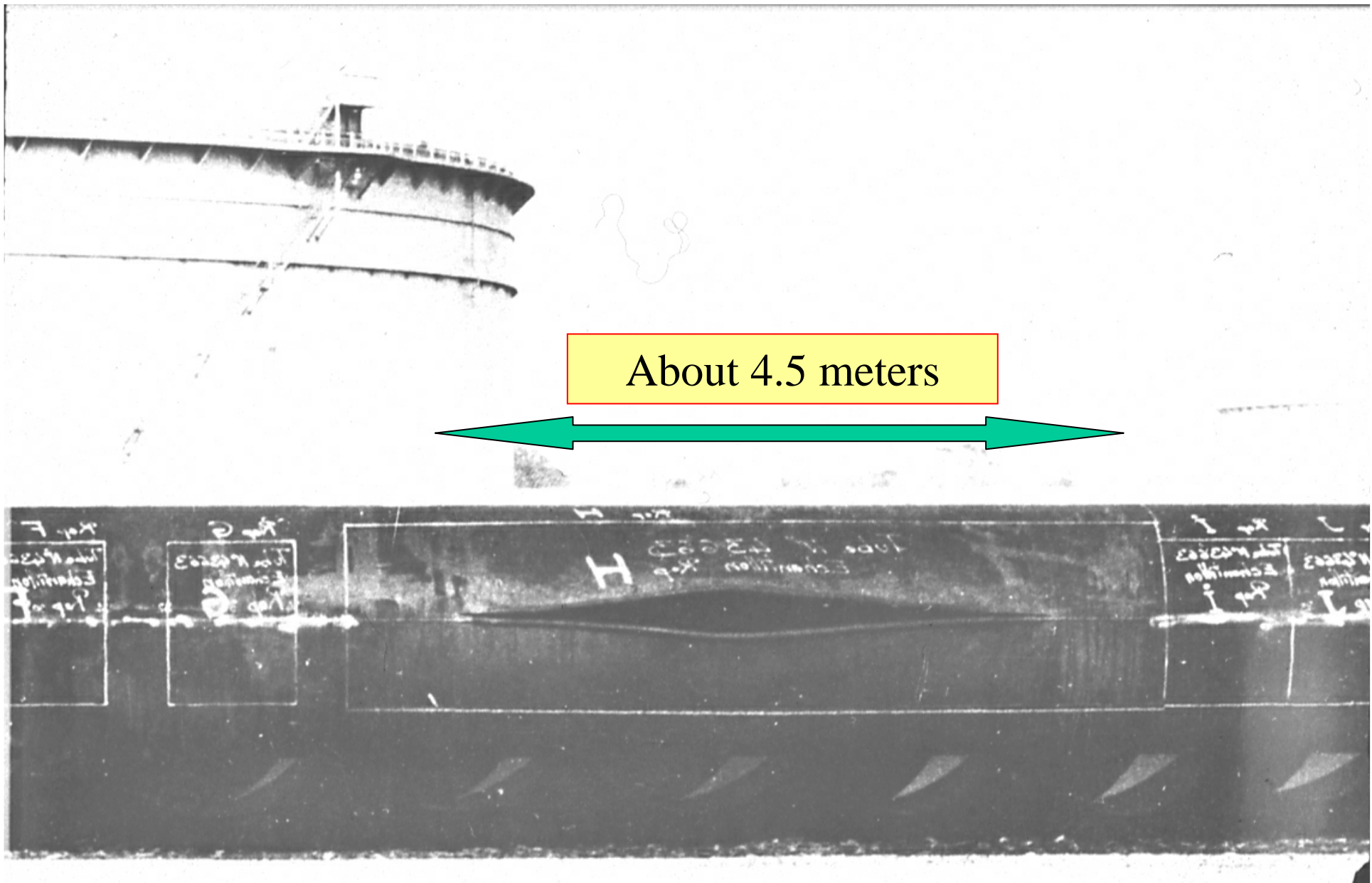
Pour M. Philippe Ardant, coresponsable de l'Institut du monde arabe, « les propositions de la mairie de Paris ne remettent pas en cause le choix du terrain de la rue de la Fédération. Car ces terrains ont déjà été refusés ou ne sont pas utilisables immédiatement ».

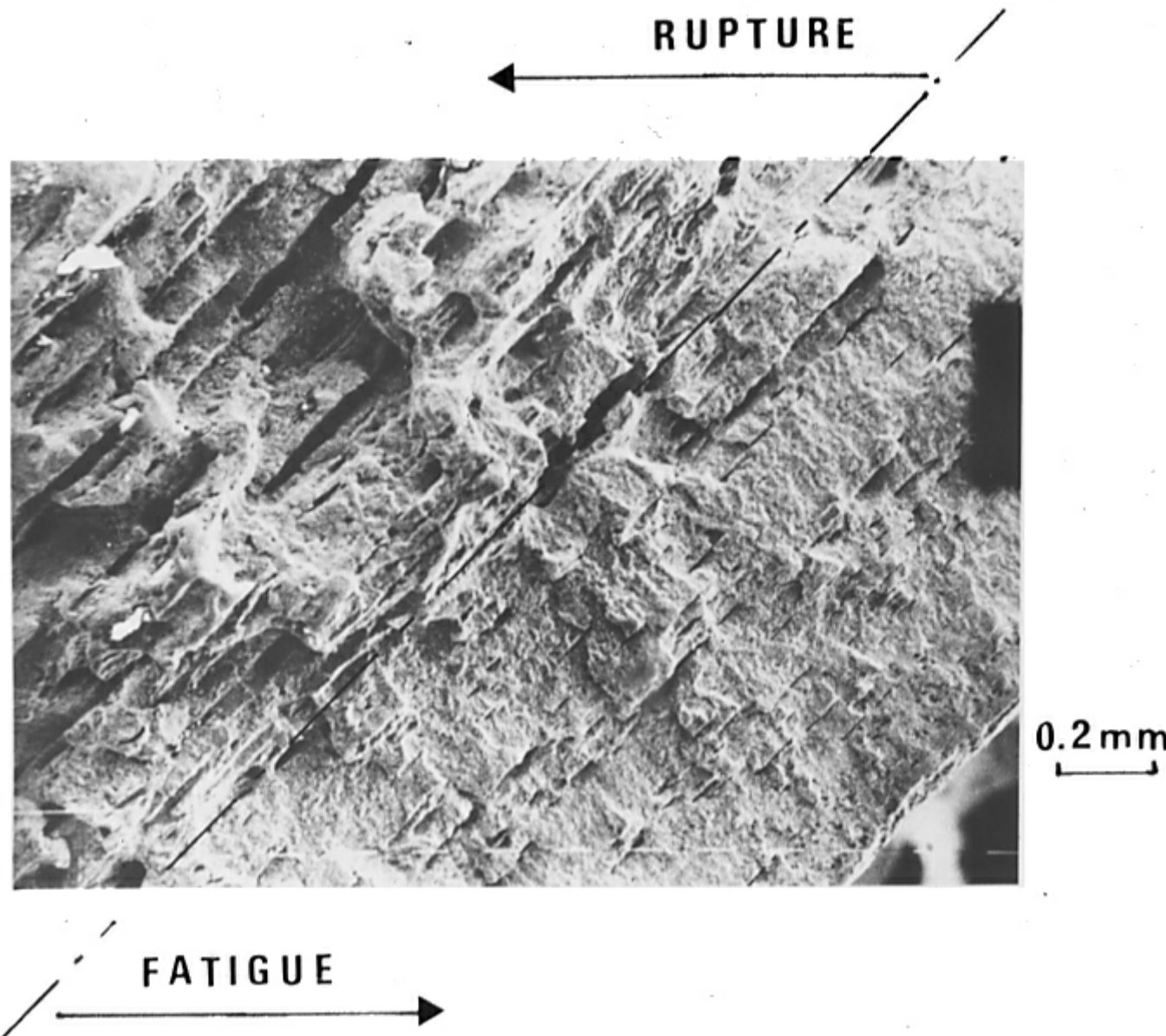


✿ Fracture  
09 august 1980  
between St Rémy  
de Provence and  
Paluds-de-Nove



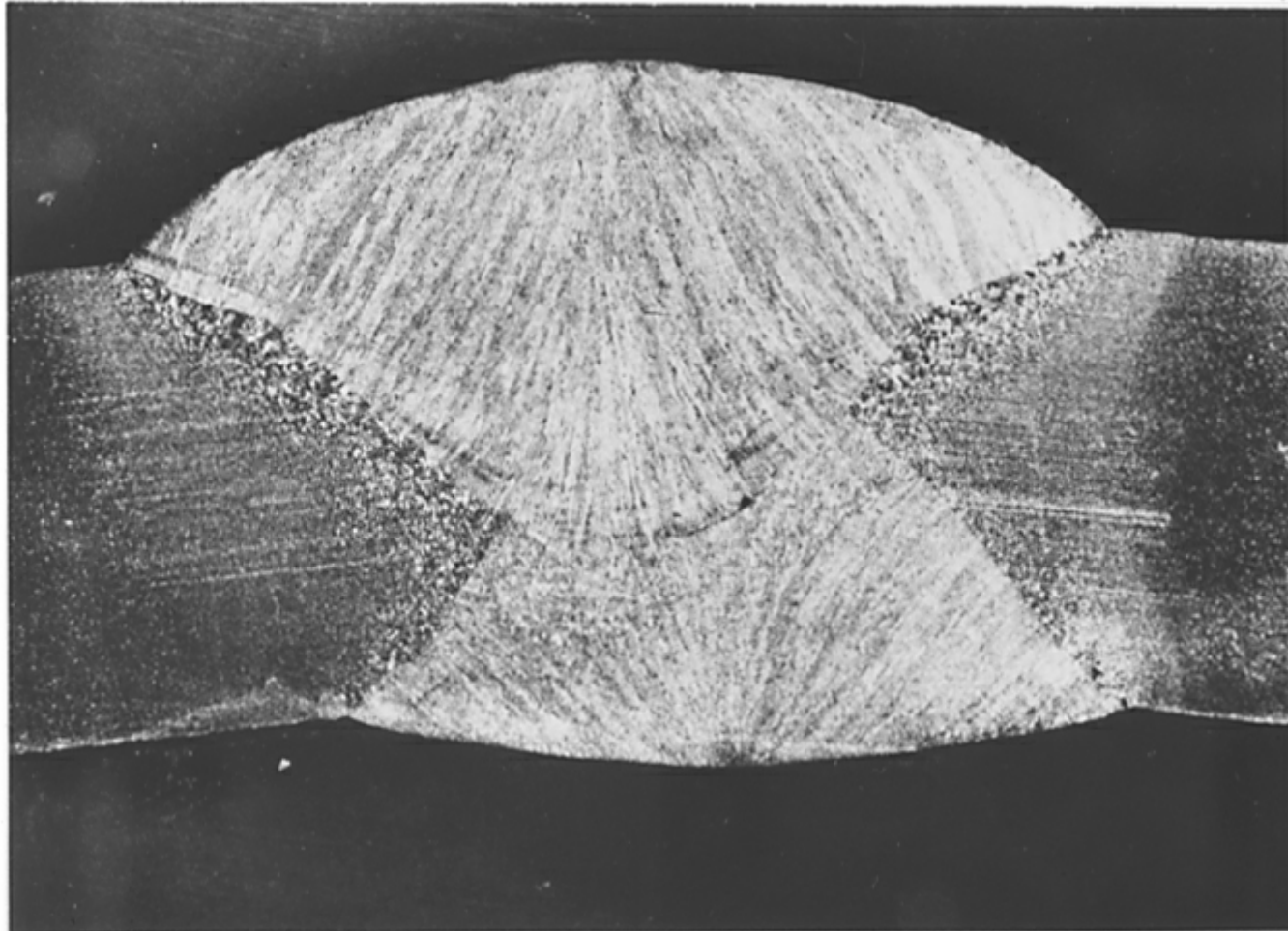
## Fatigue





WELD SECTION

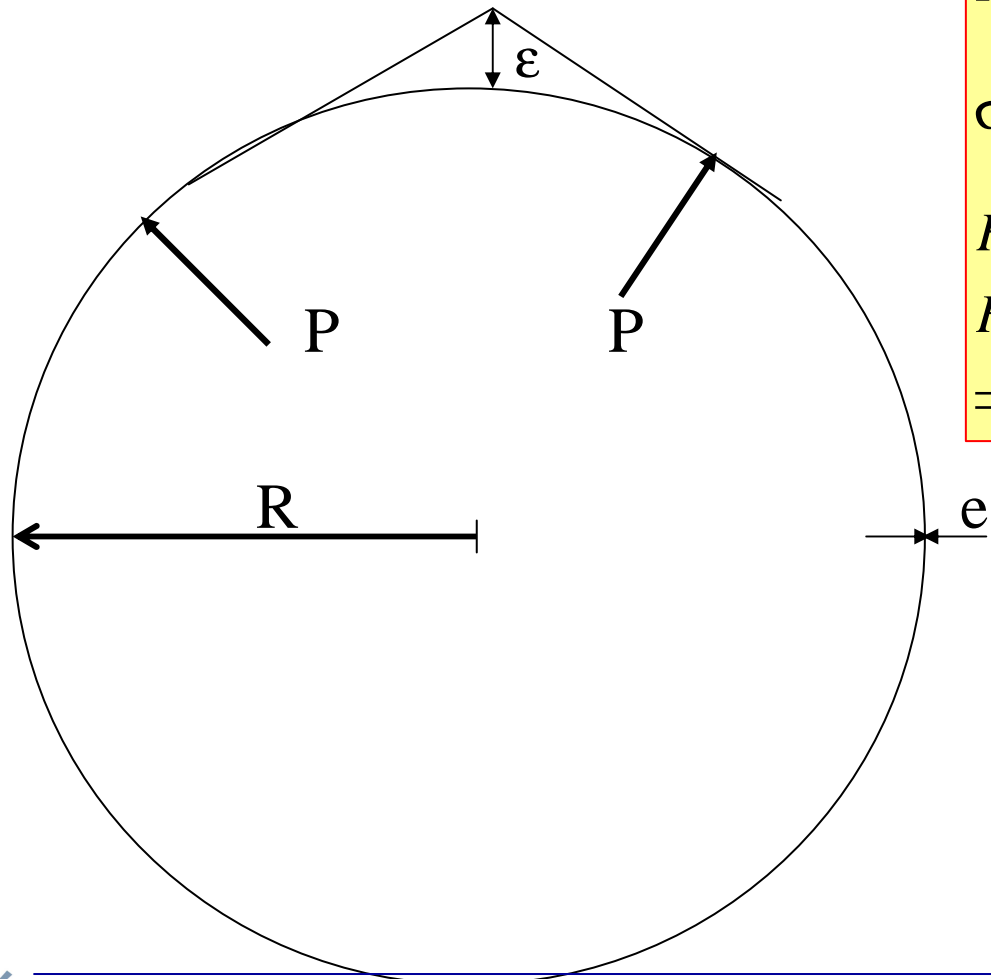
SF2M - Printemps 91/FH-AP/



10 mm



## ROOF EFFECT



$$\sigma_{nom} = \frac{PR}{e}$$

*Roof Effect ( $\varepsilon$ )*

$$\sigma = \sigma_{nom} \left[ 1 + \frac{6\varepsilon}{e} \right]$$

*Hyp : Small Displacement*

$$R = 500 \text{ mm}; \quad \varepsilon = 5 \text{ mm}; \quad e = 10 \text{ mm}$$
$$\Rightarrow \sigma = 4\sigma_{nom} !$$



BUT ACCIDENTS ARE STILL POSSIBLE !

## Saint-Martin-de-Crau



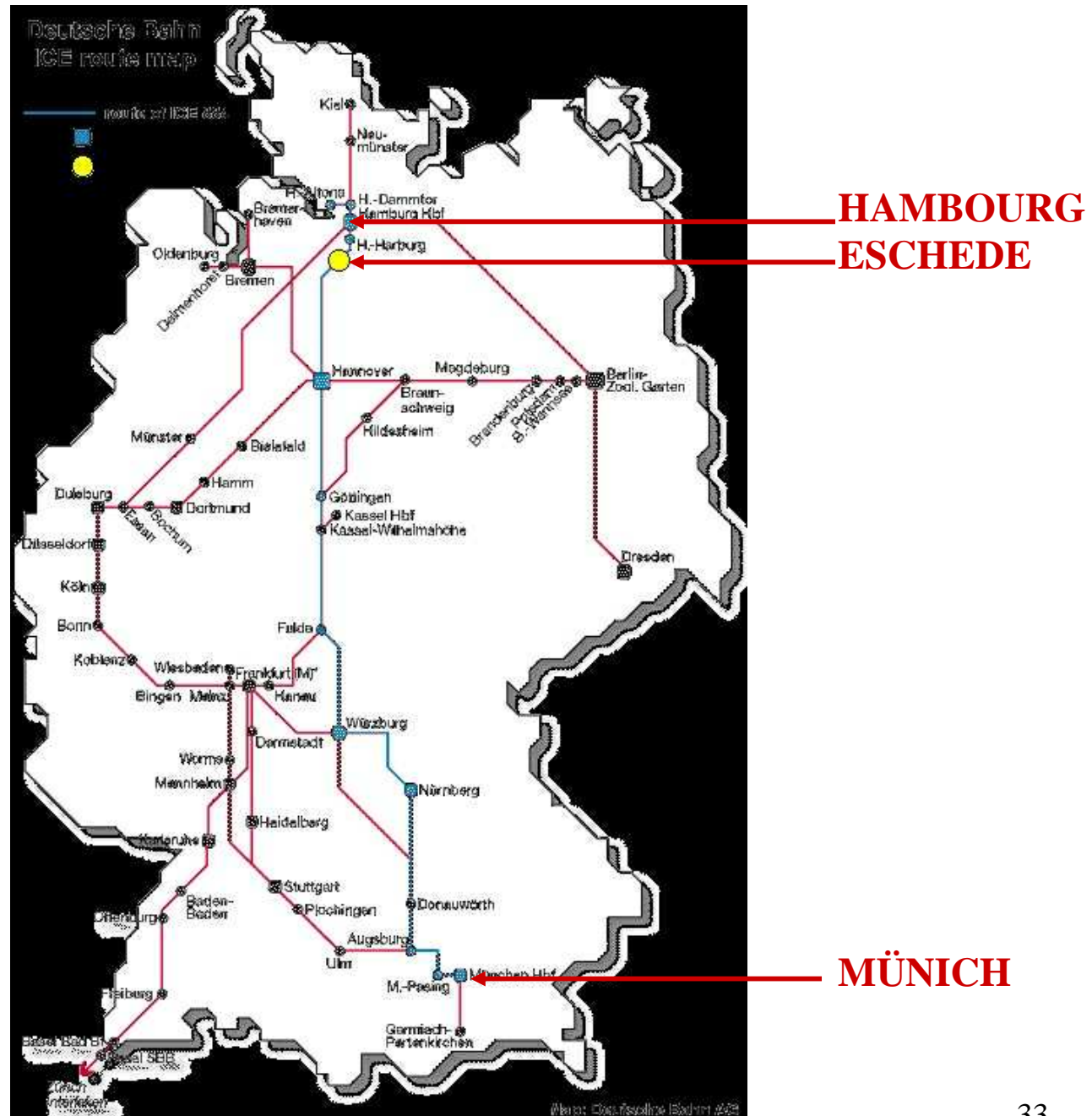
Publiée par [laprovence](#)  
le 07/08/2009 à 17:02:35  
3000 mètres cubes de pétrole brut déversés.



Fatigue

100 people died

Münich/Hambourg  
round trip →  
1million cycles



Fatigue

## ICE ACCIDENT ESCHEDE (03 juin 1998)



## ICE ACCIDENT ESCHEDE (03 juin 1998)



Fatigue

## ICE ACCIDENT ESCHEDE (03 juin 1998)



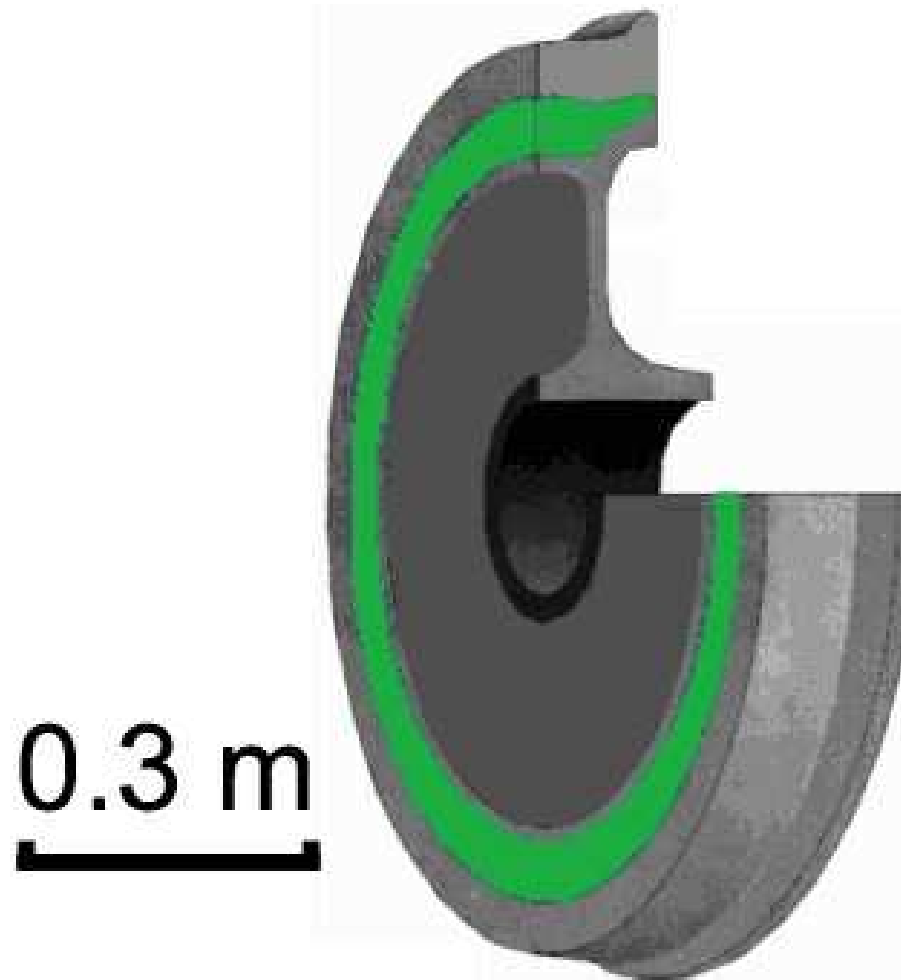
5 cm



## ICE ACCIDENT ESCHÉDE (03 juin 1998)



## ICE ACCIDENT ESCHÉDE (03 juin 1998)



# **INTRODUCTION TO MATERIAL VARIABILITY OF MECHANICAL PROPERTIES AND LENGTH SCALE**

A. Pineau

Centre des Matériaux - École des Mines

B.P. 87 - 91003 EVRY Cedex

e-mail : andre.pineau@ensmp.fr

## **I - INTRODUCTION - CASE STUDIES**

## **II - ELASTICITY**

## **III - PLASTICITY**

## **IV - FRACTURE : 2 Case Studies**

- Duplex Stainless Steels
- Welds

## **V - A SIMPLE MODEL BASED ON WEAKEST LINK THEORY**

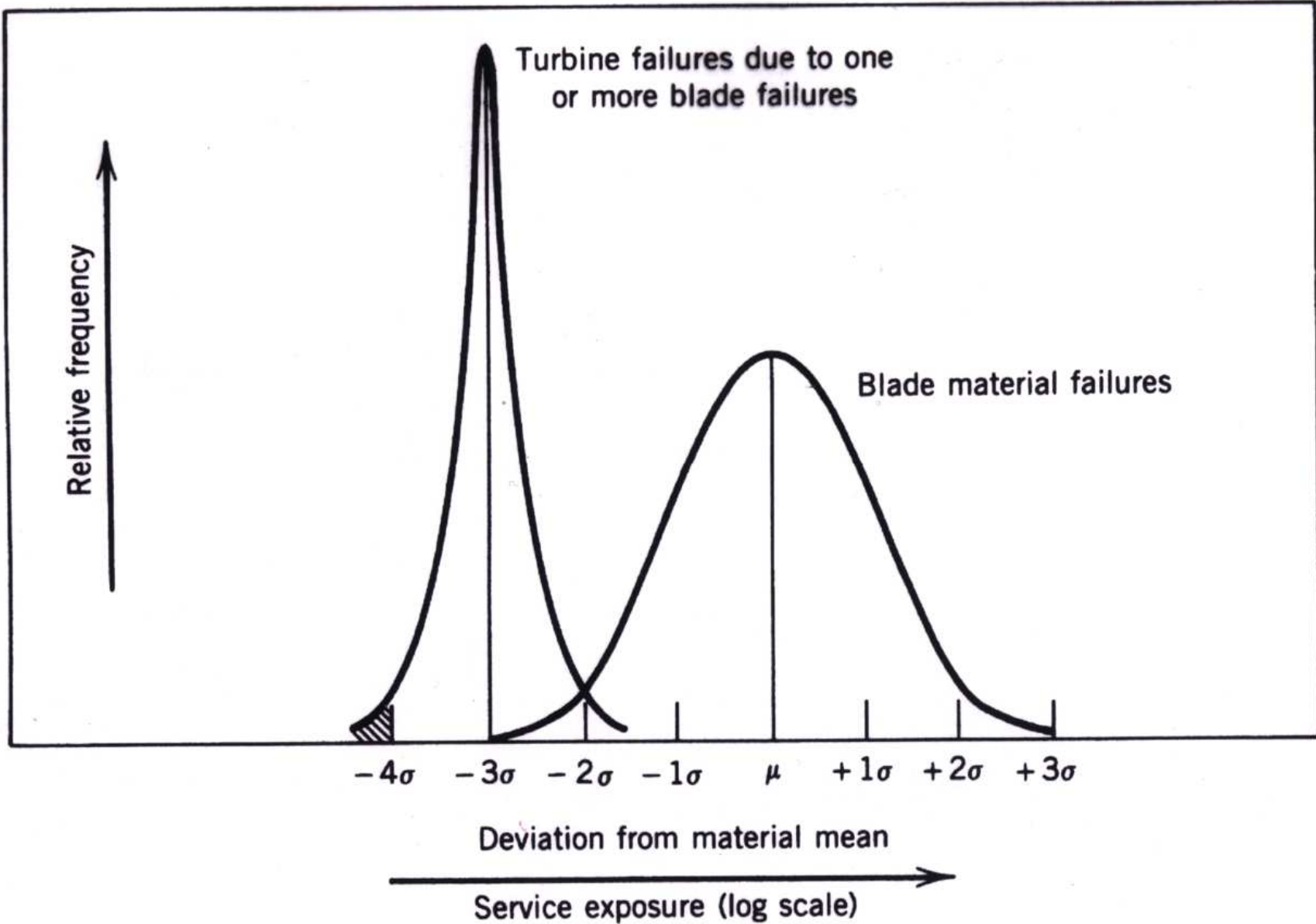
## **VI - CONCLUSIONS**

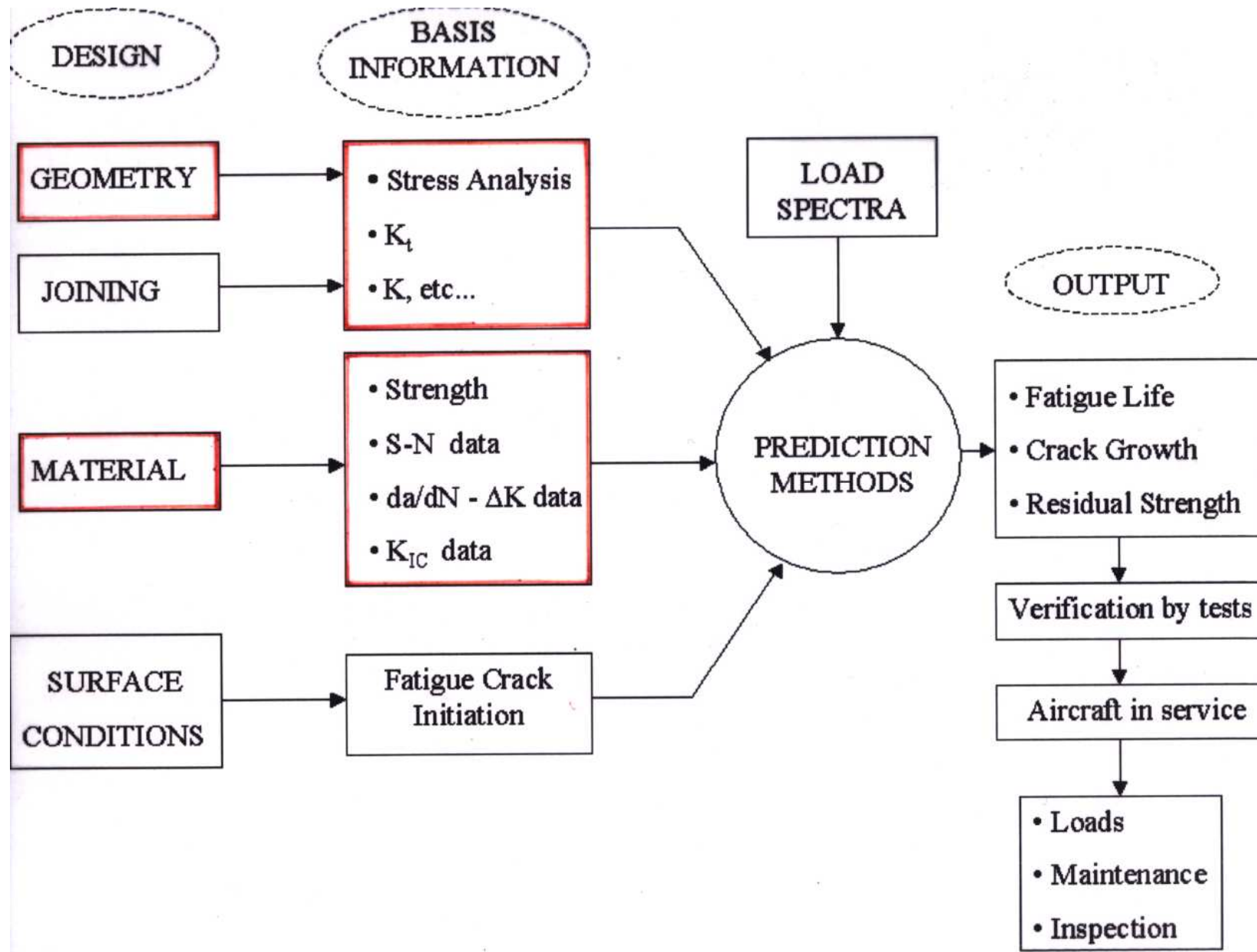


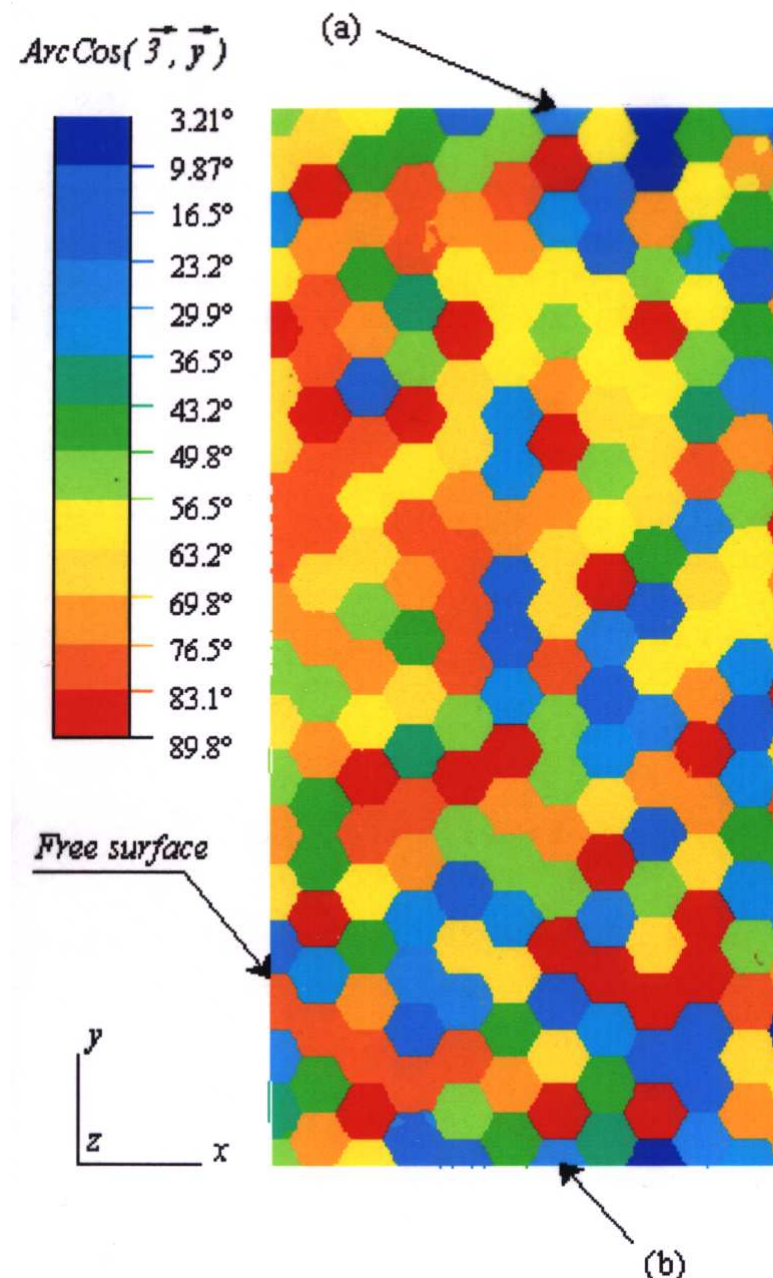
## LENGTH SCALE IN STRUCTURAL MATERIALS

	$(\text{Å})$	$(\mu\text{m})$	$(\text{mm})$								
	$10^{-10}$	$10^{-9}$	$10^{-8}$	$10^{-7}$	$10^{-6}$	$10^{-5}$	$10^{-4}$	$10^{-3}$	$10^{-2}$	$10^{-1}$	$\rightarrow (\text{m})$
<b>Phenomena</b>	- Solid solution Strengthening - Impurities segregation - Strain aging	- Precipitation Phase transformation	- Hall - Petch Bainitic laths - Inclusions	- Casting defects - Macrosegregation - Texture (clusters of damaged grains)							
<b>Consequences</b>	- Jerky flow - Strengthening - Intergranular embrittlement	- Strengthening - Persistent slip band - intrusion and extrusions	- Strengthening - Ductile to brittle transition - Fatigue crack initiation	- Fatigue - Fracture							
<b>Observations tools</b>	- Atomic micro-probe - Electron microscopy - Auger Spectroscopy	- Transmission Electron microscopy - Microprobe analysis	- Optical and Scanning Electron microscopy - Acoustic Microscopy	- Naked eye - Non destructive inspection techniques							





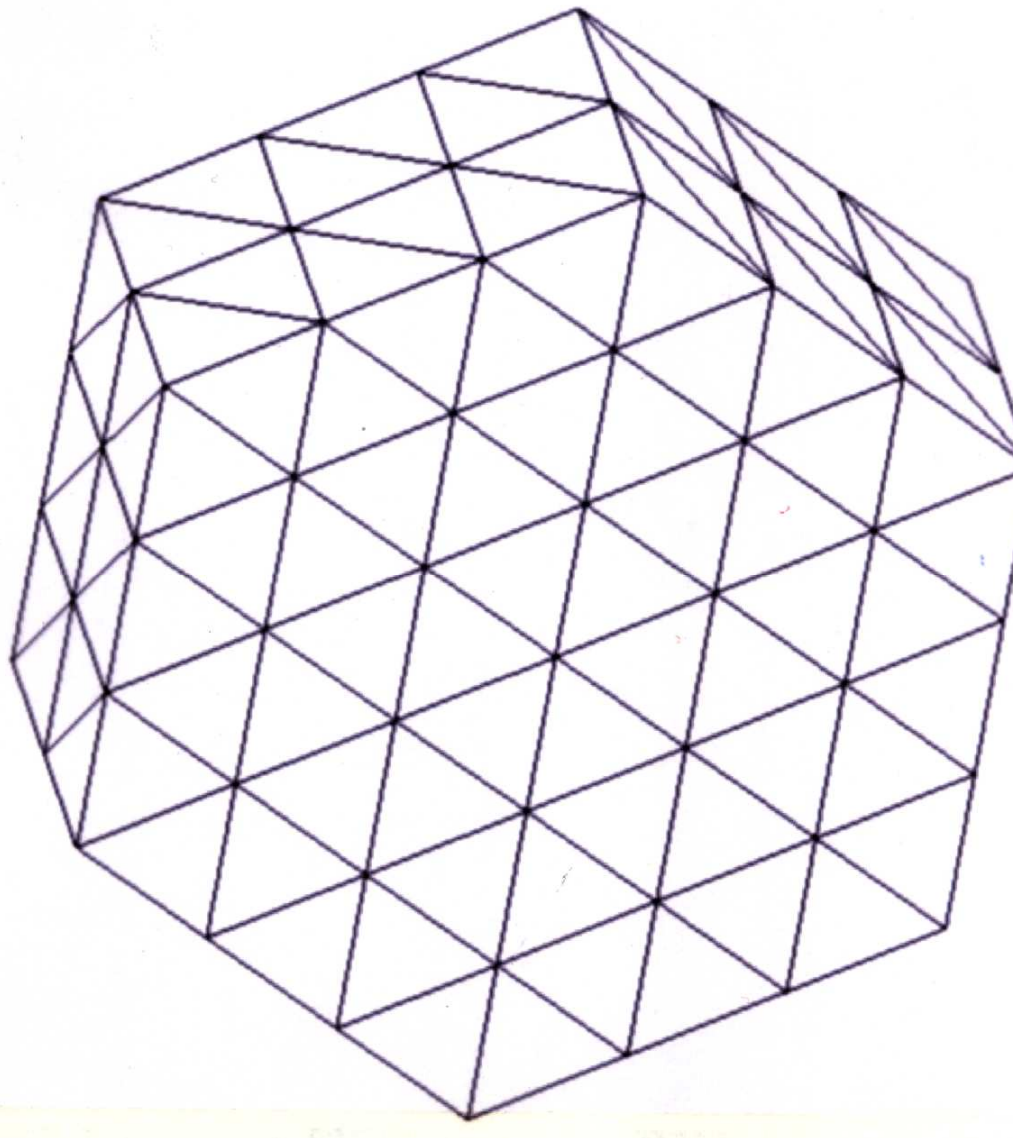




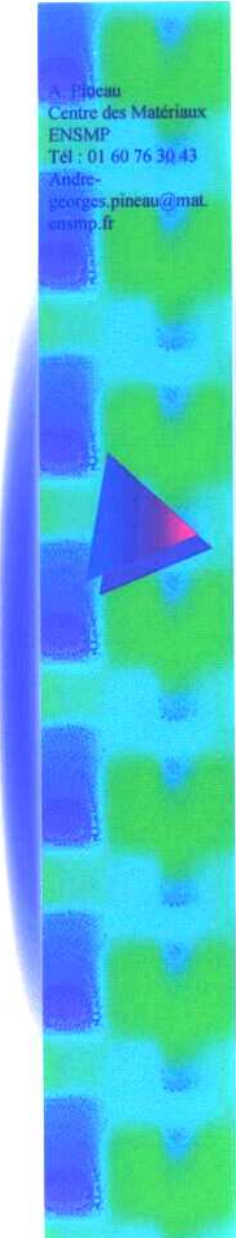
S.Pommier

$$\begin{aligned} U_y(x,z) \text{ in } a &= -U_y(x,z) \text{ in } b \\ U_x(x,z) \text{ in } a &= U_x(x,z) \text{ in } b \\ U_z(x,z) \text{ in } a &= U_z(x,z) \text{ in } b \end{aligned}$$





A. Pineau  
Centre des Matériaux  
ENSM  
Tél : 01 60 76 30 43  
André-  
georges.pineau@mat.  
ensmp.fr



$$\begin{pmatrix} \sigma_{11} \\ \sigma_{22} \\ \sigma_{33} \\ \sigma_{12} \\ \sigma_{13} \\ \sigma_{23} \end{pmatrix} = \begin{pmatrix} D_{1111} & D_{1122} & D_{1133} & 0 & 0 & 0 \\ & D_{1111} & D_{1133} & 0 & 0 & 0 \\ & & D_{3333} & 0 & 0 & 0 \\ & & & D_{1212} & 0 & 0 \\ & & & & D_{1313} & 0 \\ & & & & & D_{1313} \end{pmatrix} \cdot \begin{pmatrix} \epsilon_{11} \\ \epsilon_{22} \\ \epsilon_{33} \\ 2\epsilon_{12} \\ 2\epsilon_{13} \\ 2\epsilon_{23} \end{pmatrix}$$

**Anisotropy coefficients**

$$A\%_{\text{shear}} = \frac{2D_{1212}}{D_{1111} - D_{1122}}; \quad A\%_{\text{tension}} = \frac{D_{1111} + D_{1122} - 2D_{1133}}{D_{3333} - D_{1133}}$$

Material	Symmetry	Elasticity	D <sub>1111</sub>	D <sub>1122</sub>	D <sub>1133</sub>	D <sub>3333</sub>	D <sub>1212</sub>	D <sub>1313</sub>	A <sub>s</sub> %	A <sub>t</sub> %
Titanium	HCP	Trans Isotropic /3	162	92	69	180.7	35.2	46.7	133	120
Zinc	HCP	Trans Isotropic /3	165	31	50	62	67	39.6	59	800
Zirconium	HCP	Trans Isotropic /3	144	72.8	65.3	165	35.6	32.1	90.2	126
Copper	FCC	Cubic / (1,2,3)	168.4	121.4	121.4	168.4	75.5	75.5	321	100
Aluminium	FCC	Cubic / (1,2,3)	107	60.8	60.8	107	28.3	28.3	122.5	100
Iron	CC	Cubic / (1,2,3)	231.4	134.6	134.6	231.4	116.4	116.4	100	240

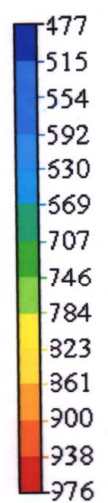
(All values of D coefficients are given in MPa)



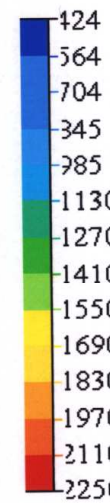
$\sigma_{yy}$  (MPa)

S.Pommier

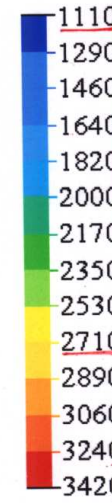
Aluminium



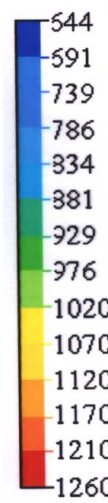
Copper



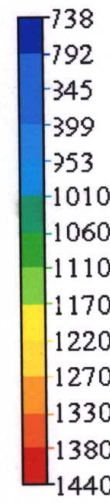
Iron



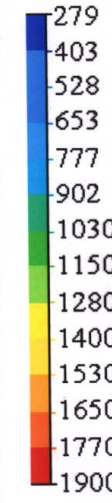
Zirconium



Titanium

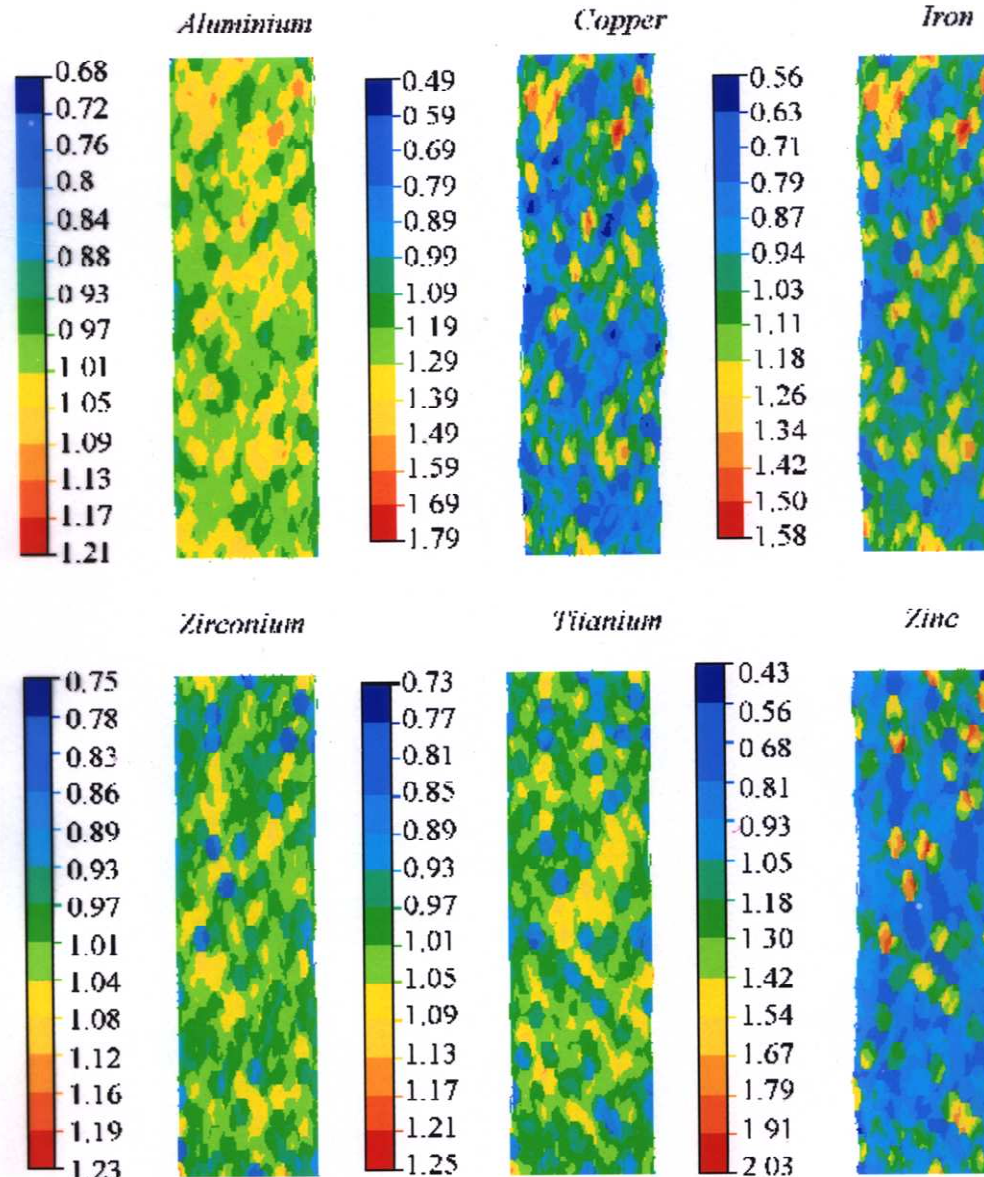


Zinc

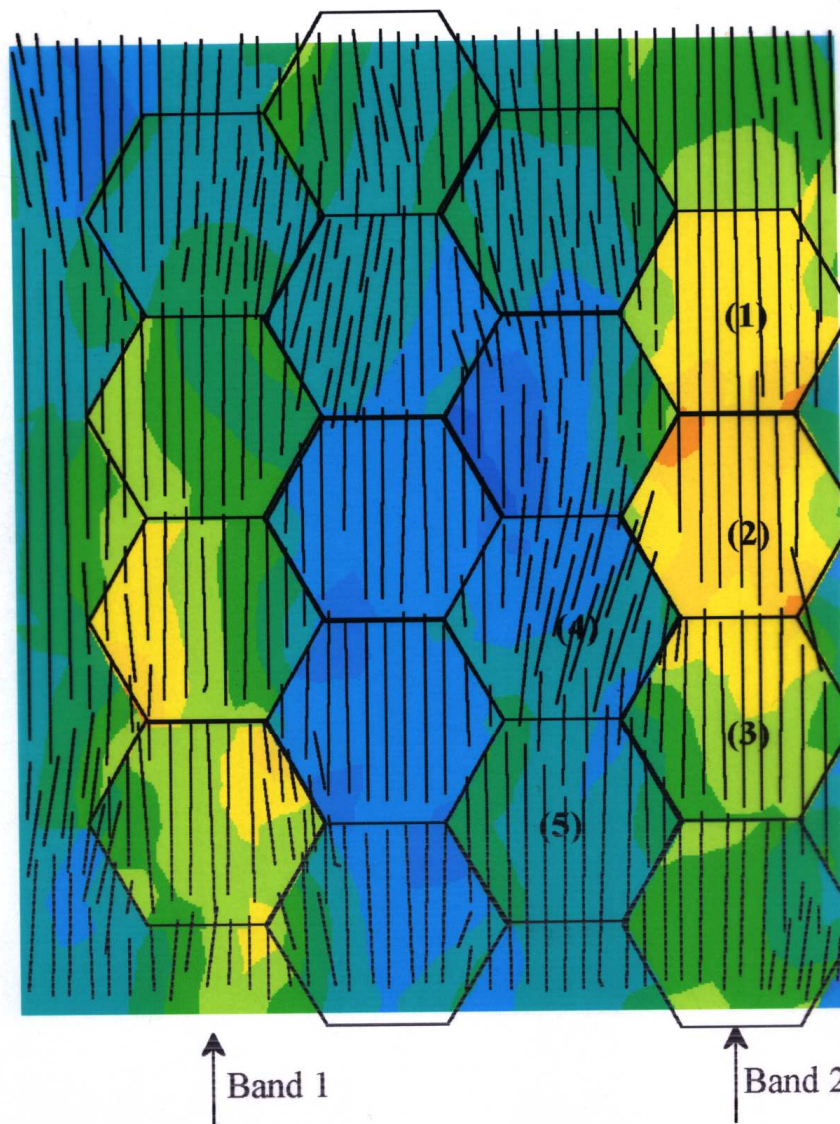


$\varepsilon_{yy}$  (%)

S.Pommier

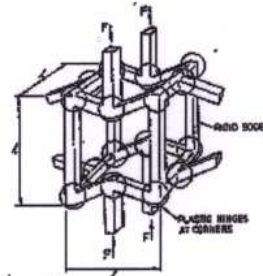
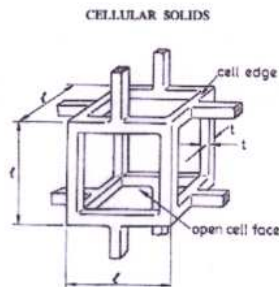


## Maximum principal stress isocontours and direction



# Mechanical properties

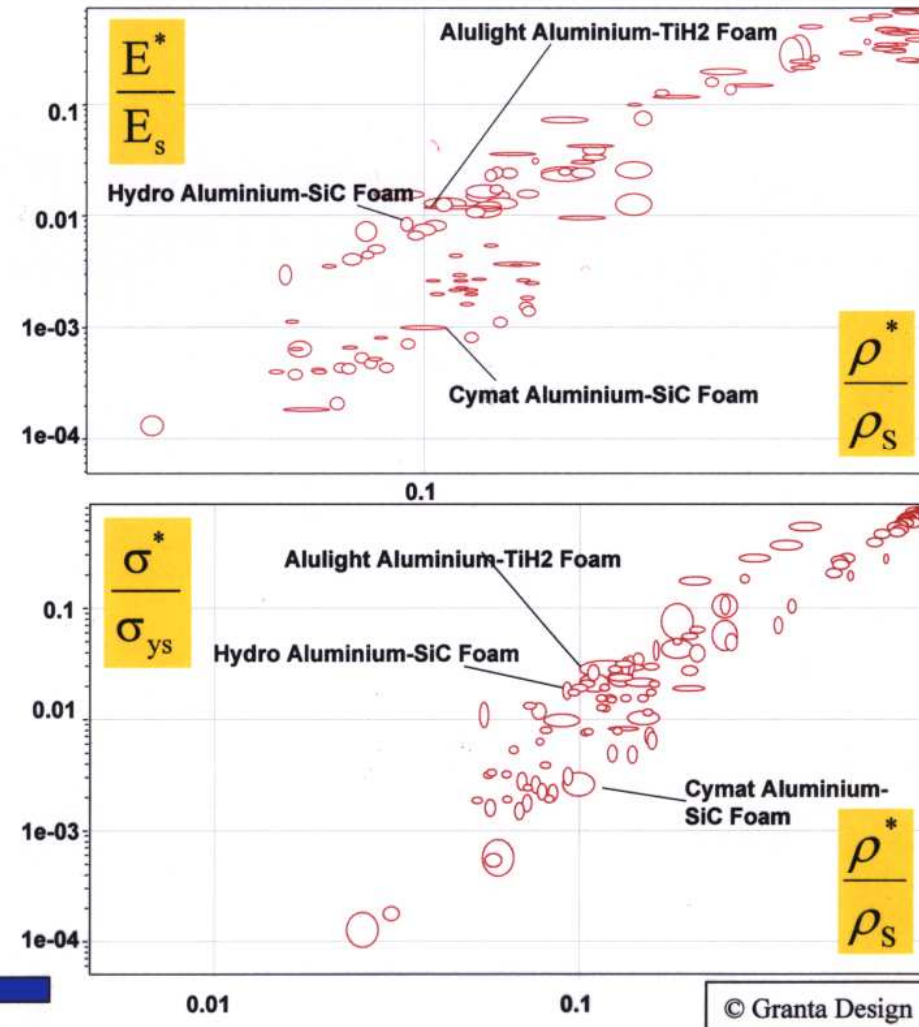
Gibson & Ashby



$$\frac{E^*}{E_s} \propto \left( \frac{\rho^*}{\rho_s} \right)^2 \quad \frac{\sigma^*}{\sigma_{ys}} \propto \left( \frac{\rho^*}{\rho_s} \right)^{\frac{3}{2}}$$

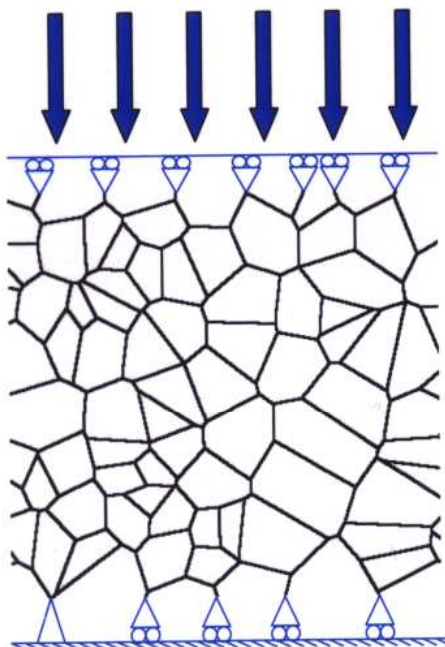
$E_s, \sigma_s, \rho_s$  : constitutive material

large dispersions



## Numerical simulation

---



**Foam = assembly of beams**

→ Identification in elasticity :  $E$

$$\frac{E^*}{E_s} = C_E \left( \frac{\rho^*}{\rho_s} \right)^q$$

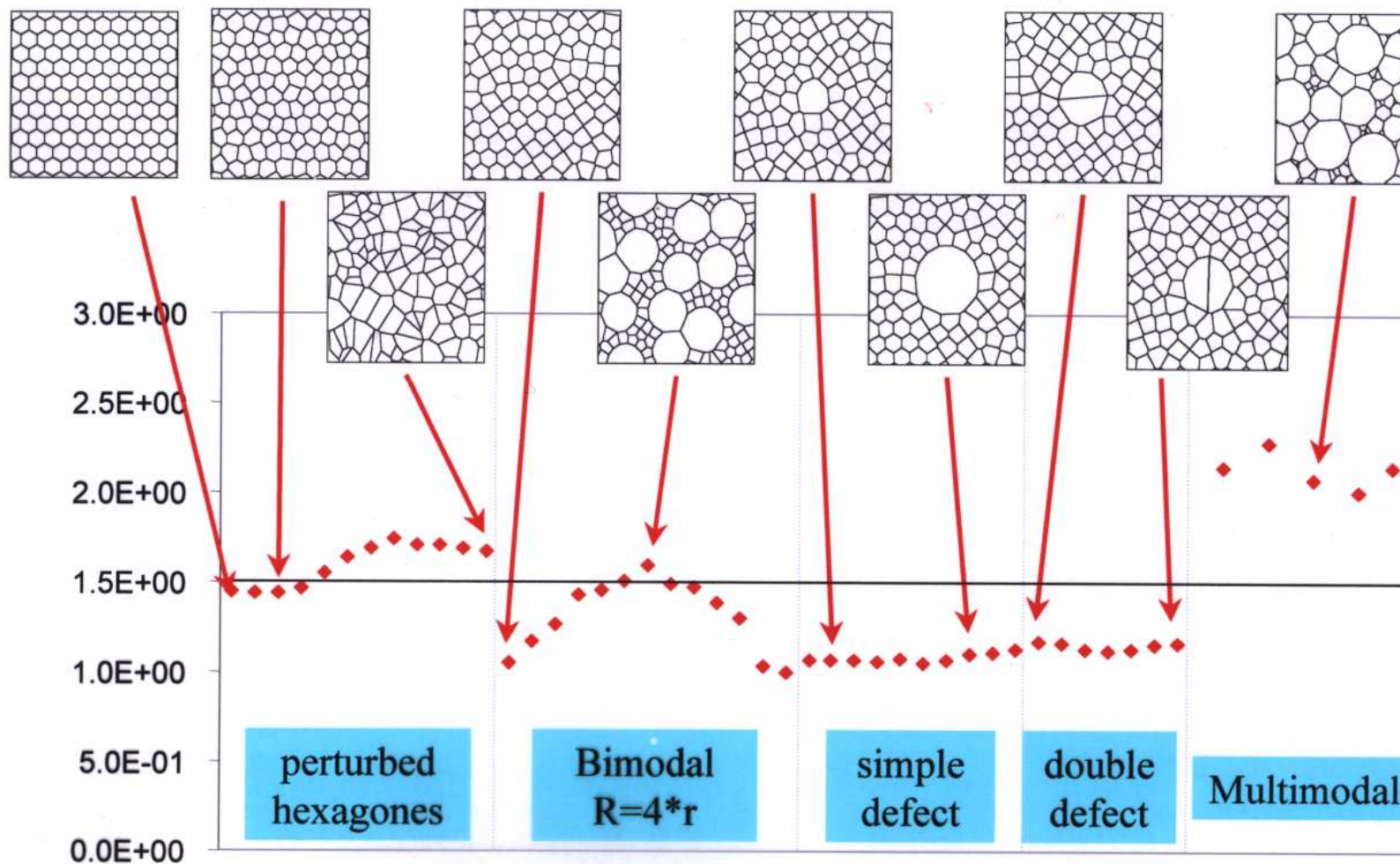
→ Identification in plasticity :  $\sigma$

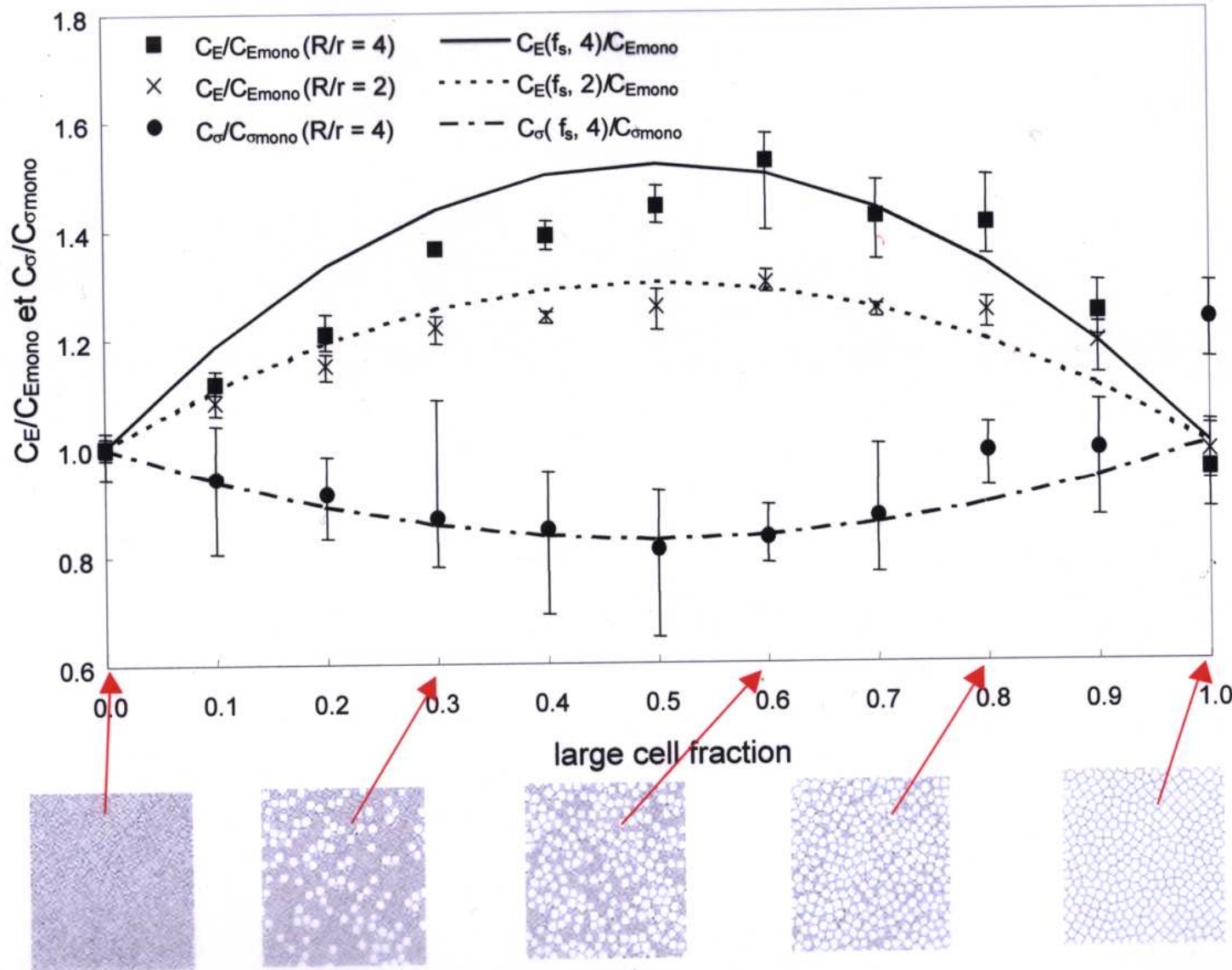
$$\frac{\sigma^*}{\sigma_{ys}} = C_\sigma \left( \frac{\rho^*}{\rho_s} \right)^{3/2}$$

(for low density)



## Evolution of $C_E$





# **INTRODUCTION TO MATERIAL VARIABILITY OF MECHANICAL PROPERTIES AND LENGTH SCALE**

A. Pineau

Centre des Matériaux - École des Mines

B.P. 87 - 91003 EVRY Cedex

e-mail : andre.pineau@ensmp.fr

**I - INTRODUCTION - CASE STUDIES**

**II - ELASTICITY**

**III - PLASTICITY**

**IV - FRACTURE : 2 Case Studies**

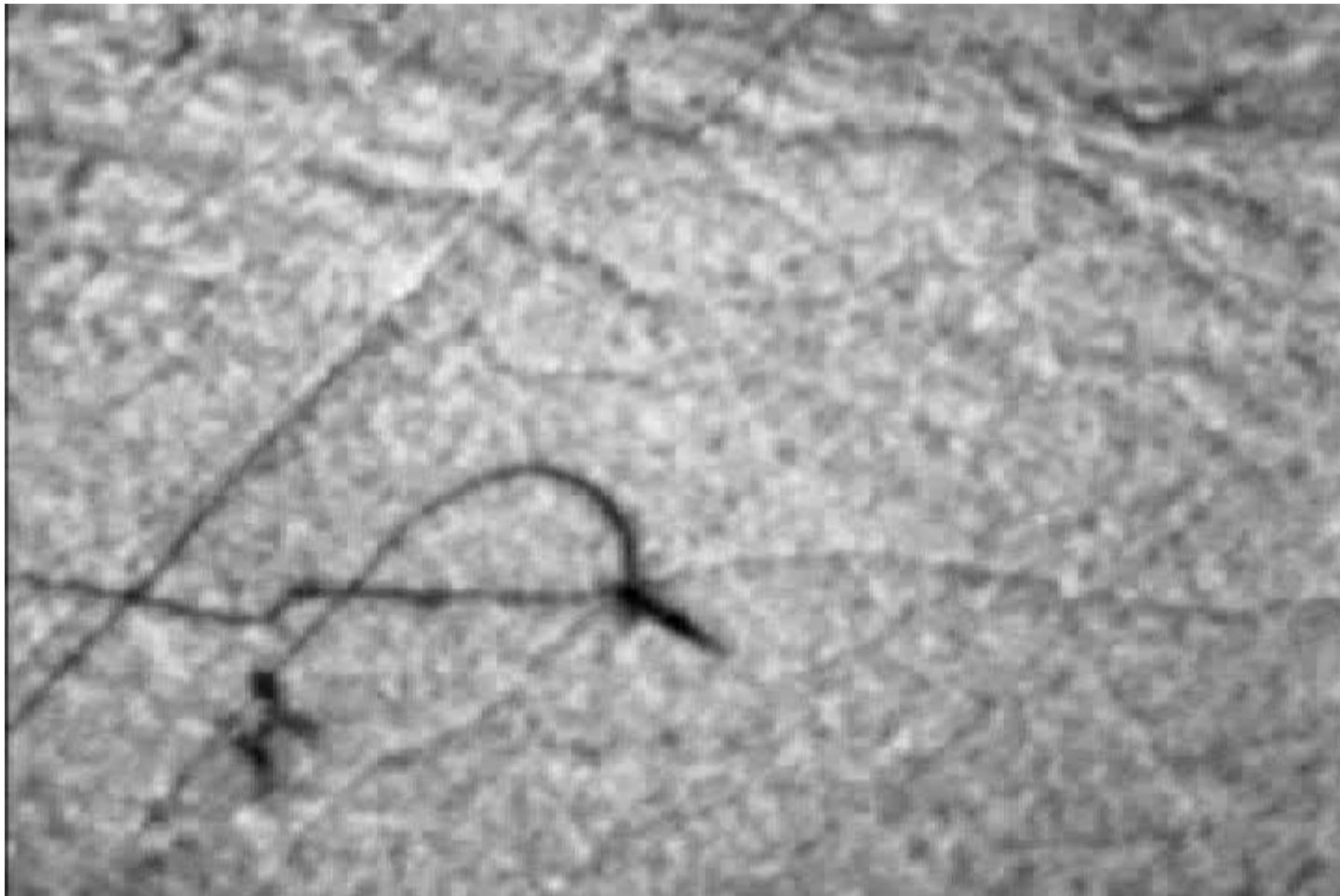
- Duplex Stainless Steels
- Welds

**V - A SIMPLE MODEL BASED ON WEAKEST LINK THEORY**

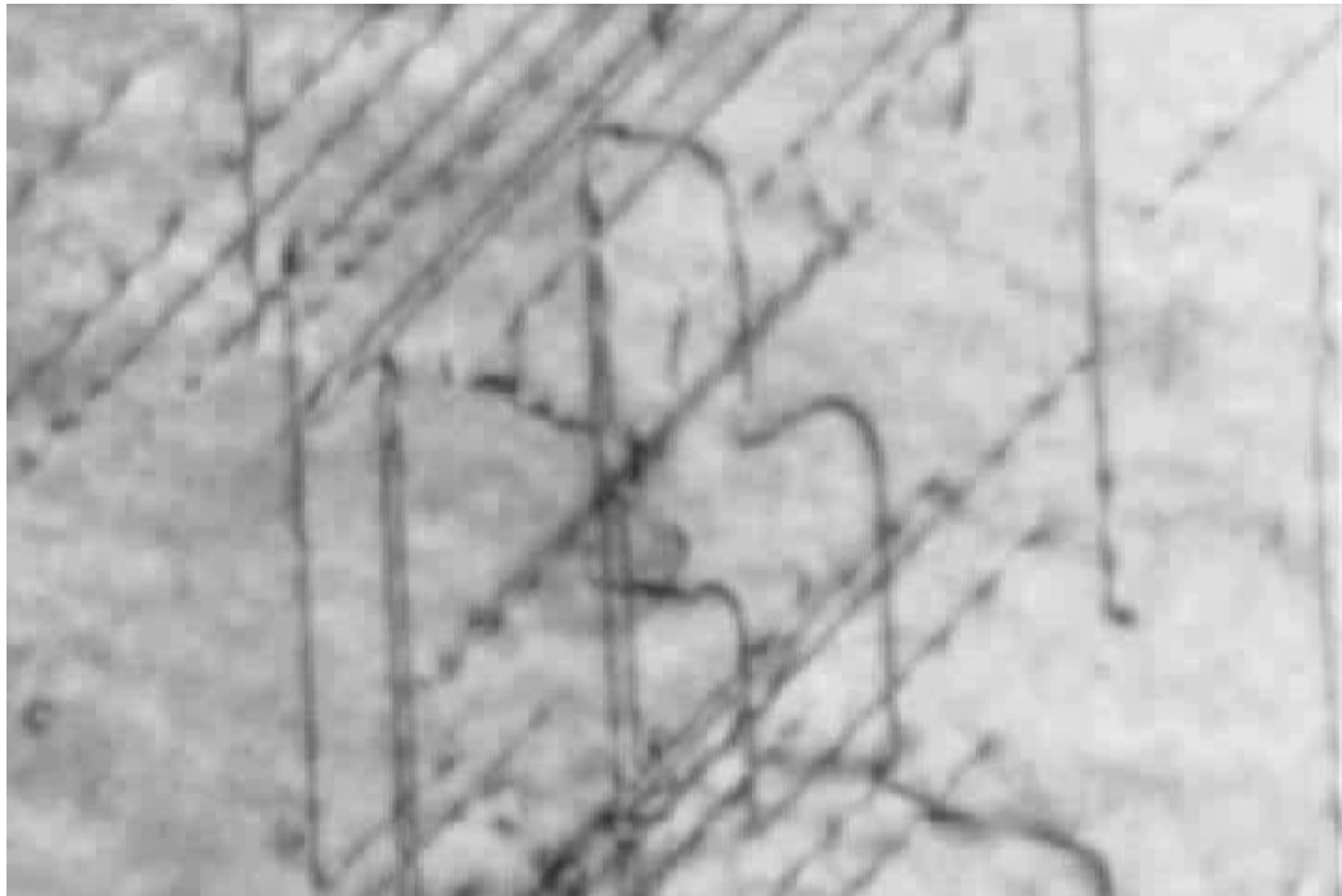
**VI - CONCLUSIONS**



D.Caillard , *Acta Materialia* ,2010,pp.3493-3503 & pp.3504-3515 – Kinetics of dislocations in pure Iron  
Part I. In situ straining experiments at RT – Part II. In situ deformation experiments at low temperature



*D.Caillard , Acta Materialia ,2010,pp.3493-3503 & pp.3504-3515.– Kinetics of dislocations in pure Iron  
Part I. In situ straining experiments at RT – Part II. In situ deformation experiments at low temperature*



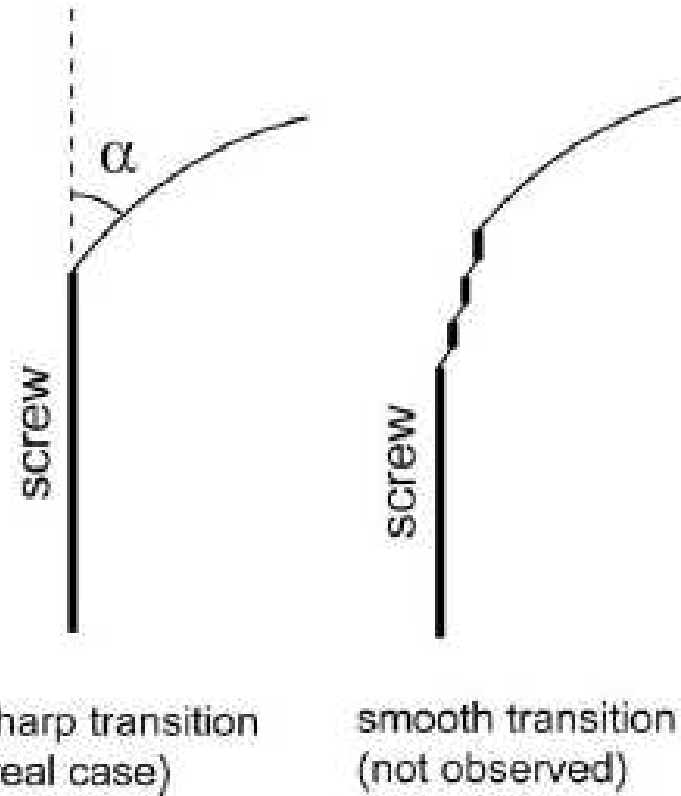


Fig. 5. Schematic description of a sharp and a smooth transition, between the screw and near-screw parts of a dislocation loop.



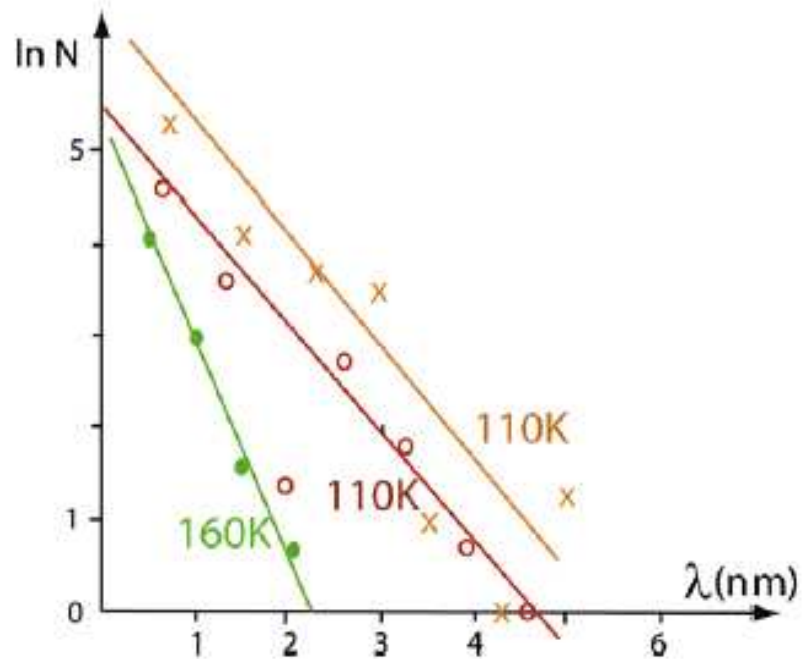


Fig. 8. Distribution of jump lengths at 110 K (two measurements) and 160 K.  $N$  is the number of jumps over the length  $\lambda$ . Crosses correspond to the data of Fig. 7.

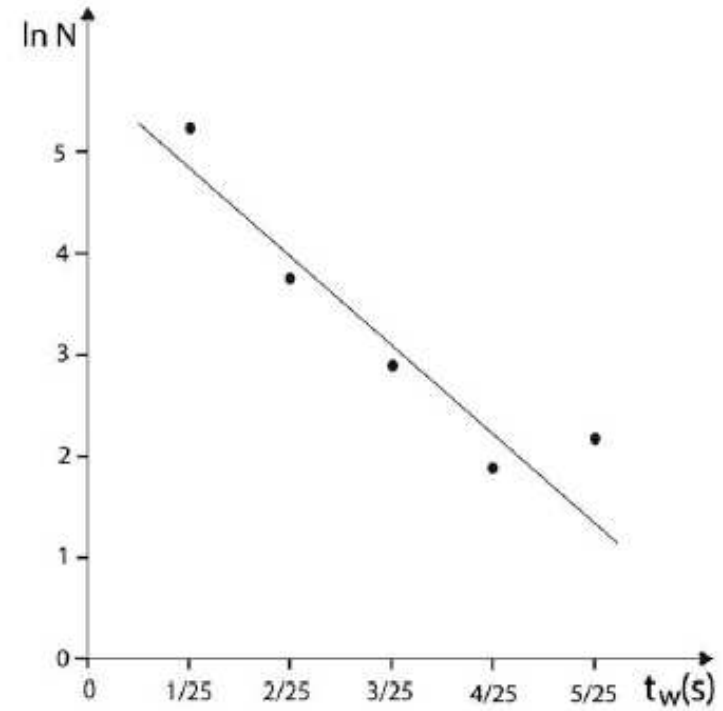
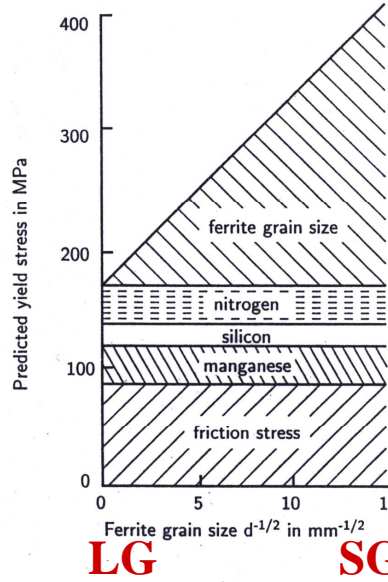


Fig. 9. Distribution of waiting times, from the data of Fig. 7.  $N$  is the number of jumps preceded by the waiting time  $t_w$ .





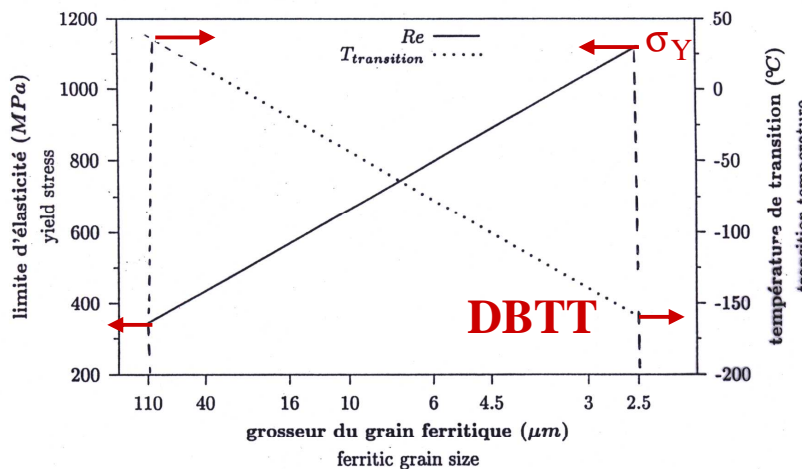
**Grain Size Effect**

**Solid Solution**

**Friction Stress**

**LG      SG 4.4 μm**

Figure II.1 : Exemple des différentes contributions au durcissement d'un acier ferritique (0.20 %C, 1.0 %Mn, 0.20 %Si, 0.010 %N, (Pickering, 1992b)).



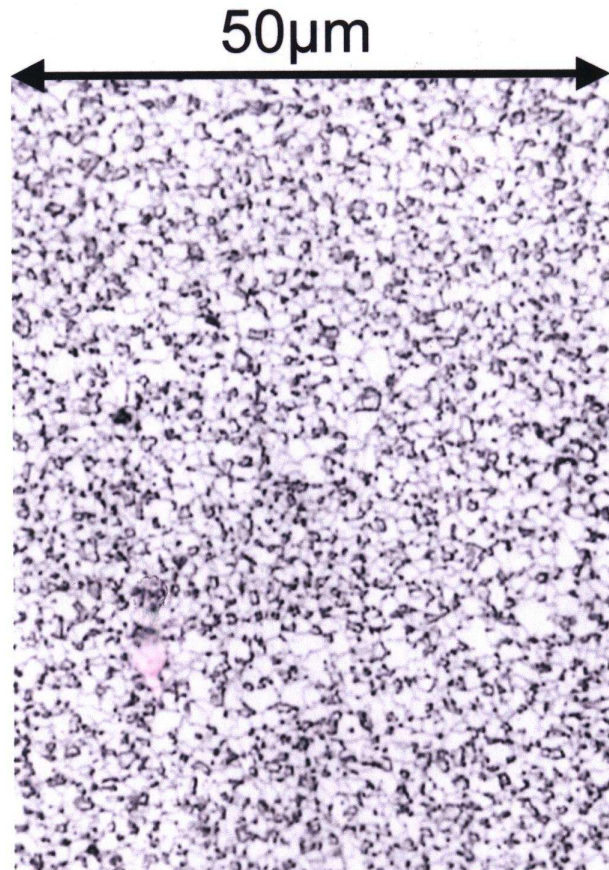
$$\sigma_Y \propto d^{-1/2}$$

Hall – Petch Eq.

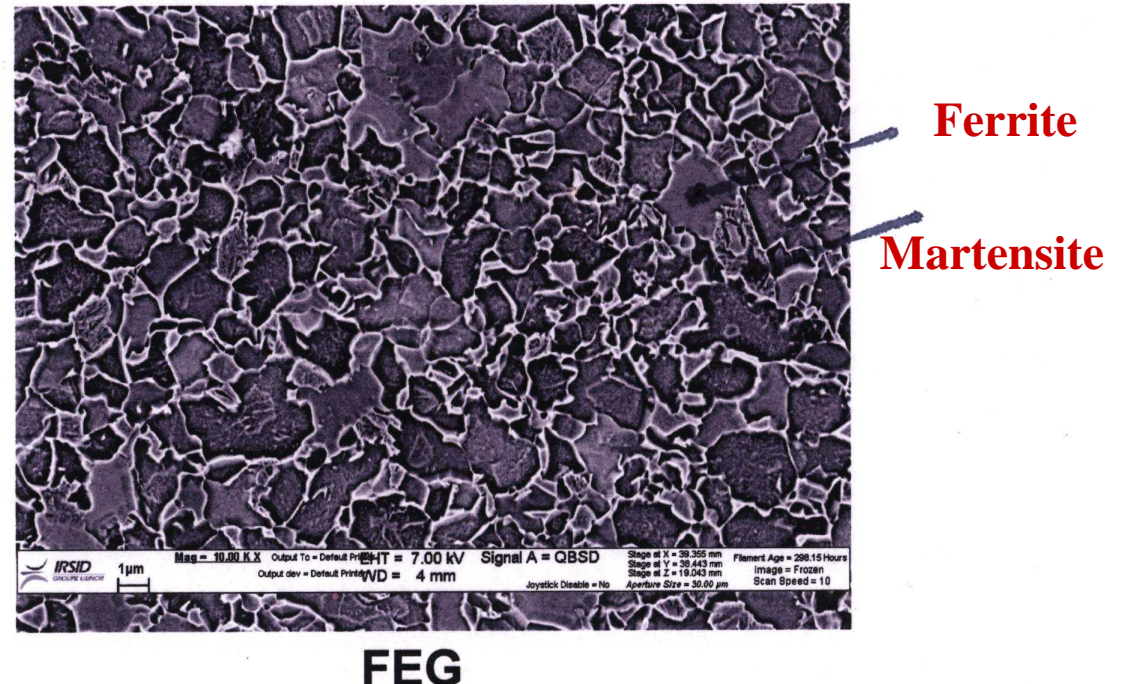
Figure II.2 : Effet de la taille du grain ferritique sur la limite d'élasticité et la température de transition (acier à 0.1 %C, 0.5 %Mn, 0.2 %Si, 0.006 %N, d'après IRVINE, cité par (Constant et al., 1992)).



## Ultra-fine DP steels characterization



UFG-DP cold rolled microstructure

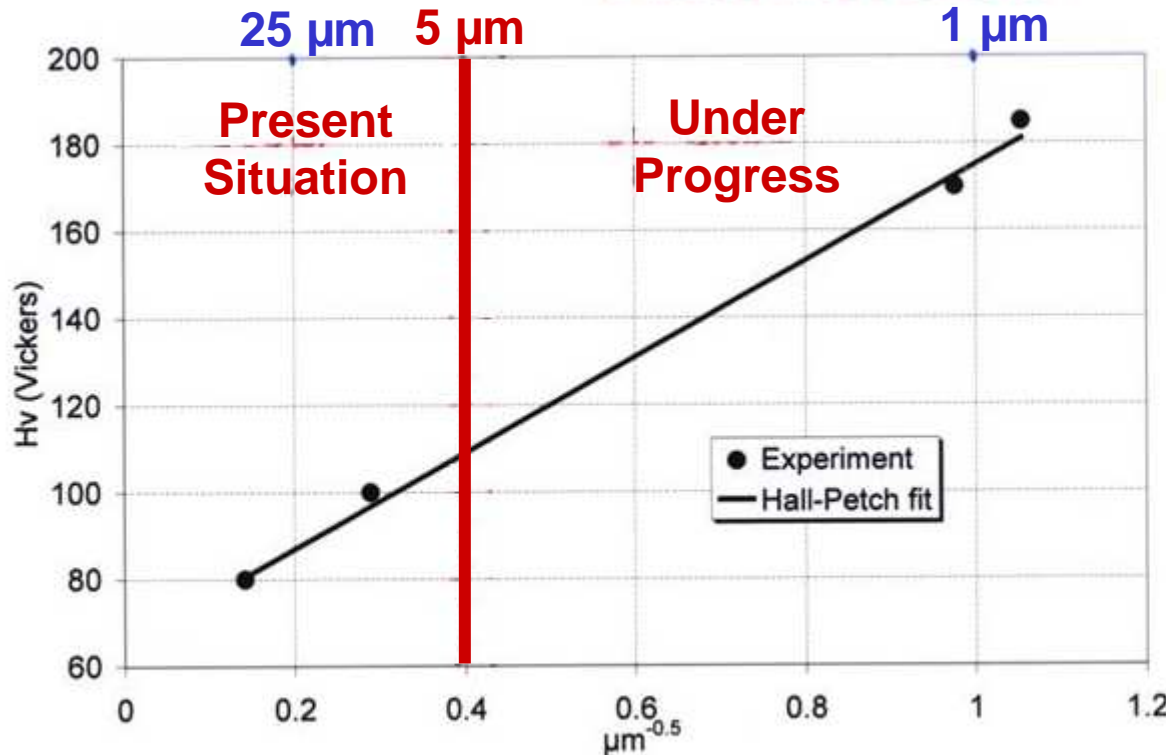


$F_\alpha :$  23%

$d_\alpha :$  1.05 μm,  $d_\alpha' :$  0.95 μm



# Hardness

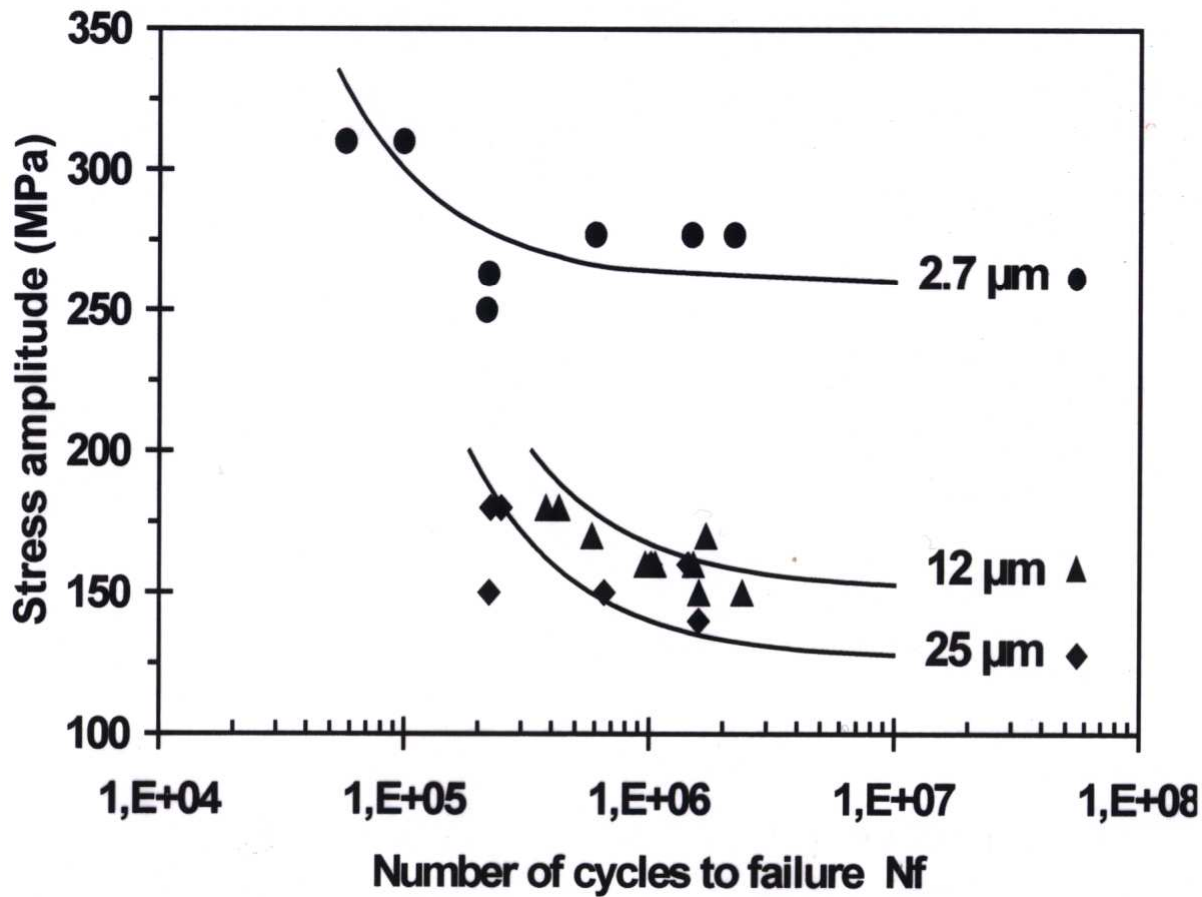


$$H_v = 65 + \frac{110}{\sqrt{d}}$$

- Hall-Petch type law suitable up to 1  $\mu m$  grain size refinement



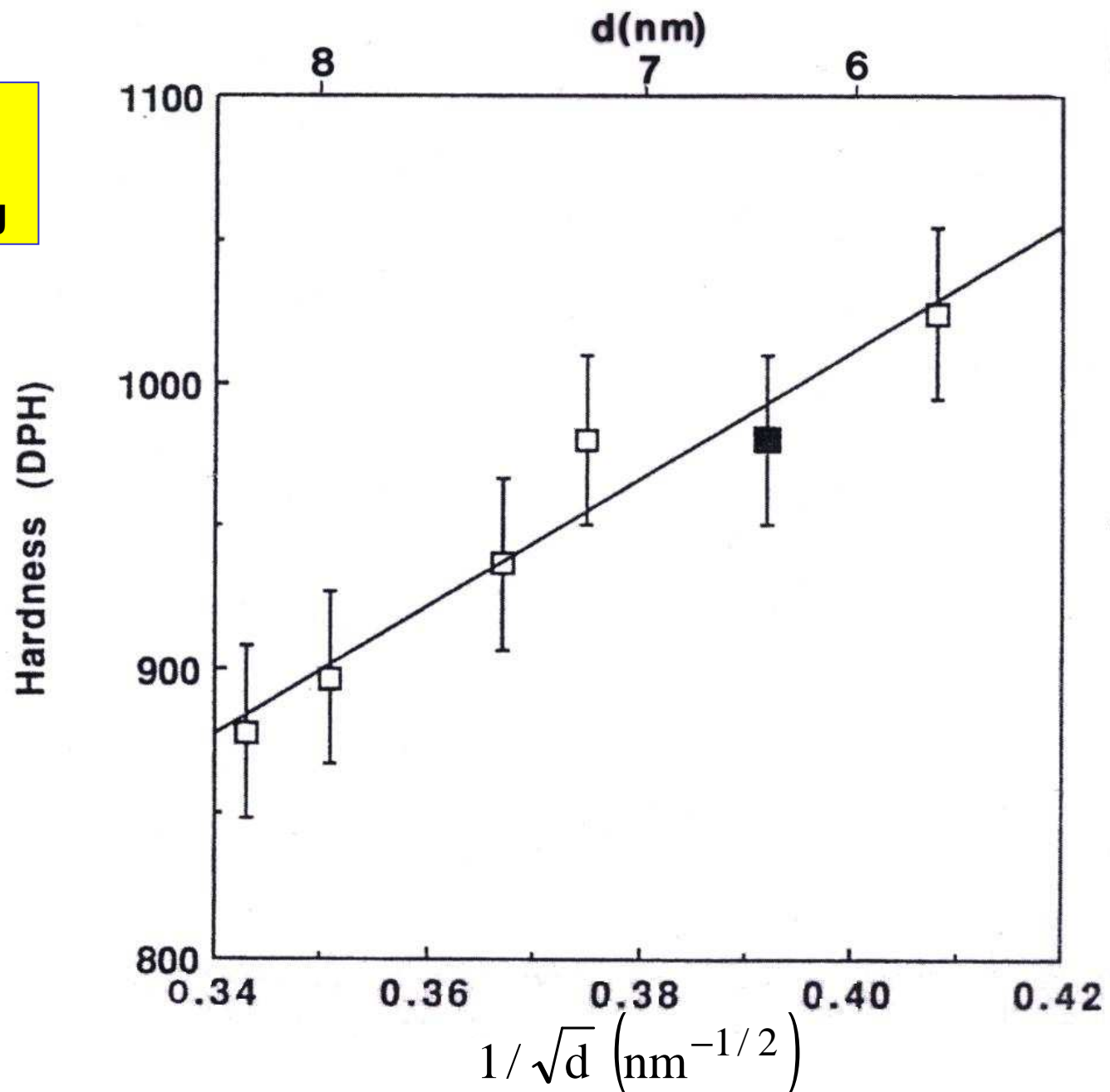
# Fatigue properties : bending test (25Hz)



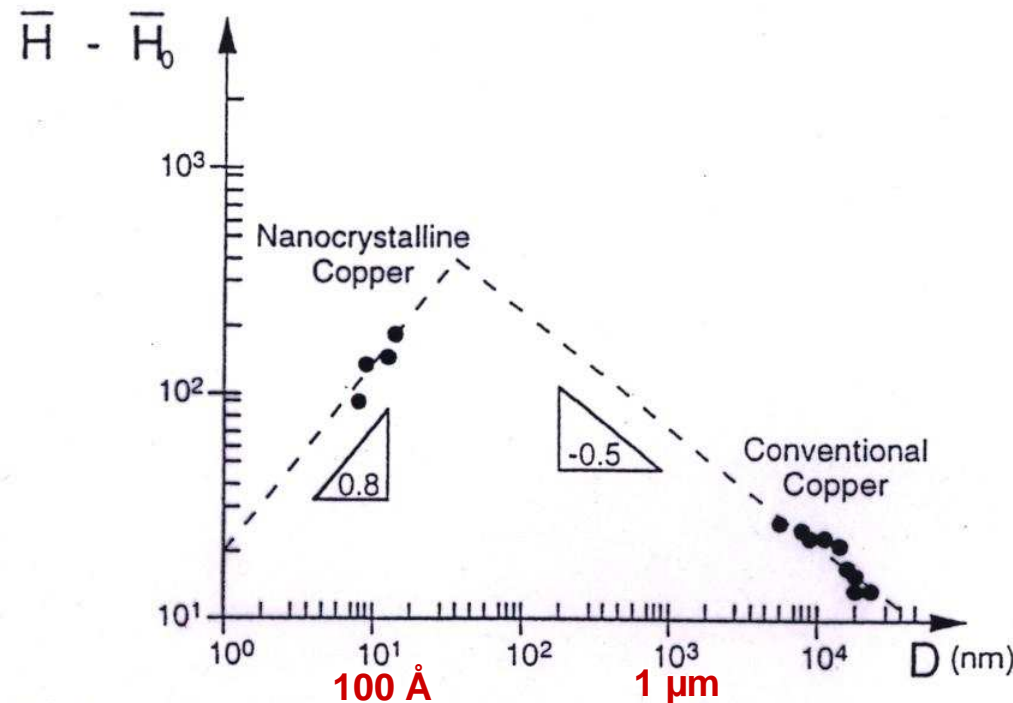
## Pure Iron

### Mechanical Milling

J.S.C. JANG and  
CC. KOCK.  
Scripta Metall. Vol. 24  
(1990), pp. 1599 - 1604



Pure Copper - Deposition

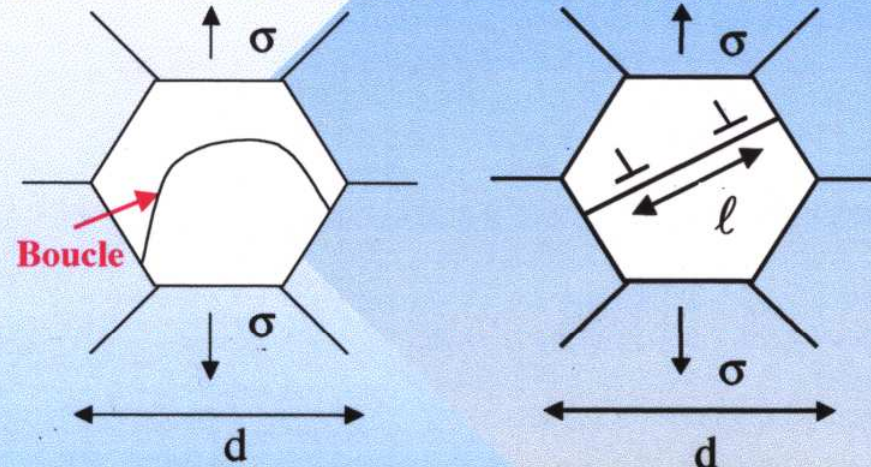


Inverse Hall-Petch behavior in nanocrystalline Cu ( $\bar{H} - \bar{H}_0$  denotes the hardness increment.  $D$  the grain size): the classical behavior breaks down at a grain size of about 50 nm, in agreement with an estimate based on the loop diameter [equations (13a)-(b)]. Replotted after Chokshi *et al.* [23].



# Limitations à HALL - PETCH

- E. ARZT. Acta Mater., Vol. 46, (1998), pp. 5611 - 5626
- T.G. NIEH and J. WADSWORTH. Scripta Metall., Vol. 25, (1991), pp. 955 - 958
- A.H. CHOKSHI, A. ROSEN, J. KARCH and H. GLEITER, Scripta Metall., Vol. 23, (1989), pp. 1679 - 1684
- J.S.C. JANG and C.C. KOCH, Scripta Metall., Vol. 24, (1990), pp. 1599 - 1604
- H.J. HÖFLER and R.S. AVERBACH, Scripta Metall., Vol. 24, (1990), pp. 2401 - 2406



$$\ell_c \approx \frac{3 \mu b}{\pi (1-v) H}$$

H : Dureté

Matériaux	$\mu$ (GPa)	b (nm)	v	H (GPa)	$\ell_c$ (nm)	d (nm)	HP ?
Cu	77	0.256	0.34	1.5	19.3	8-16	Non
Pd	51	0.275	0.52	2.5	11.2	7-13	Non
Fe	81	0.248	0.29	8	3.4	6-60	Oui
Ni - P	76	0.249	0.31	10.5	2.5	7.5-120	Non
Ni	76	0.249	0.31	10.5	2.5	12-12.5	Oui
TiO <sub>2</sub>	105	≈ 0.4	0.30	7.4	7.4	14-400	Oui

Vérification de la loi HP et Valeurs de  $\ell_c$  pour divers matériaux à grains ultrafins.

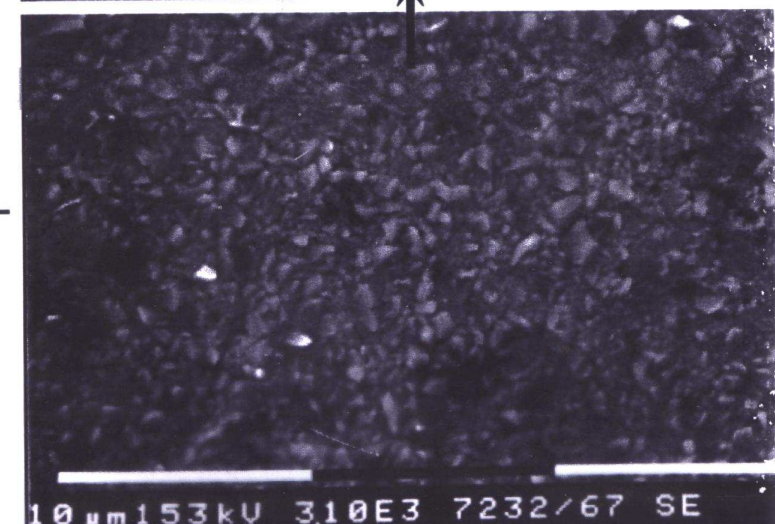
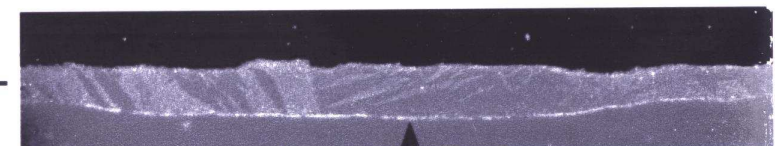
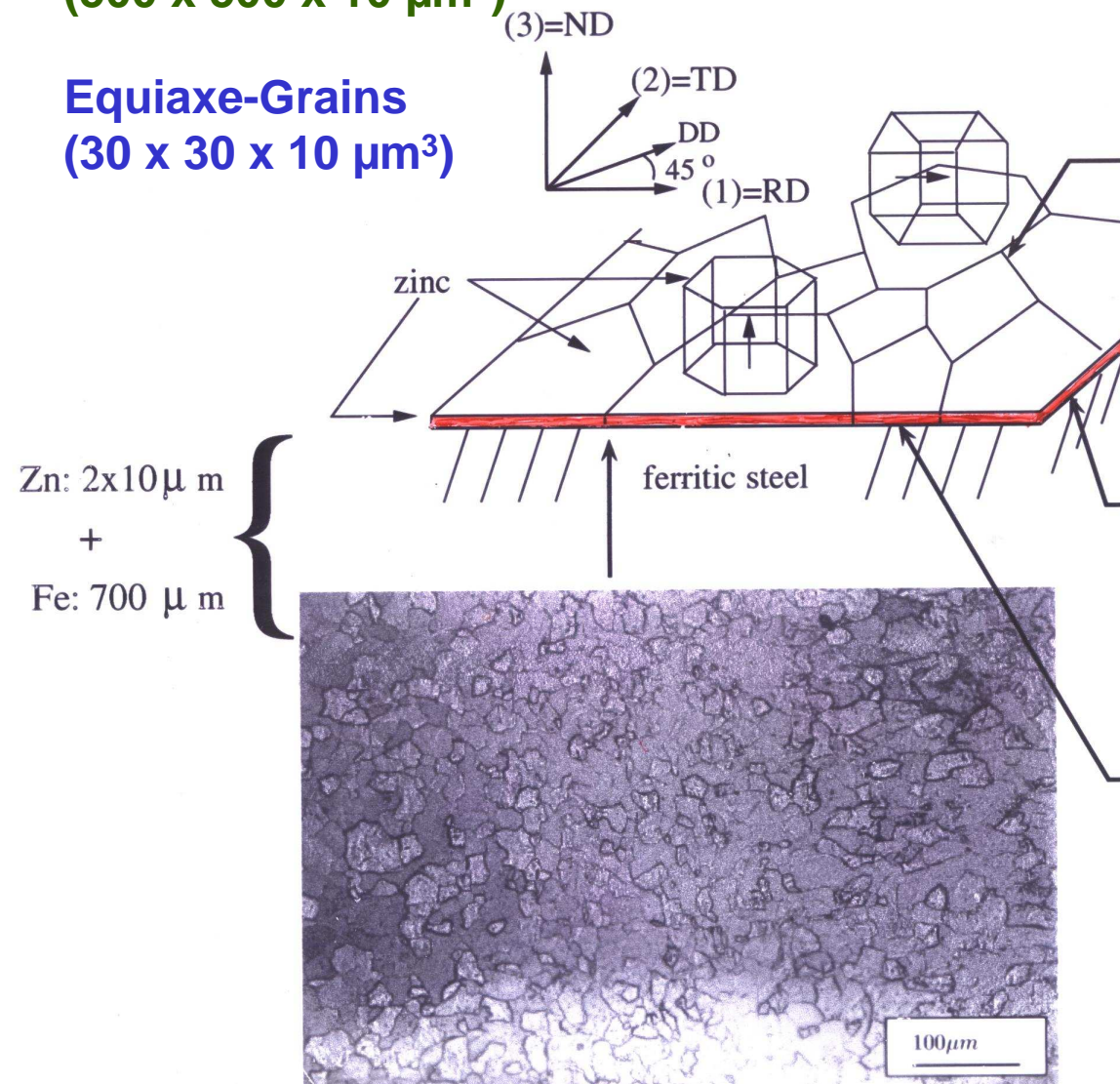


## Pancake-Grains

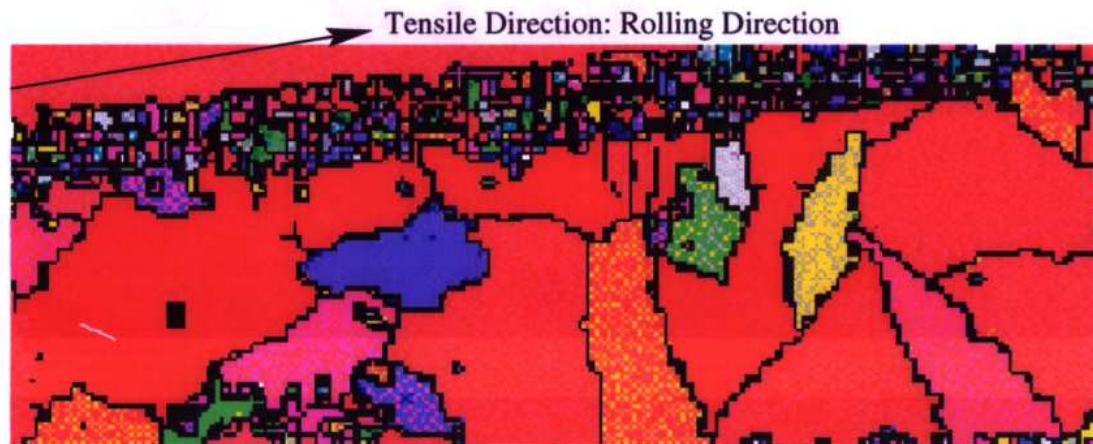
( $500 \times 500 \times 10 \mu\text{m}^3$ )

## Equiaxe-Grains

( $30 \times 30 \times 10 \mu\text{m}^3$ )



# Characterization of thin layers and coatings



coating of a galvanized  
steel sheet  
EBSD analysis

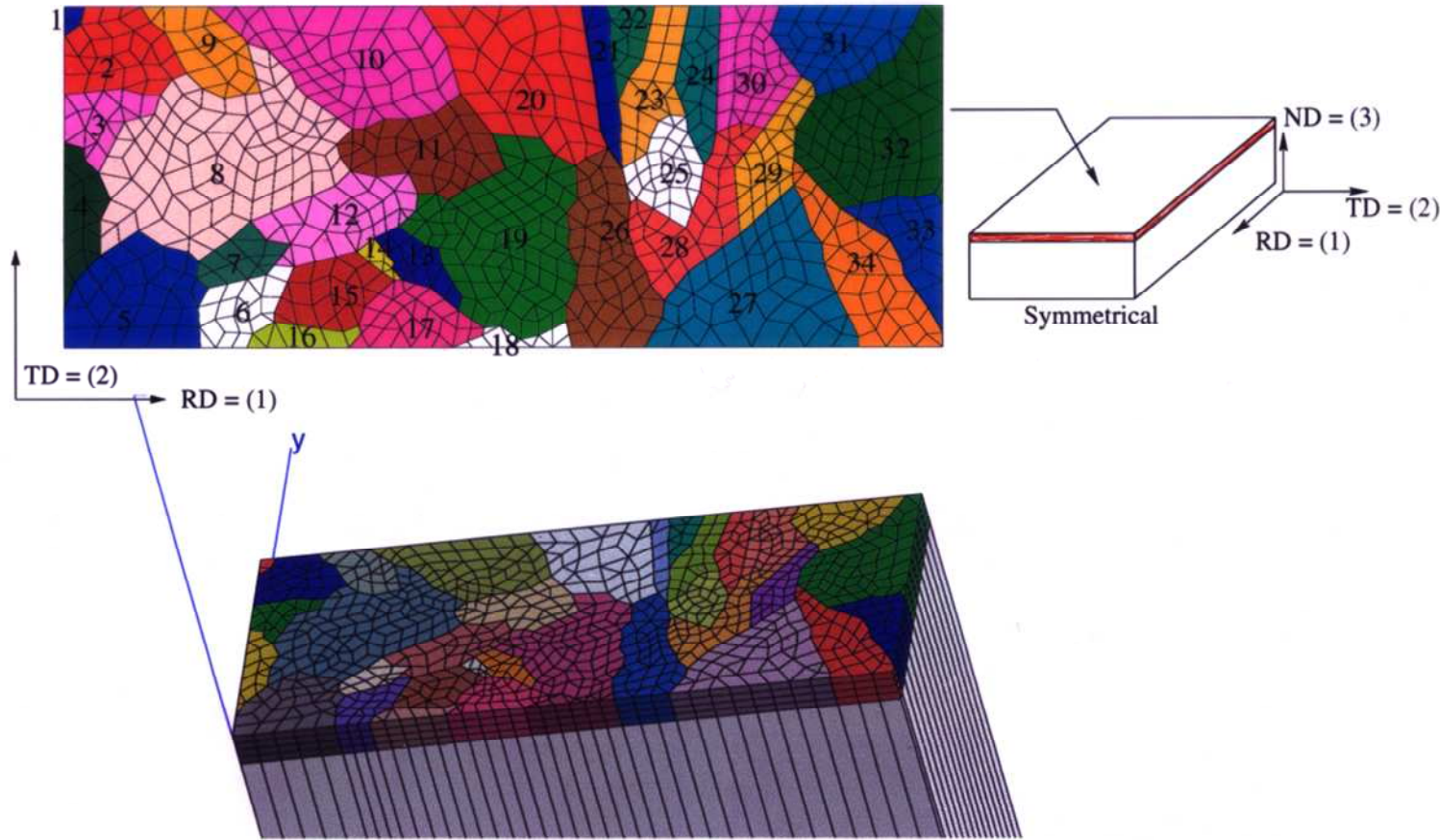


2D geometry but 3D deformation modes!

[R. Parisot 2010]



## Modélisation – Multicristal



16686 degrés de liberté

gradients ? localisation ?

Essai de traction dans le sens long à  $E_{11} = 1\%$

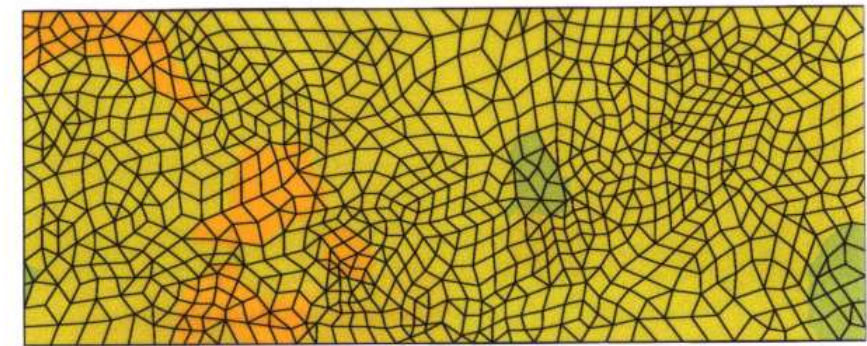


Gros grains  
 $\varepsilon_{11}$  Interface



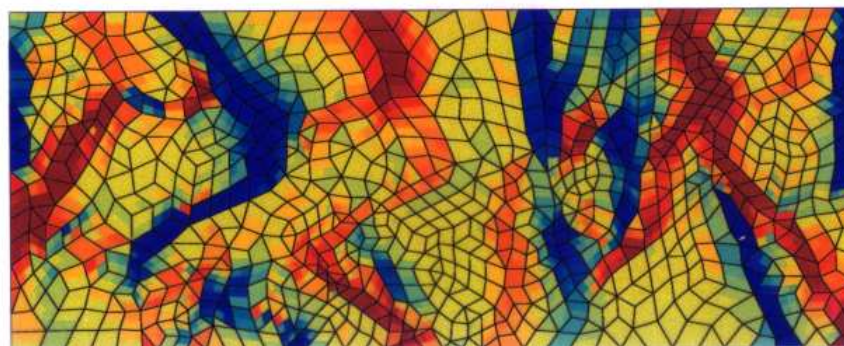
Effet de la taille de grains  
 $\varepsilon_{11}$  Interface

$\varepsilon_{11}$  Interface

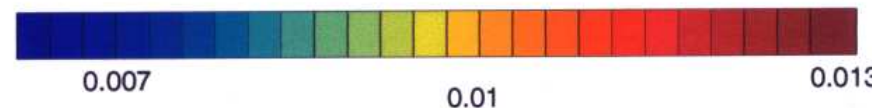
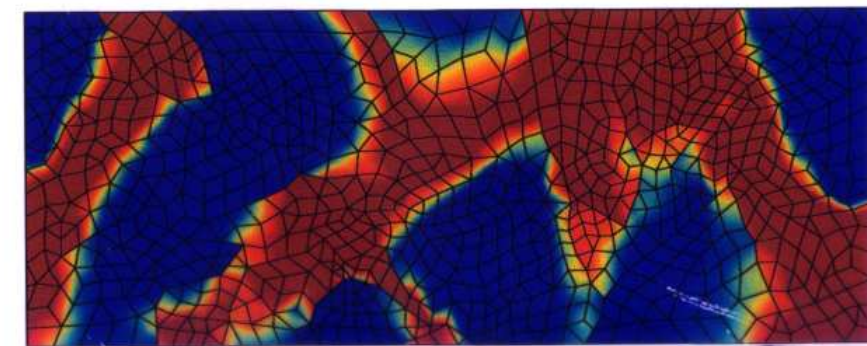


Petits grains

$\varepsilon_{11}$  Surface libre

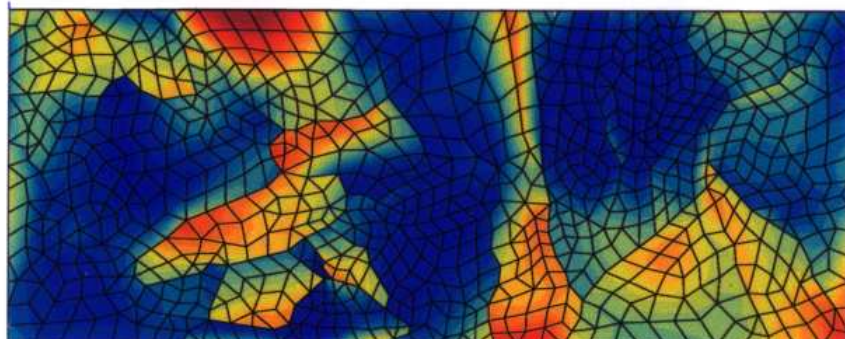


$\varepsilon_{11}$  Surface libre

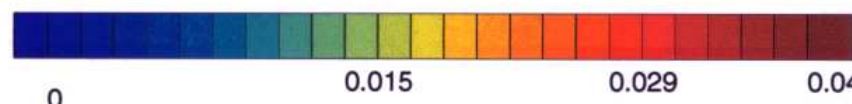
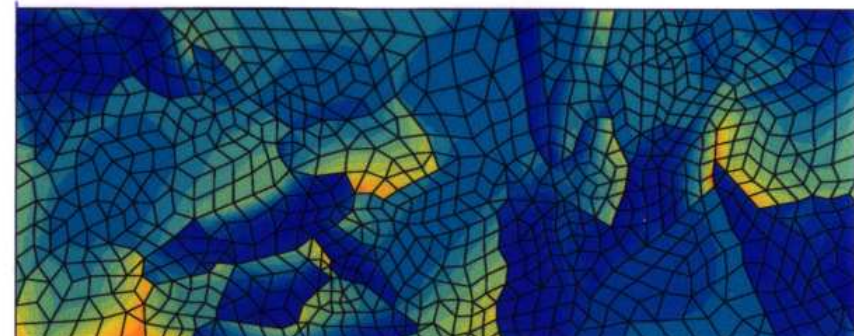


## Modélisation – Multicristal – Petits grains

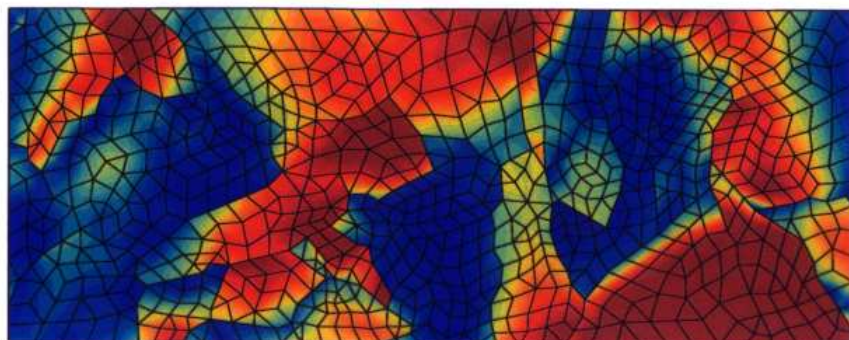
Basal – Interface



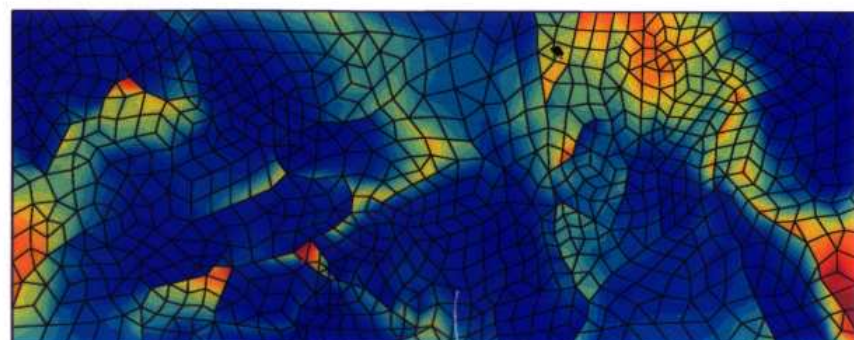
Pyramidal  $\pi_2$  – Interface



Basal – Surface libre

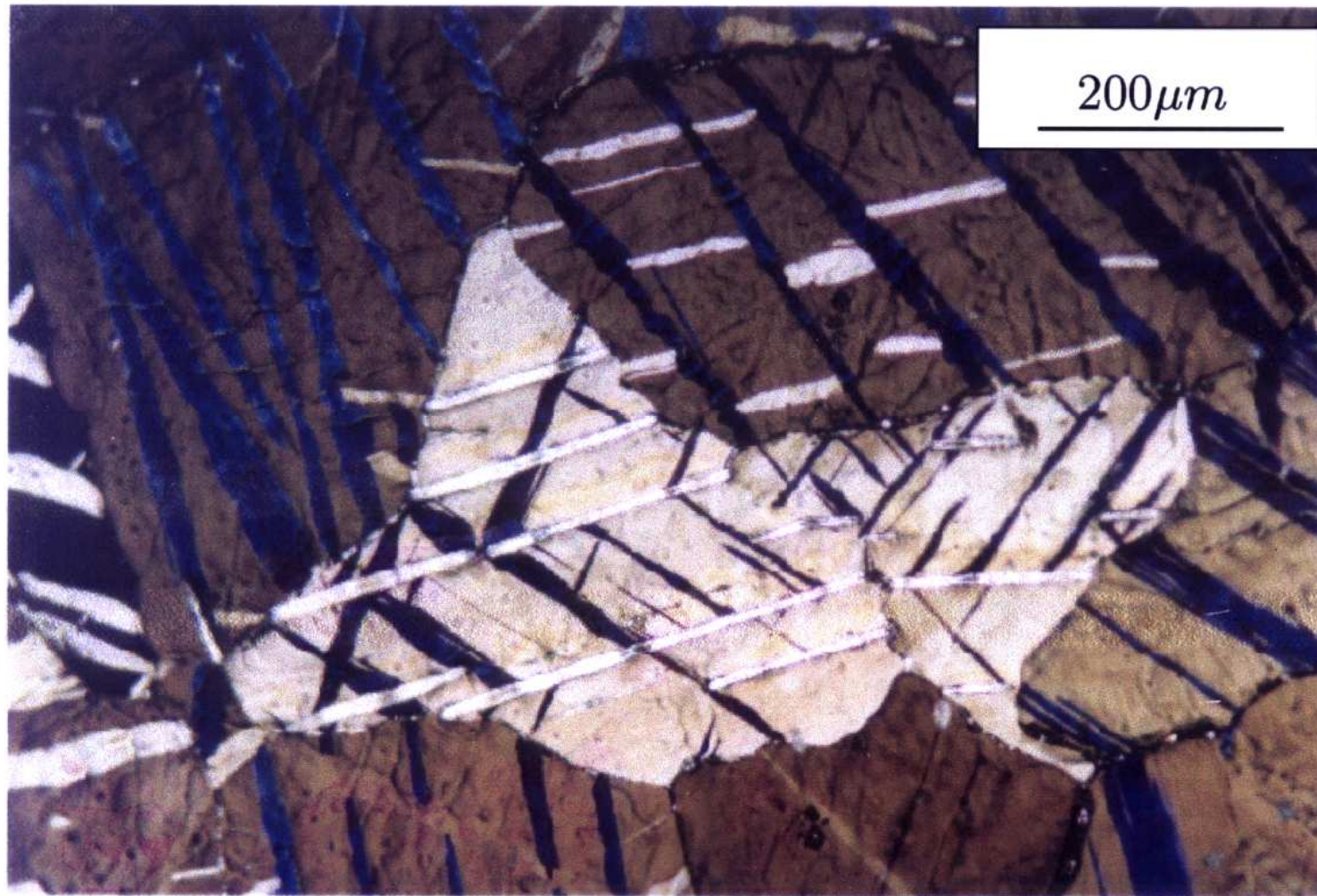


Pyramidal  $\pi_2$  – Surface libre



## Endommagement – Revêtement Non Skin-Passé

---



Expansion Equibiaxiale,  $\varepsilon_{eq} = 11.3\%$



# **INTRODUCTION TO MATERIAL VARIABILITY OF MECHANICAL PROPERTIES AND LENGTH SCALE**

A. Pineau

Centre des Matériaux - École des Mines

B.P. 87 - 91003 EVRY Cedex

e-mail : andre.pineau@ensmp.fr

## **I - INTRODUCTION - CASE STUDIES**

## **II - ELASTICITY**

## **III - PLASTICITY**

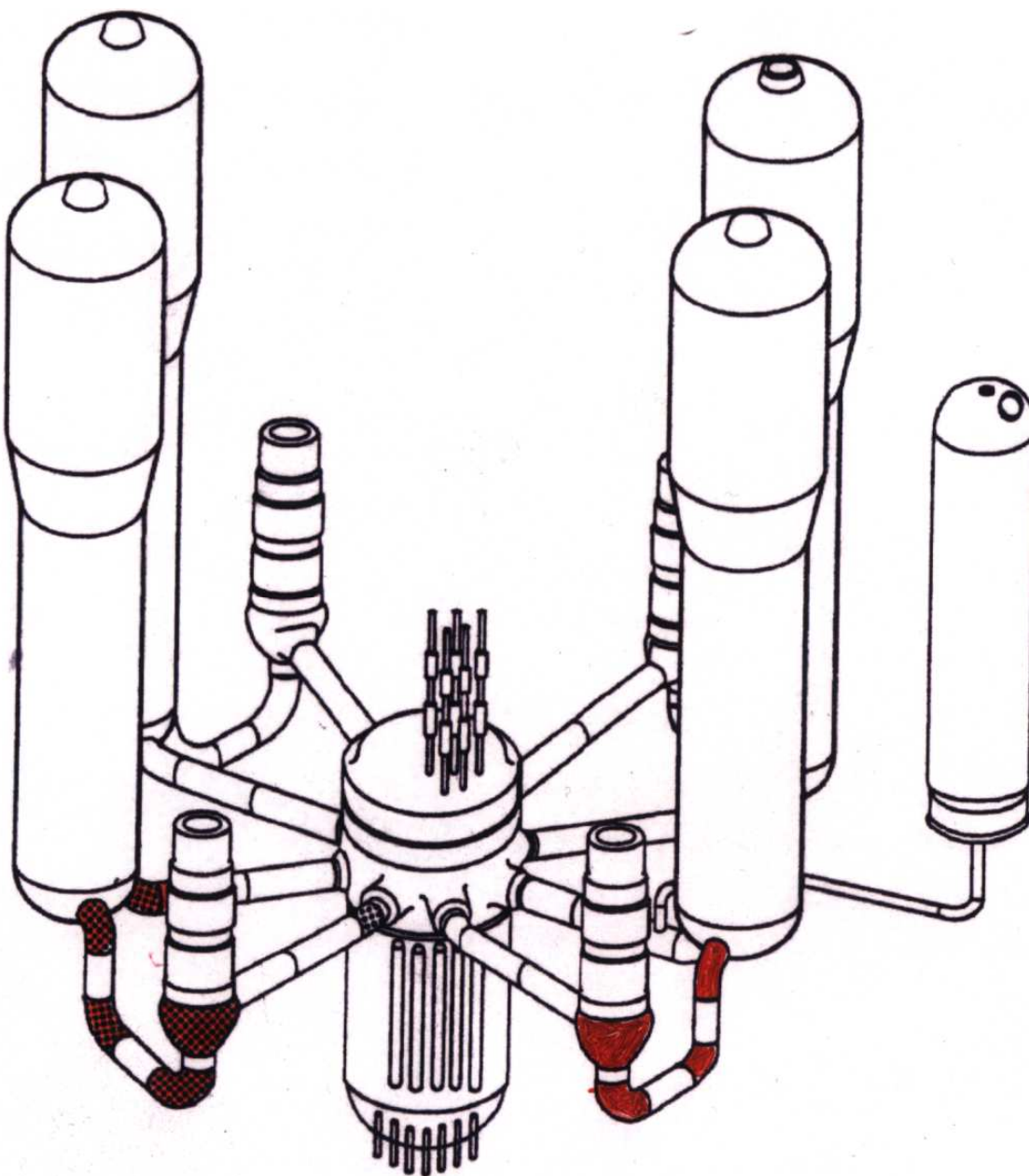
## **IV - FRACTURE : 2 Case Studies**

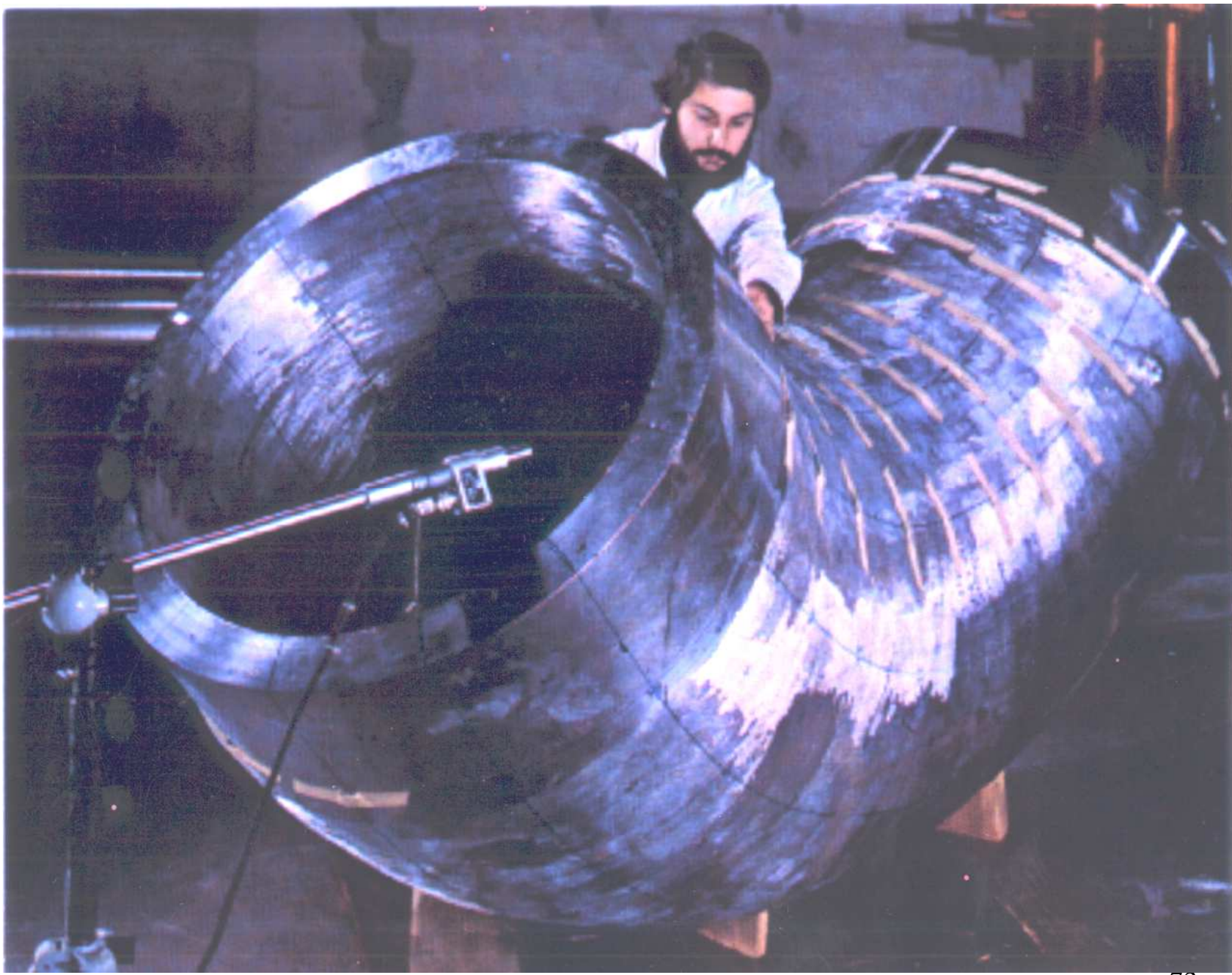
- Duplex Stainless Steels
- Welds

## **V - A SIMPLE MODEL BASED ON WEAKEST LINK THEORY**

## **VI - CONCLUSIONS**







73



**Material CF8M : Fe + 20 Cr + 10 Ni + 2.5 Mo  
In Service Conditions ~ 320°C – 30/40 years**

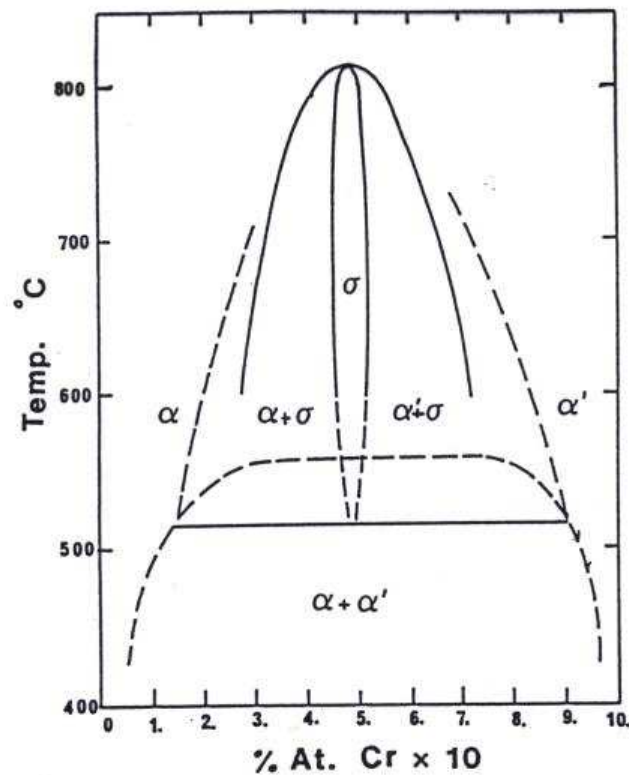


Figure (1.1): Diagramme de phase du système Fe-Cr. (Extrait de [1-20]).

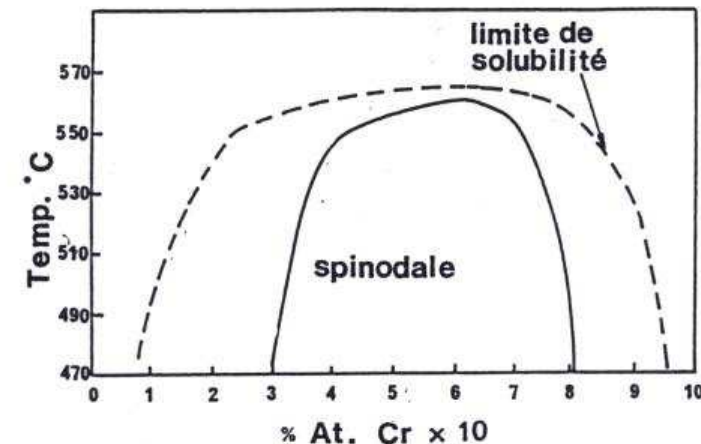
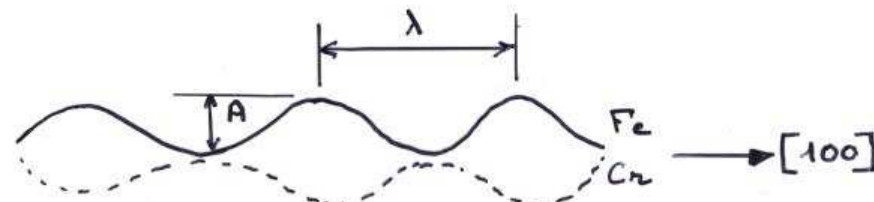


Figure (1.3): Diagramme de phase du système Fe-Cr, indiquant la limite de la décomposition spinodale. (Extrait de [1-9]).

**SPINODAL DECOMPOSITION**



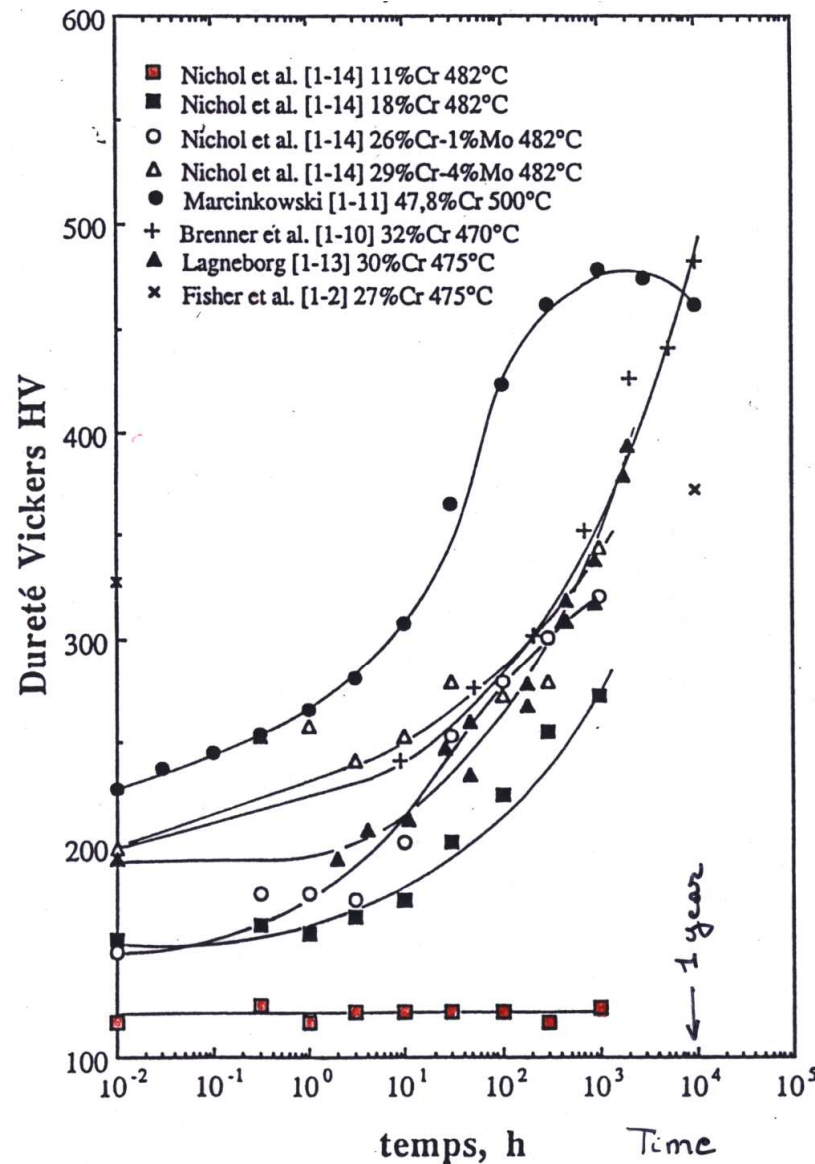


Figure (1.4): Compilation de données de dureté d'acières ferritiques riches en Cr, pour un vieillissement à une température proche de 475°C.



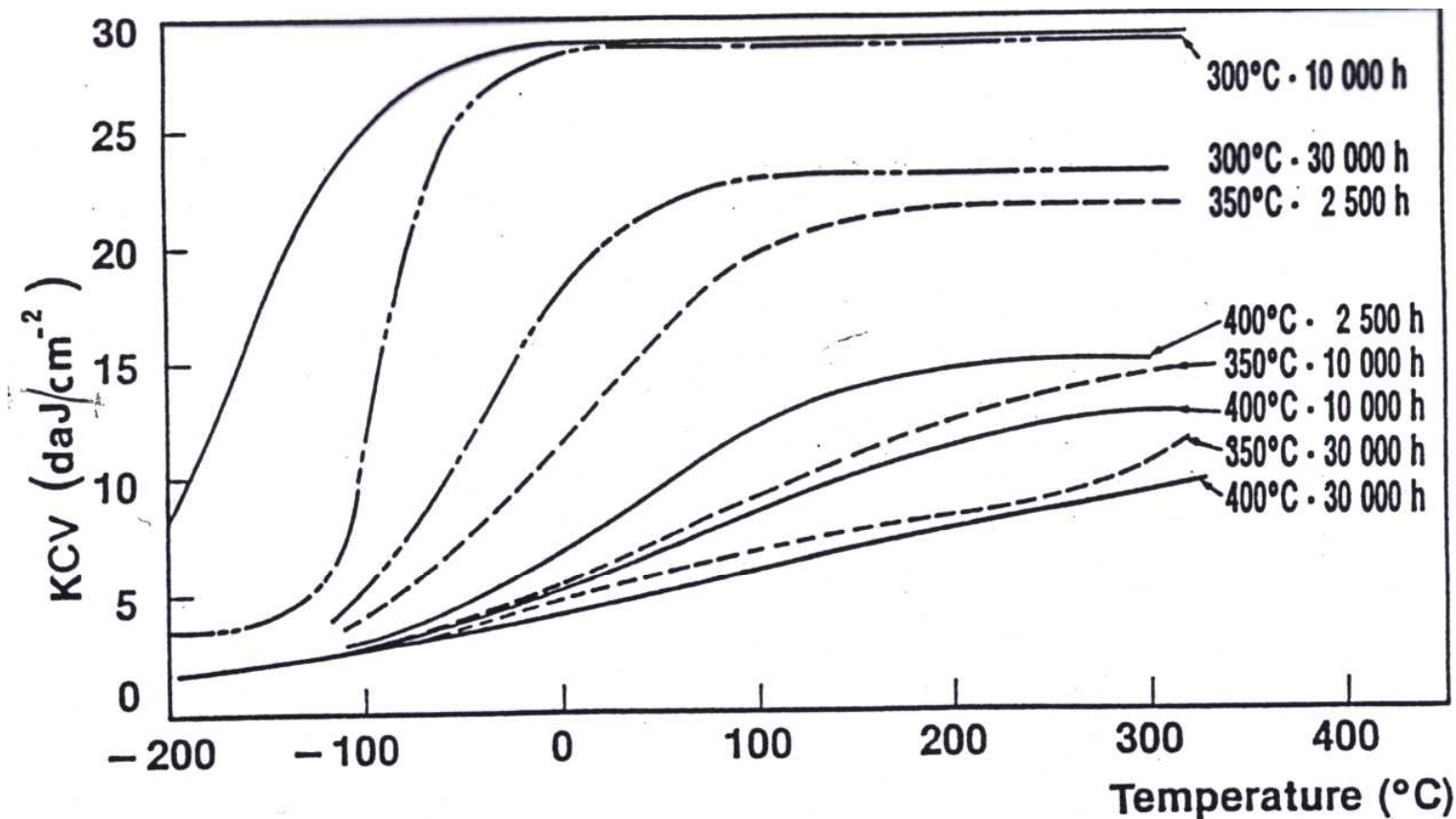


Figure (1.13): Evolution de la courbe de transition Charpy KCV, pour un acier austéno-ferritique au Mo, en fonction du vieillissement. (Extrait de [1-31]).



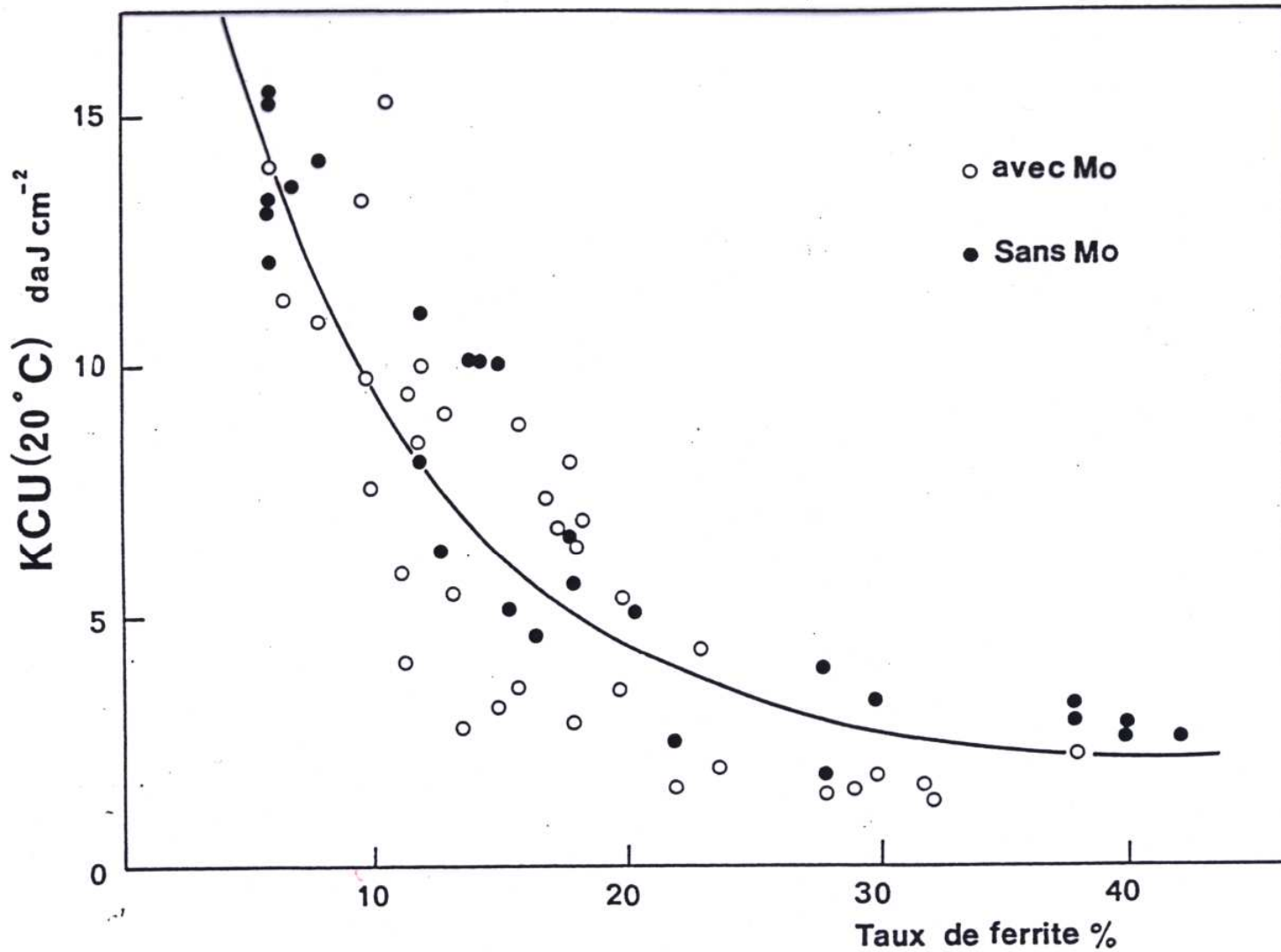


Figure (1.14): Variation de la résilience Charpy KCU avec la fraction volumique de ferrite, pour des aciers austéno-ferritiques vieillis 10 000 hr à 400°C. ( Extrait de [1-31]).



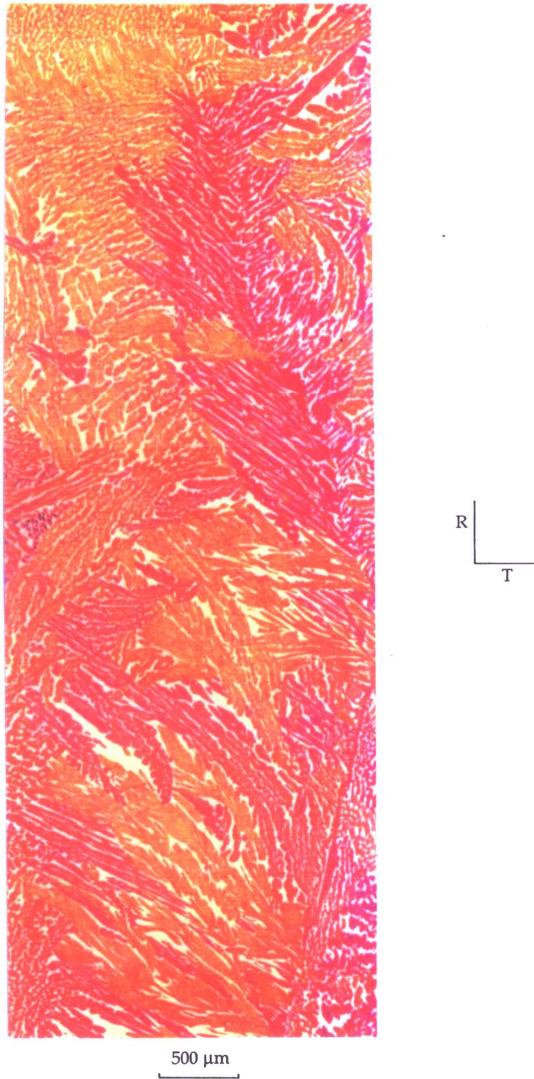
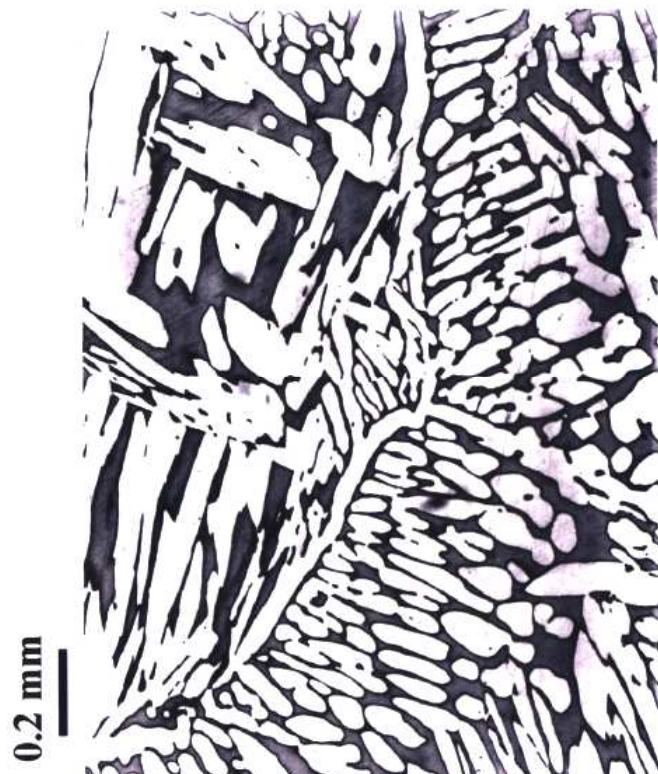


Figure (2.5) (a): Micrographique optique. Alliage Y4331. Attaque thermique. (Ferrite en jaune clair. Austénite en orange ou violet etc.).



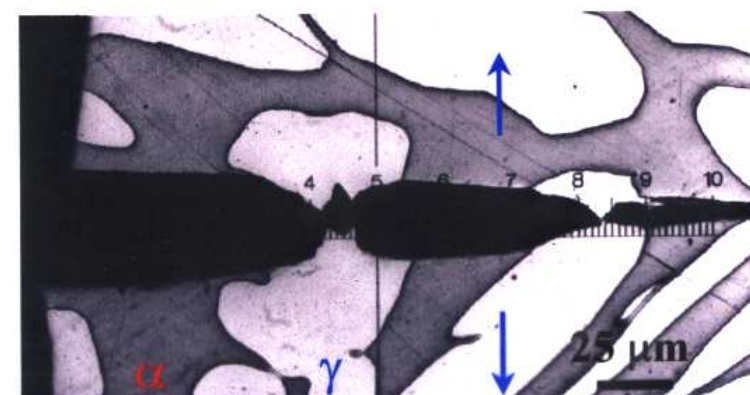
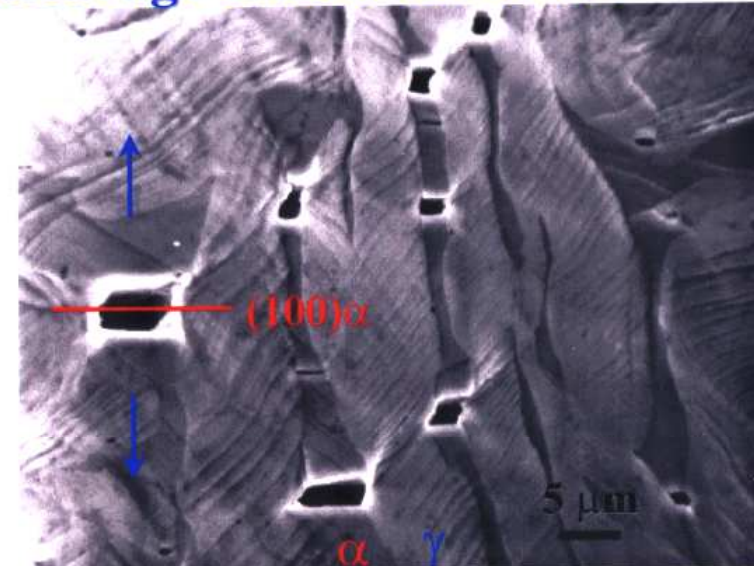
## Consequences of ferrite embrittlement

### Damage by nucleation of cleavage cracks in ferrite

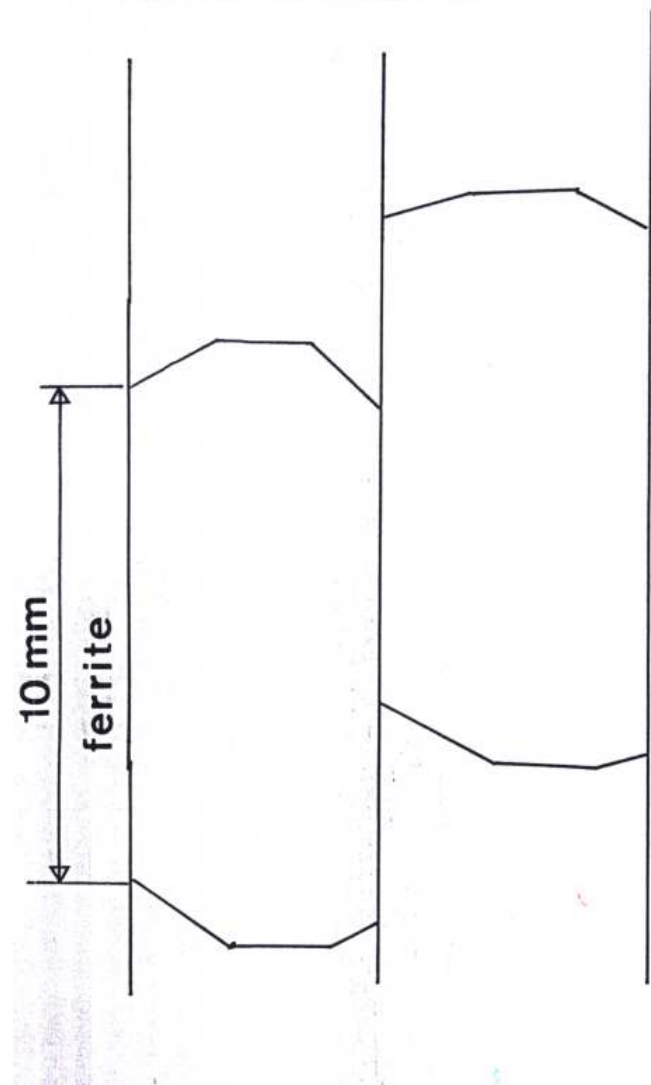


White phase : austenite  $\gamma$

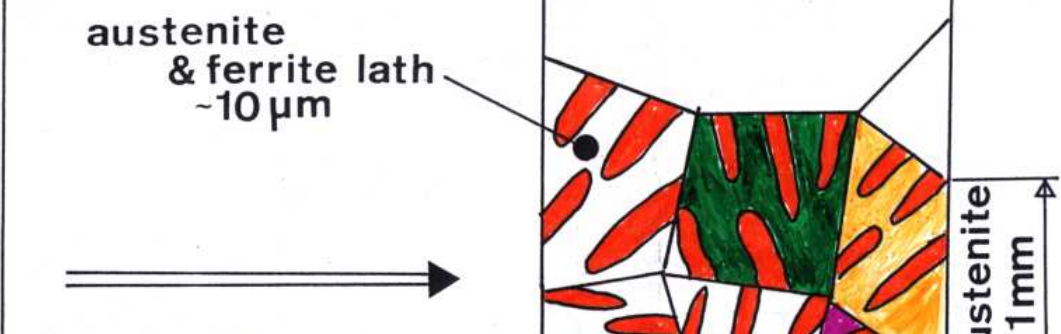
Dark phase : ferrite  $\alpha$



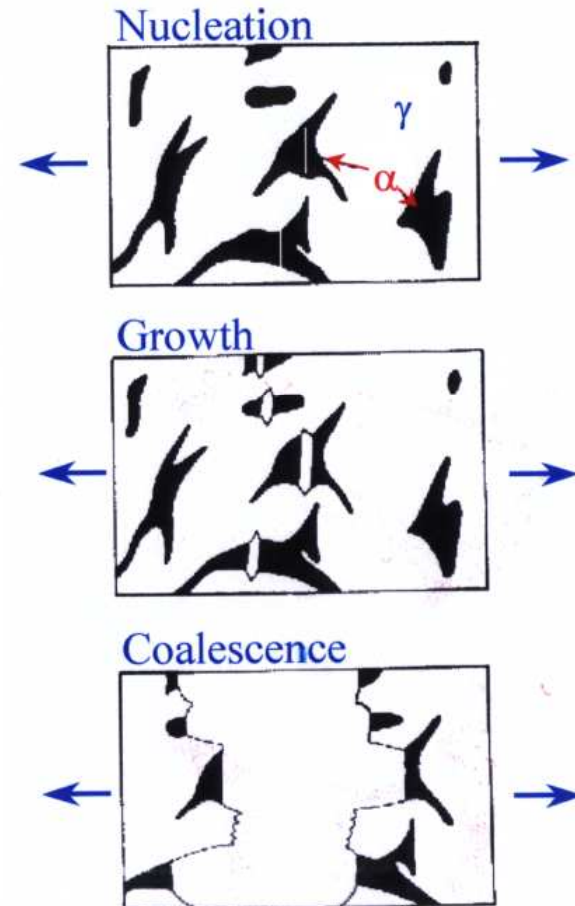
## AS SOLIDIFIED



## SOLID STATE TRANSF.

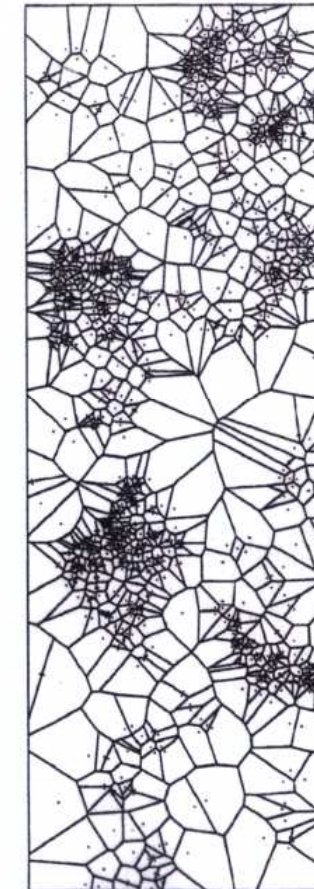


## Characteristics of cleavage damage



- Continuous process controlled by **plastic deformation**
- Initiates at the onset of plastic strain :  
*Yield potentials integrating damage*
- **Heterogeneous** nucleation in millimetric clusters (**An**)  
*Scatter, size effects*

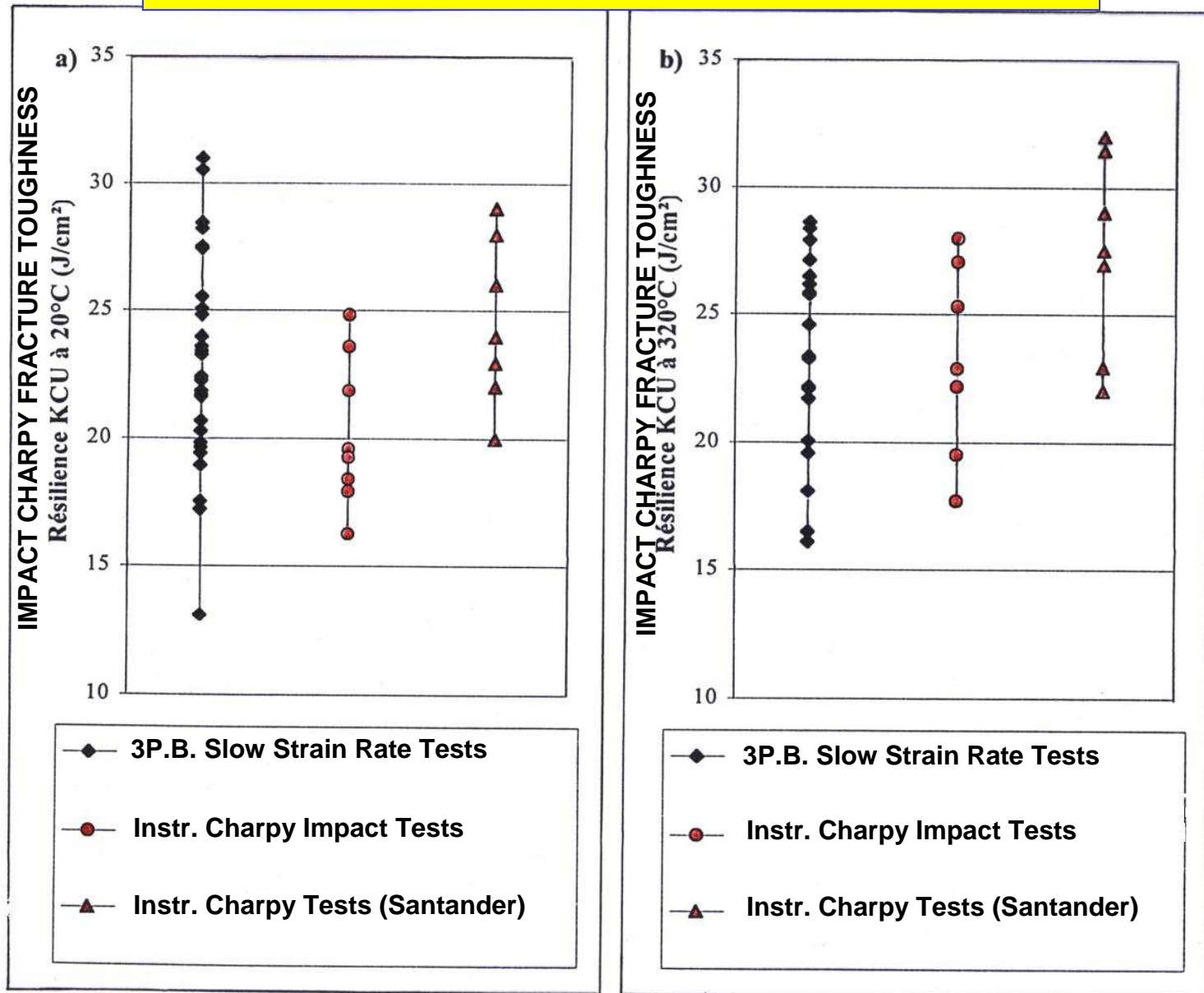
[Slama, Petrequin and Mager, 1982]



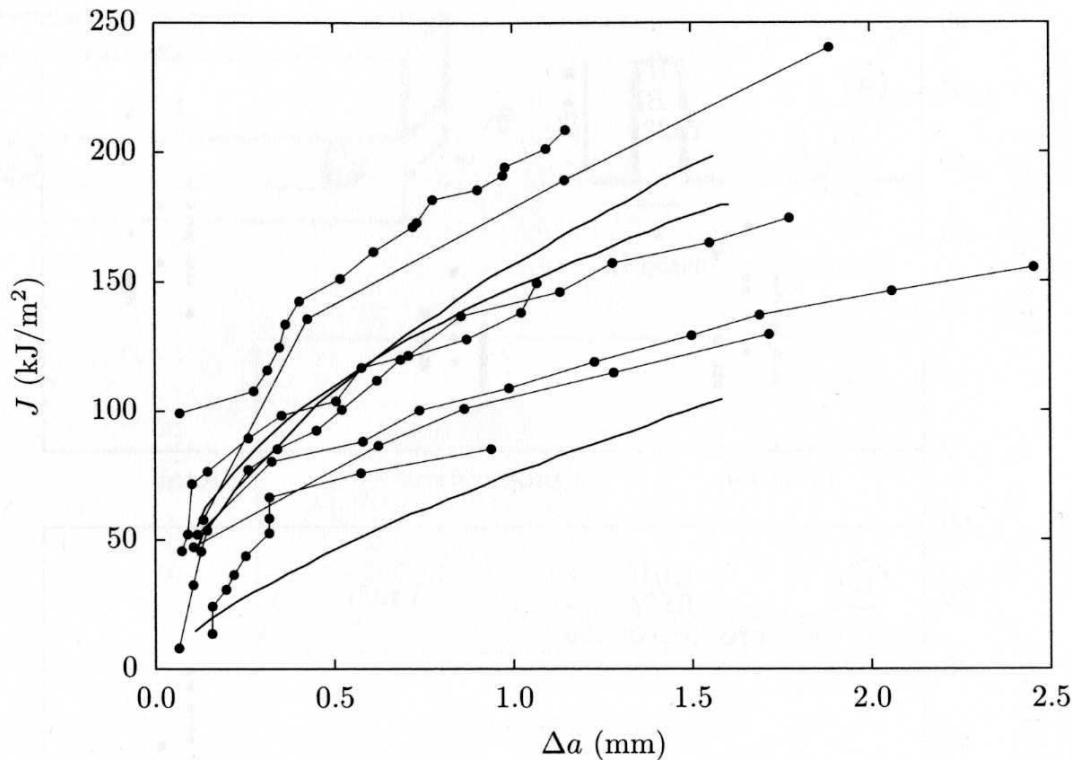
Voronoi Cells



## AGED DUPLEX STAINLESS STEELS



## HUGE SCATTER IN TEST RESULTS OF FRACTURE TOUGHNESS MEASUREMENTS



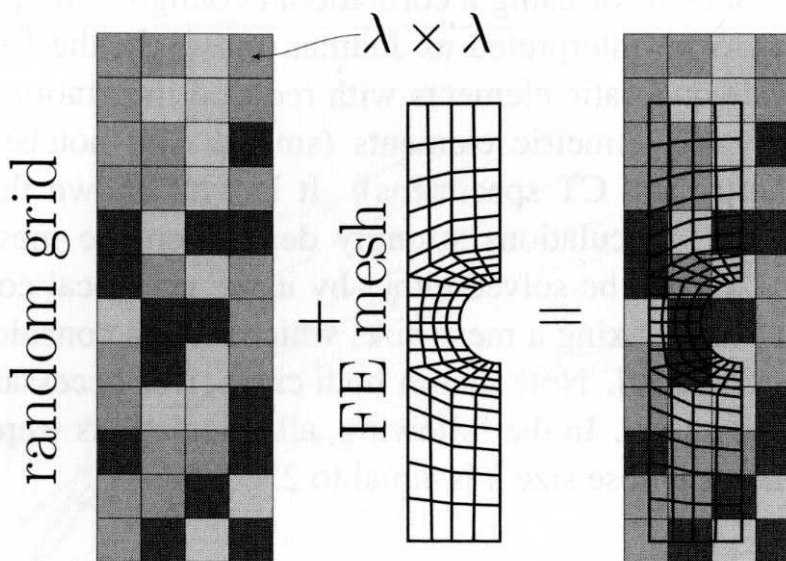
**Figure 5.31.** Steel Y4331 tested at 20°C. Experimental  $J/\Delta a$  curves (full lines, taken from Devillers [DEV 98]; symbols, taken from Joly [JOL 92a])



## MODELLING OF SCATTER AND SIZE EFFECTS

Cavity Nucleation is scattered and inhomogeneously distributed

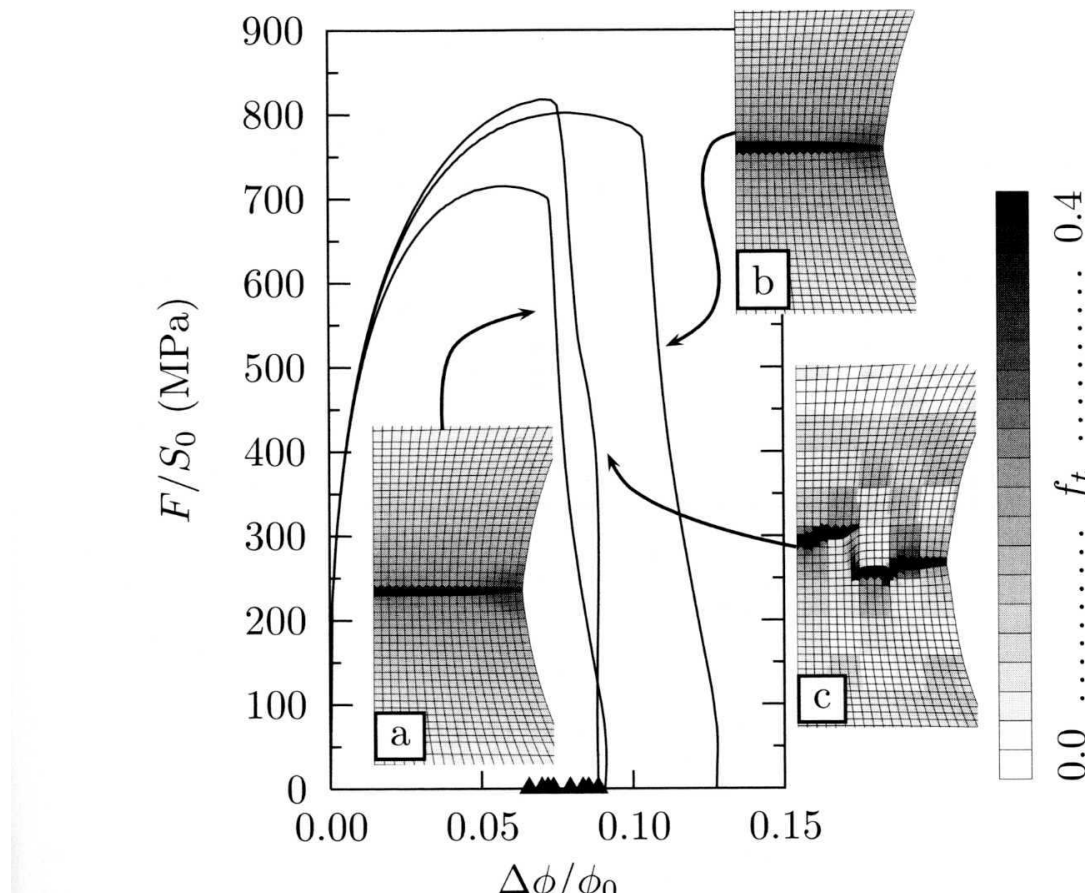
This can be modelled using FEM simulation



**Figure 5.32.** Schematic representation showing how a random value is attributed to each Gauss point of a mesh. The position of each Gauss point in the grid is used to determine the value of the random parameter



## NUNERICAL SIMULATION OF NOTCHED SPECIMENS

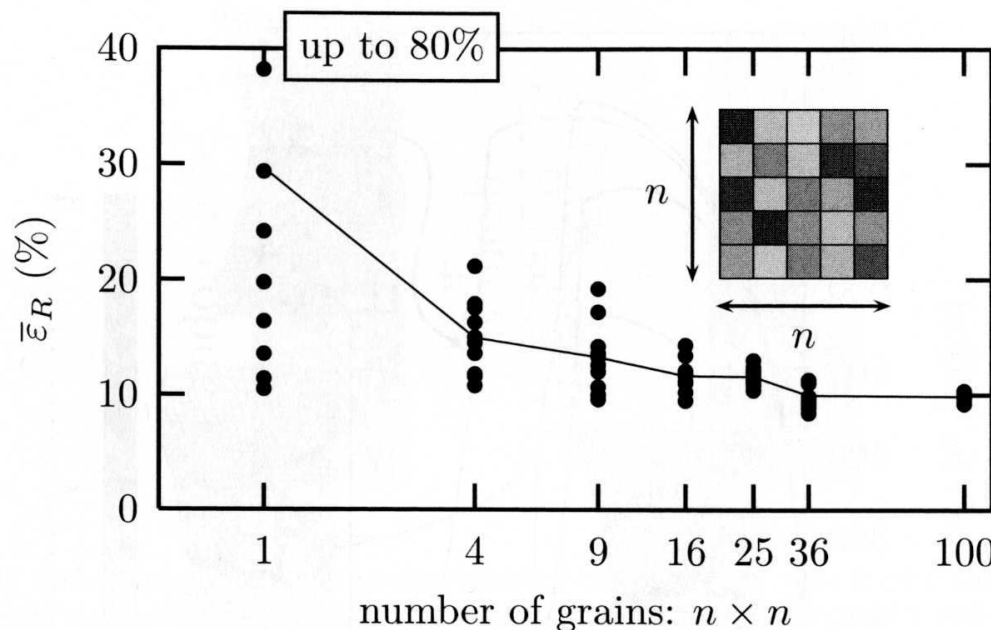


**Figure 5.33.** Notched bar ( $NT_{10}$ ): a) Homogenous with  $A_n = 1.0$ , b) Homogenous with  $A_n = 0.6$ , c) Heterogenous. Gray level contours show the values of  $f_t$  at Gauss points. Solid symbols on the x-axis indicate simulated strains to failure for other specimens computed with random values for  $A_n$ . ( $\phi_0$ : Minimum initial specimen diameter,  $\Delta\phi$ : diameter variation,  $F$ : force,  $S_0$ : initial minimum cross-section)



## SIMULATION OF SIZE EFFECT IN NOTCHED SPECIMENS

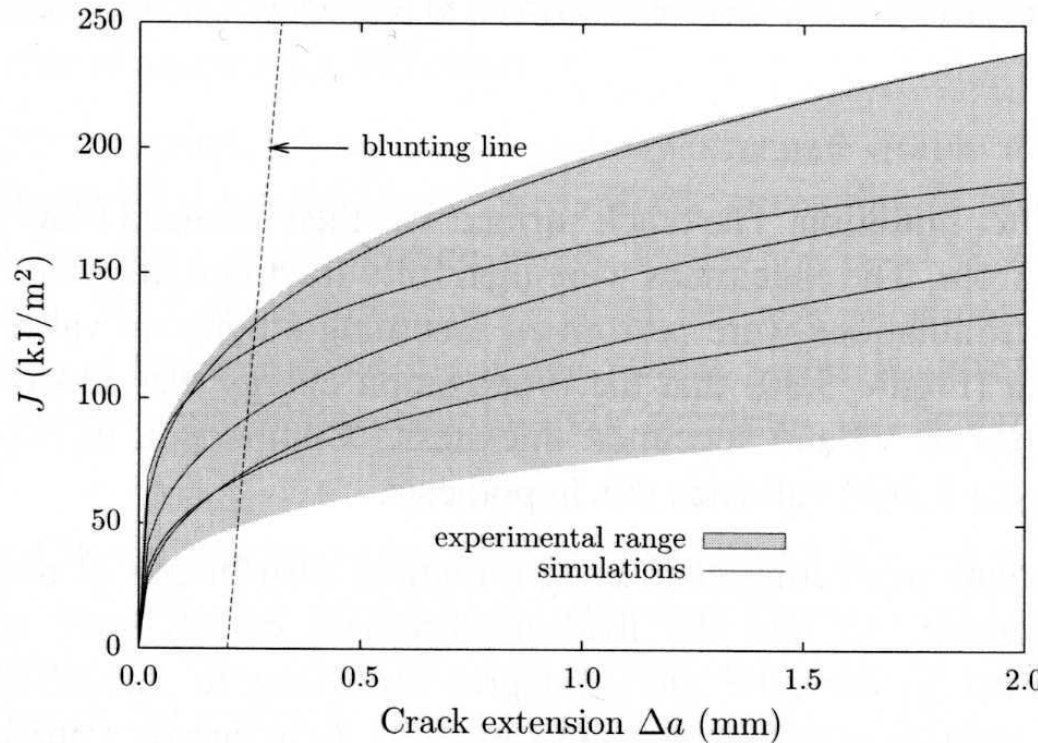
The Strain to failure decreases with increasing the size of the specimens  
which is in good agreement with experimental results



**Figure 5.34.** Simulation of size effects



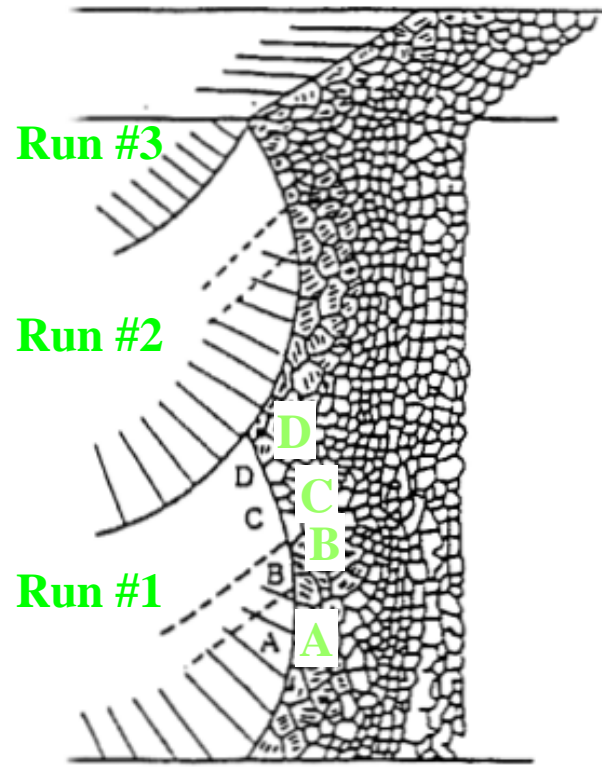
SIMULATION OF FRACTURE TOUGHNESS  
and  
COMPARISON WITH EXPERIMENTS



**Figure 5.37.** Simulation of  $C(T)$  specimens. Material Y4331



# METALLURGICAL INHOMOGENEITIES IN WELDS



Weld structure

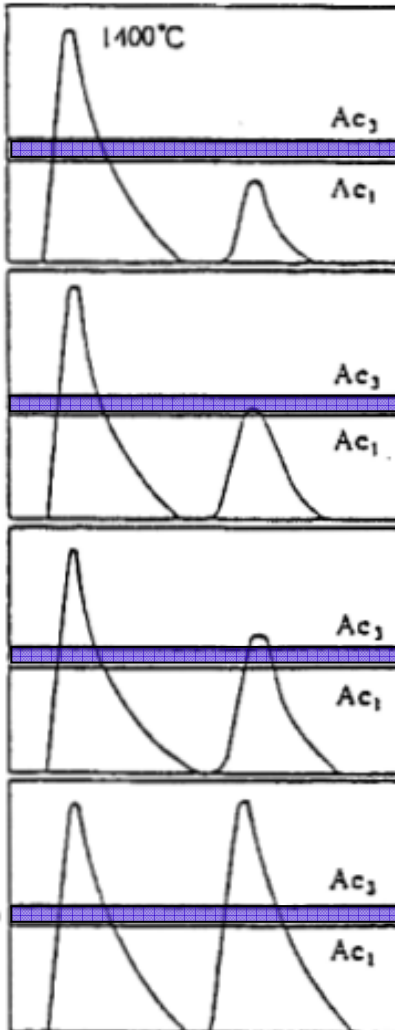
A

B

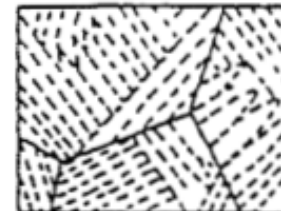
C

D

A. Lambert-Perlade et al., Metall. And Mater. Trans. A (2004), Vol. 35A, pp. 1039-1053



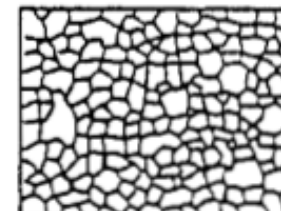
Corresponding thermal cycles



Coarse grained HAZ (CG HAZ)



Intercritically reheated CG HAZ



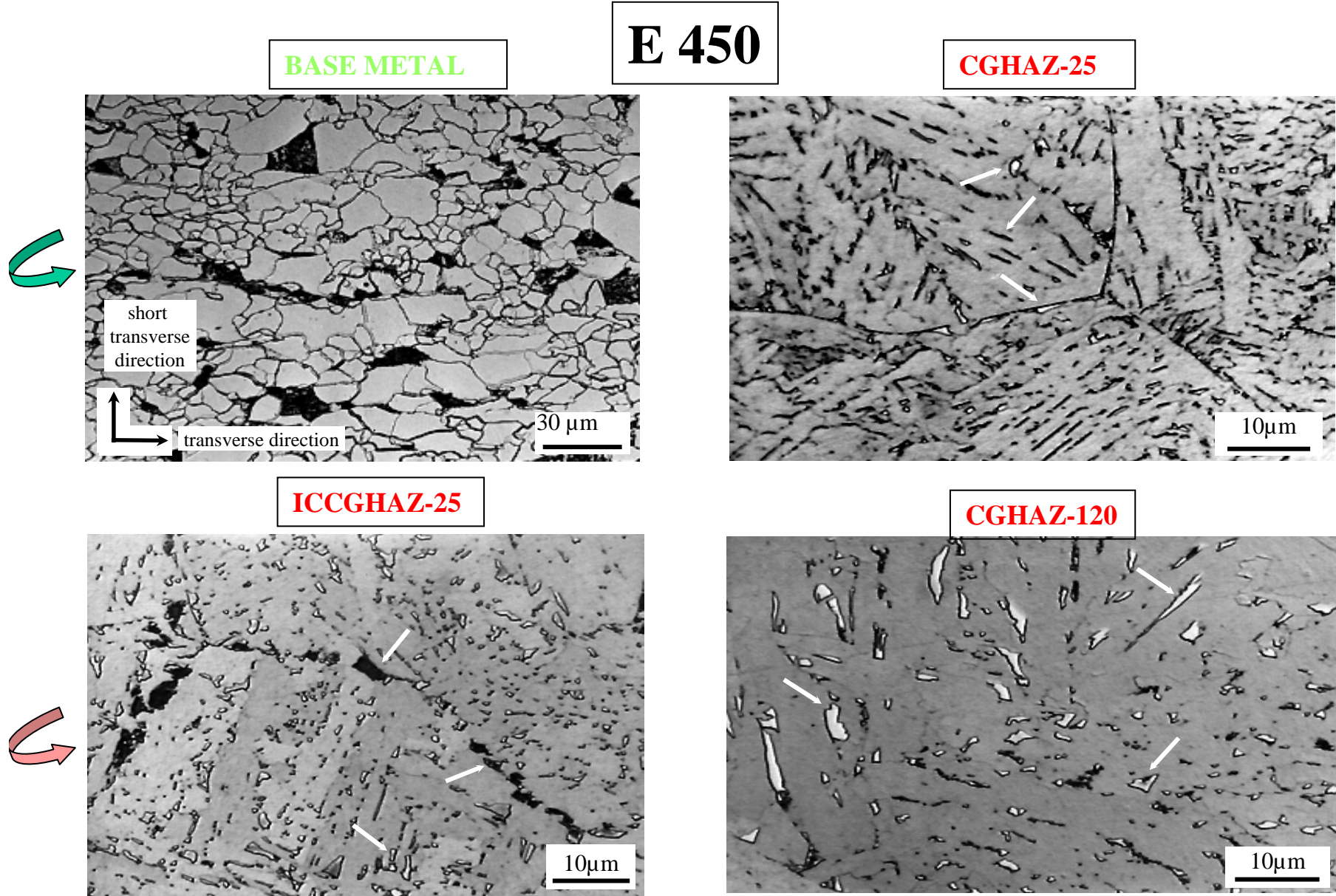
Supercritically reheated CG HAZ (fine grains)



~ CG HAZ

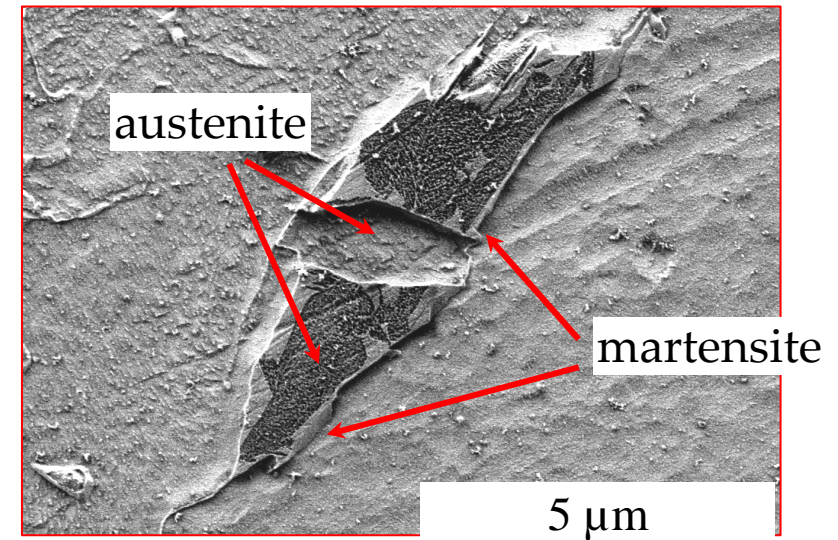
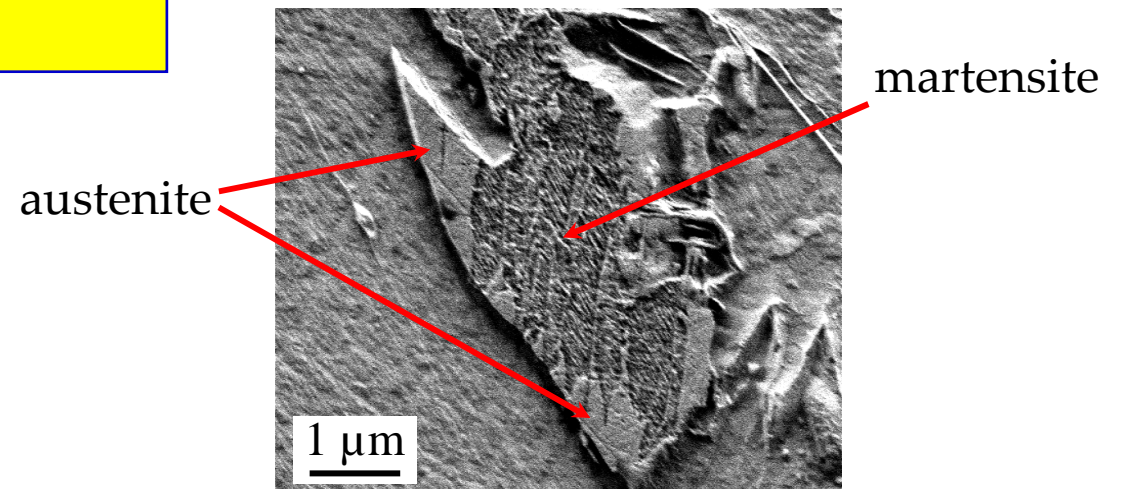
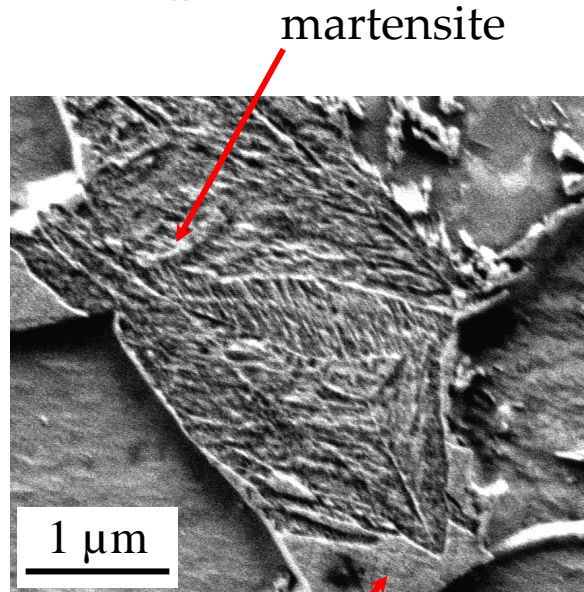
Corresponding HAZ microstructures



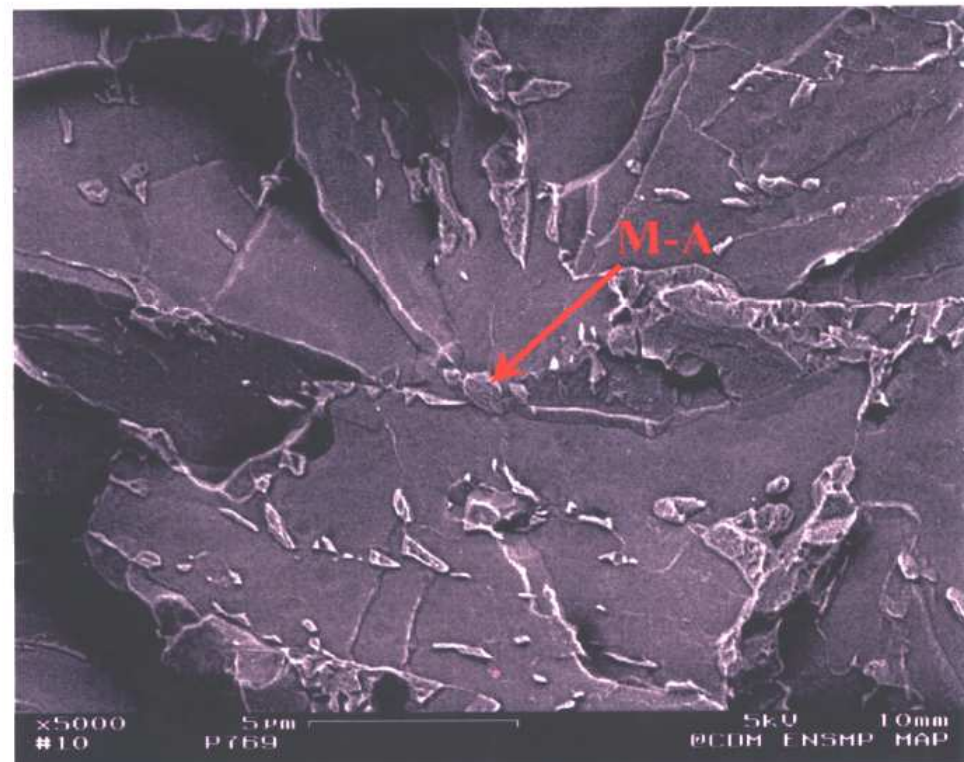
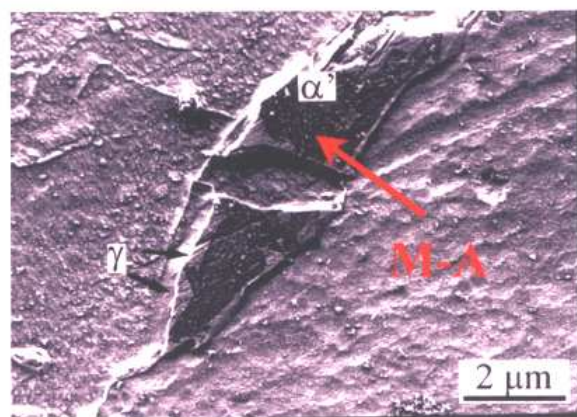
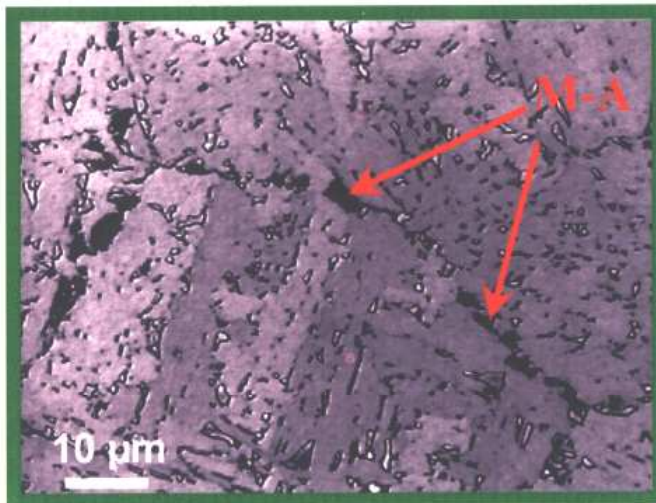


## MARTENSITE - AUSTENITE CONSTITUENTS

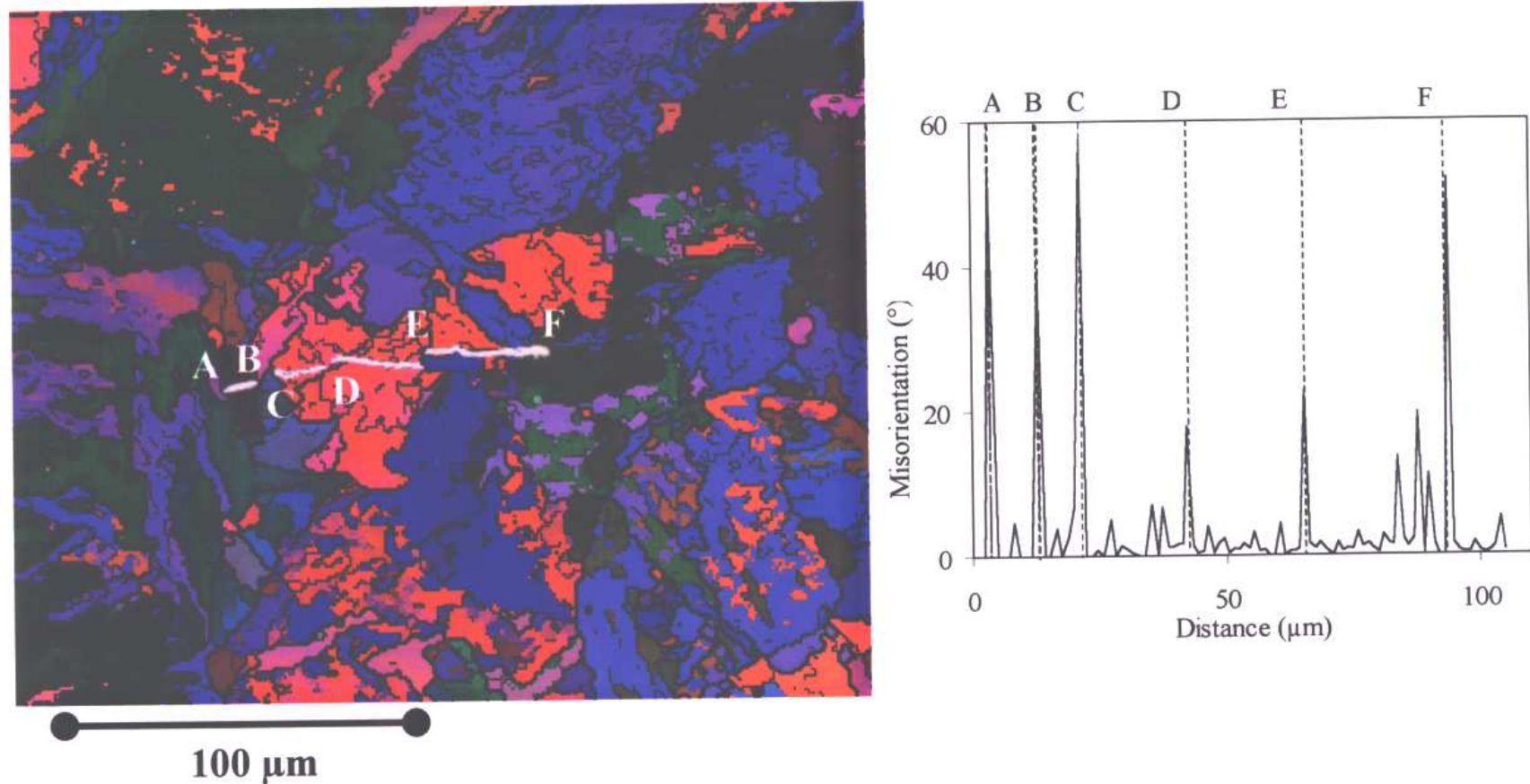
E 450 STEEL



## M-A constituents and cleavage fracture

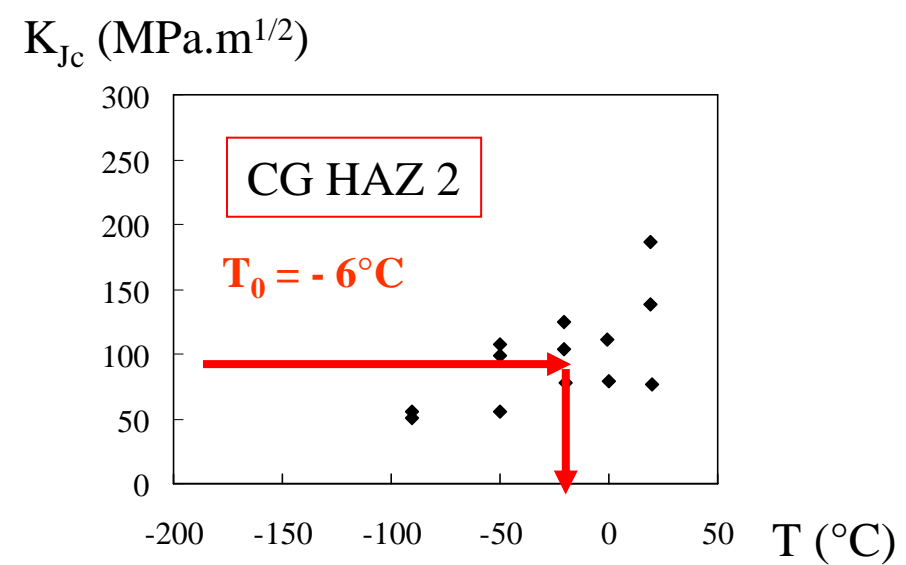
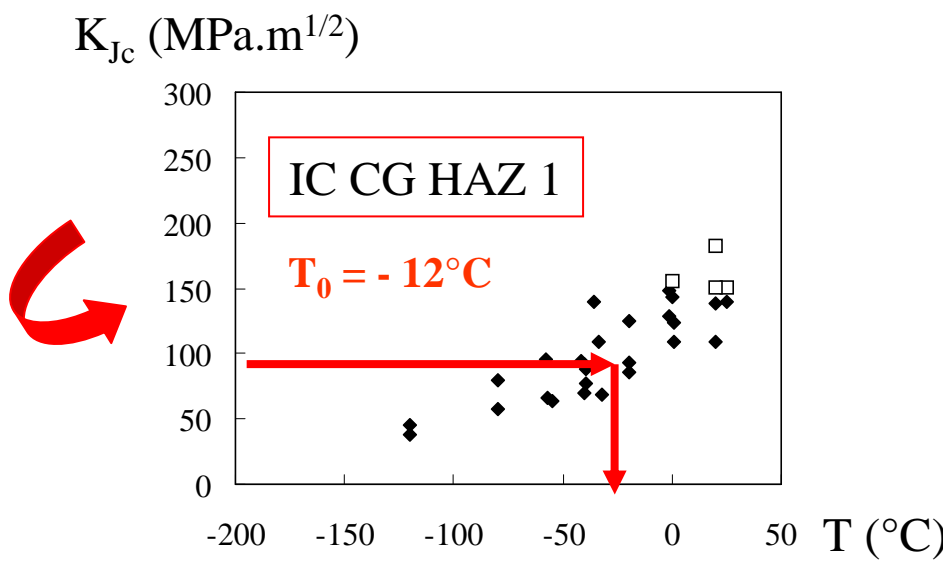
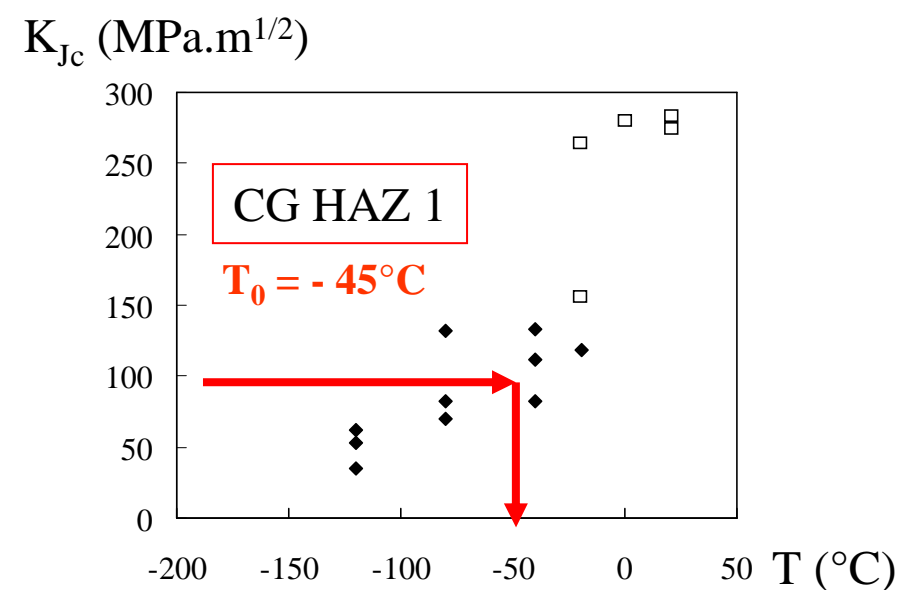
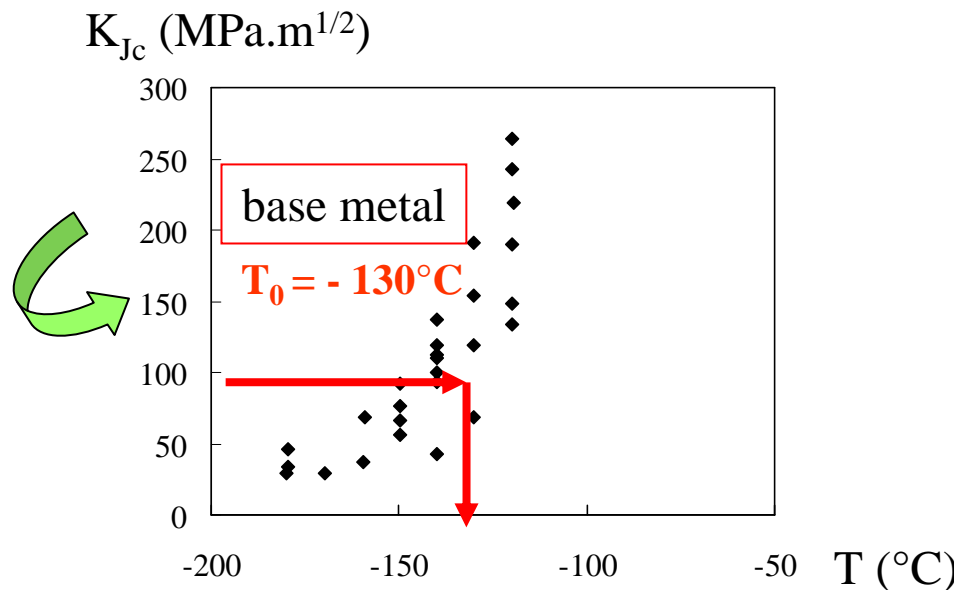


## Bainite and cleavage fracture



ductile stable crack propagation over > 0.2 mm

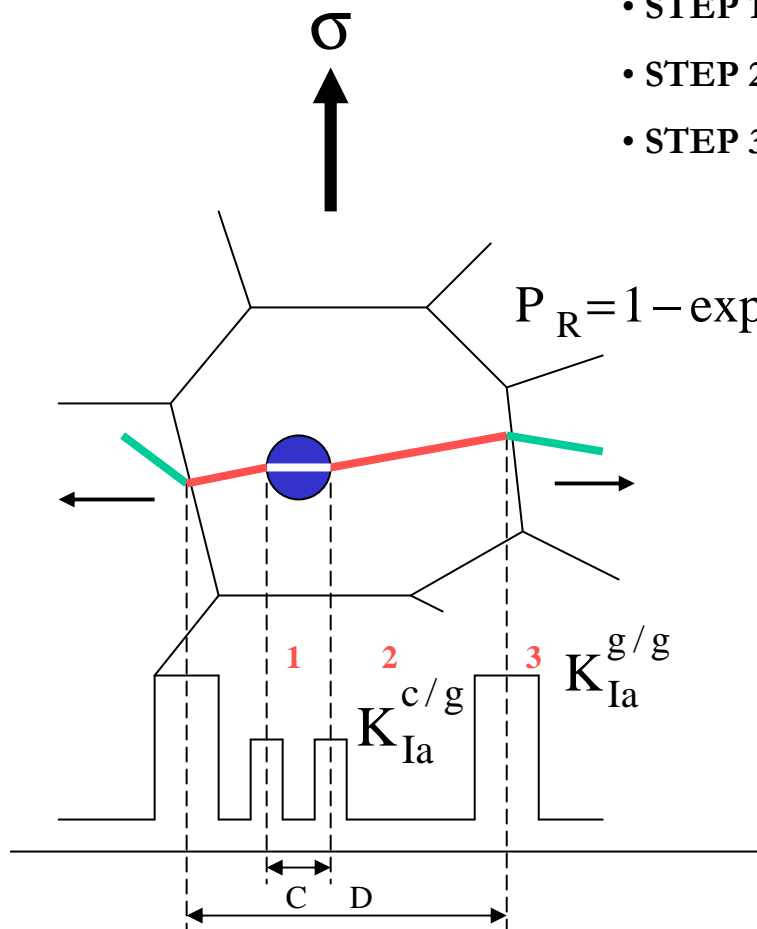
A. Lambert-Perlade et al., Metall. Mater. Trans. A, (2004), Vol. 35A, pp. 1039-1053



# A DOUBLE BARRIER MODEL FOR CLEAVAGE FRACTURE

*A. Martin-Meizoso et al, Acta Metall. Mater. (1994), Vol. 42, pp. 2057-2068.*

- STEP 1 : Fracture Probability of a M-A constituent / Critical Stress Criterion.
- STEP 2 : Probability of propagating a crack at the MA/Matrix Interface.
- STEP 3 : Probability of crossing a packet boundary.



$$P_R = 1 - \exp \left\{ - \int_{PZ} \left[ N_v^g \times F_g \left( C^* \langle C \rangle D^* \right) + N_v^c \times F_c \left( C \rangle C^* \right) \right] dV \right\}$$

$F_g$  &  $F_c$  Determined by Metallography

$$C^* = \frac{\pi E \gamma^{c/g}}{(1-\nu^2) \sigma_1^2} = \beta \left( \frac{K_{Ia}^{c/g}}{\sigma_1} \right)^2$$

$$D^* = \frac{\pi E \gamma^{g/g}}{(1-\nu^2) \sigma_1^2} = \beta \left( \frac{K_{Ia}^{g/g}}{\sigma_1} \right)^2$$

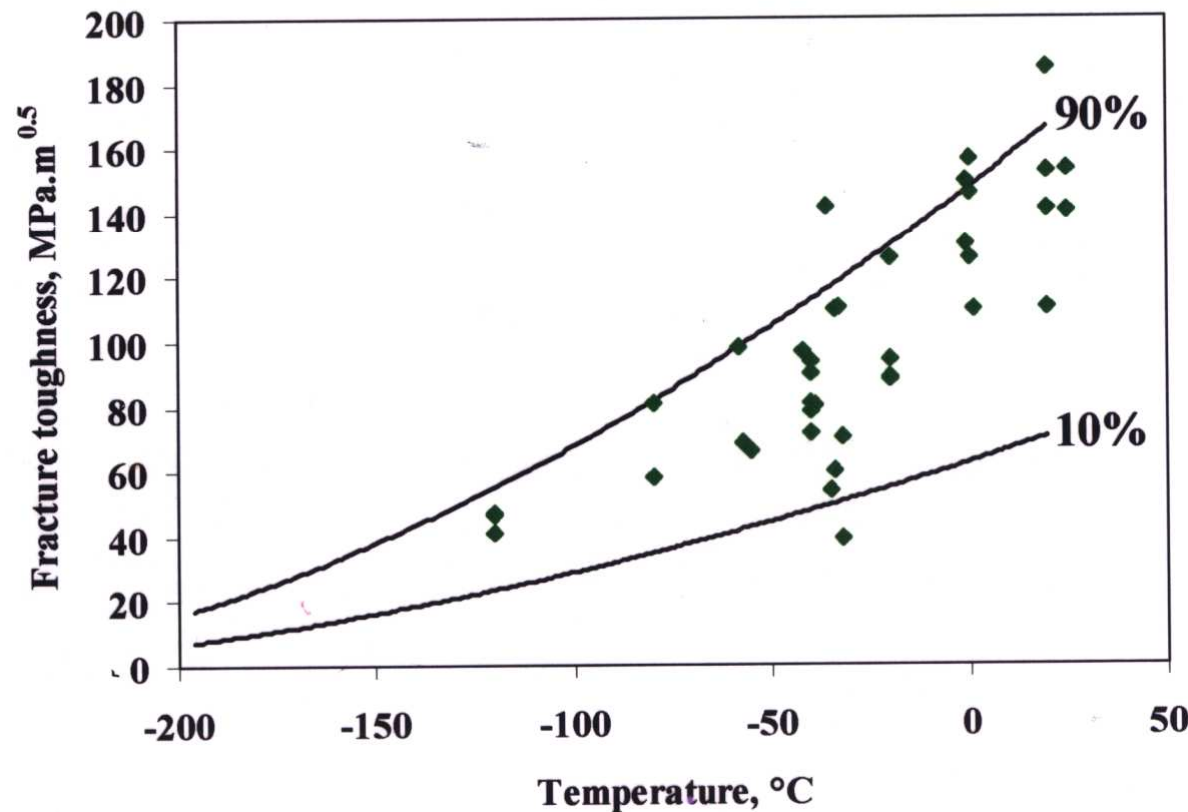


# Modelling fracture toughness

Beremin  
Weibull

$$P_R = 1 - \exp - \left[ \frac{K_{1c}^4 B \sigma_0^{m-4} C_m}{V_0 \sigma_u^m} \right]$$

F.M. Beremin  
Met. Trans 1983,  
vol.14A, 2277-2287



# **INTRODUCTION TO MATERIAL VARIABILITY OF MECHANICAL PROPERTIES AND LENGTH SCALE**

A. Pineau

Centre des Matériaux - École des Mines

B.P. 87 - 91003 EVRY Cedex

e-mail : andre.pineau@ensmp.fr

## **I - INTRODUCTION - CASE STUDIES**

## **II - ELASTICITY**

## **III - PLASTICITY**

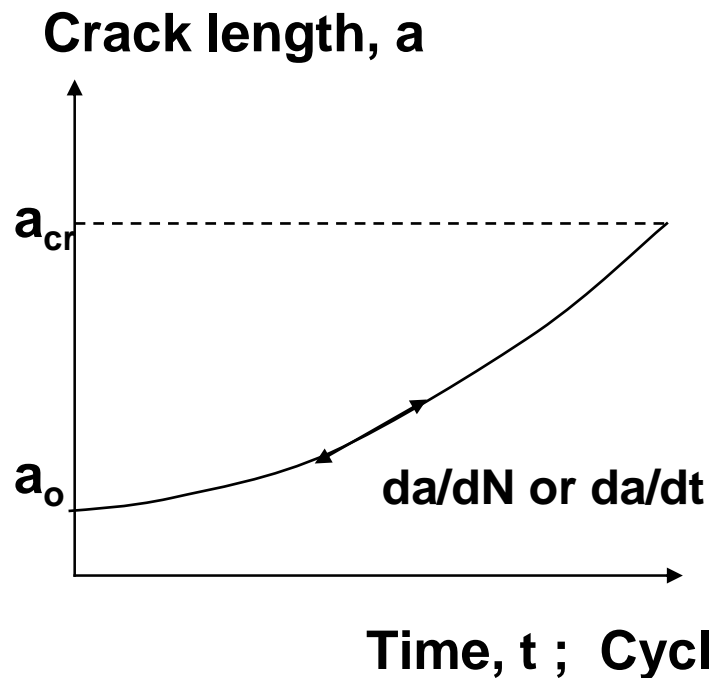
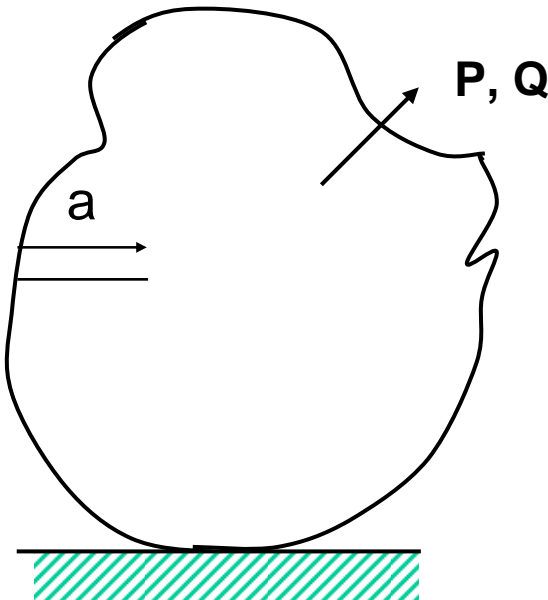
## **IV - FRACTURE : 2 Case Studies**

- Duplex Stainless Steels
- Welds

## **V - A SIMPLE MODEL BASED ON WEAKEST LINK THEORY**

## **VI - CONCLUSIONS**





- Non Destructive Testing (NDT)
- Inspection Intervals

### Critical Crack Length, $a_{cr}$

- Leak Before Break
- Linear and Non Linear Fracture Mechanics

$$a_{cr} = \frac{K_{IC}^2}{\pi \sigma^2}$$

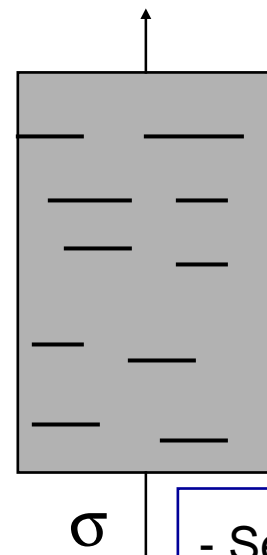
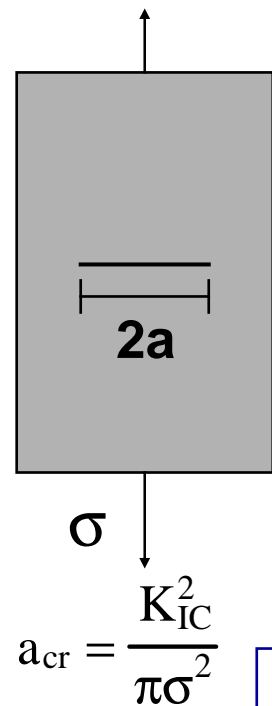
$K_{IC}$  : Fracture Toughness  
 $(\text{MPa}\sqrt{\text{m}})$



## FRACTURE UNDER MONOTONIC LOADING FROM PREEXISTING DEFECTS WITH a GIVEN LENGTH or SIZE DISTRIBUTION

### Homogeneously Loaded Structure

#### A single defect A population of defects



- Defect size distribution  $q(a) = Q a^{-n}$   
 $(Q > 0 ; n > 1)$
- Weakest link theory  $\Rightarrow$

$$S(\sigma, V) = 1 - \exp \left\{ - \frac{V}{V_c} \left( \frac{\sigma}{\sigma_c} \right)^{2(n-1)} \right\}$$

$S(\sigma, V)$  = Probability to failure

$$V_c = \frac{n-1}{Q} \left( \frac{K_{IC}}{\sqrt{\pi} \sigma_c} \right)^{2(n-1)} \quad : \text{material parameter}$$

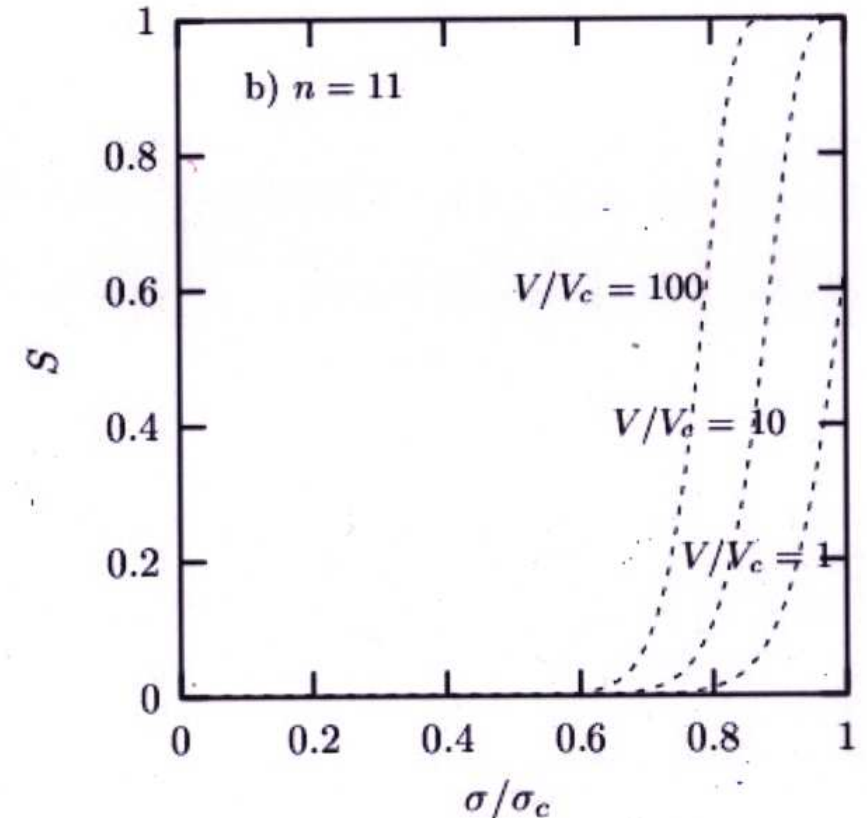
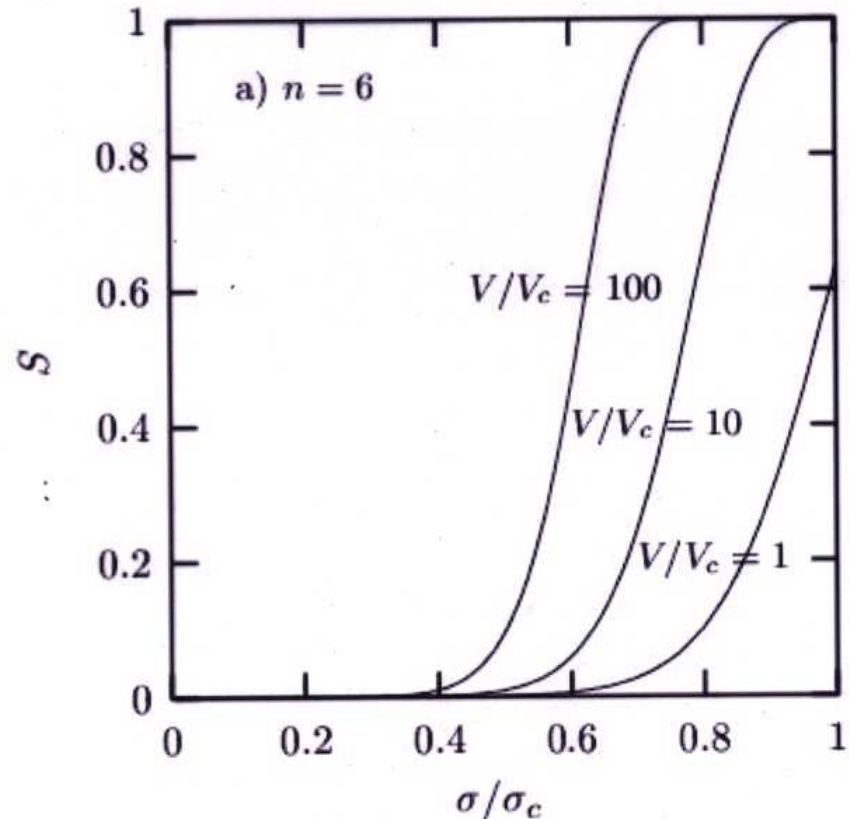
- See examples of  $S(\sigma/\sigma_c, V/V_c)$  curves for  $n = 6$  ie  $2(n-1) = 10$  ;  $n = 11$  ie  $2(n-1) = 20$

For a large number of identical structures (or specimens),  $S(\sigma, V)$  specifies the fraction expected to fail when  $\sigma$  is first applied.

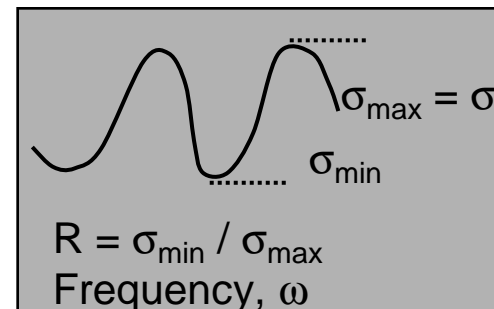


$n$  = Shape factor for defect distribution

$2(n-1)$  = Shape factor for Weibull distribution



## FRACTURE UNDER CYCLIC LOADING FROM GROWING DEFECTS



- $a_i(\sigma, R, t)$  : Initial size of defects which have grown to the critical size  $K_{IC}^2 / \sigma^2$  after time,  $t$ .

Paris law :  $da/dN = \alpha (\Delta K)^{2v}$  or  $da/dt = \omega (da/dN)$

$$da/dt = \underline{\alpha \pi^v \omega (1-R)^{2v} \sigma^{2v} a^v} \quad (K = \sigma \sqrt{a})$$

(1)

Integration of Eq (1) :  $[a^{-v+1}]_{a_i}^{a_{cr}} = (1-v) A$

$$\Rightarrow a_i = \frac{(K_{IC} / \sqrt{\pi} \sigma)^2}{\left\{ 1 + \alpha \omega (v-1) K_{IC}^{2(v-1)} (1-R)^{2v} \pi \sigma^2 t \right\}^{1/(v-1)}} \quad (2)$$

- Fraction of components (specimens) expected to have failed at time  $t$  :

$$F(\sigma, R, t) = 1 - \exp \left\{ V \int_{a_i}^{\infty} q(a) da \right\} \quad (3)$$

Eqs (2) + (3)  $\Rightarrow F(\sigma, R, t) = 1 - \exp \left[ -\frac{V}{V_c} \left( \frac{\sigma}{\sigma_c} \right)^{2(n-1)} \left\{ 1 + (1-R)^{2v} \left( \frac{\sigma}{\sigma_c} \right)^2 \frac{t}{t_c} \right\}^{\frac{n-1}{v-1}} \right] \quad (4)$

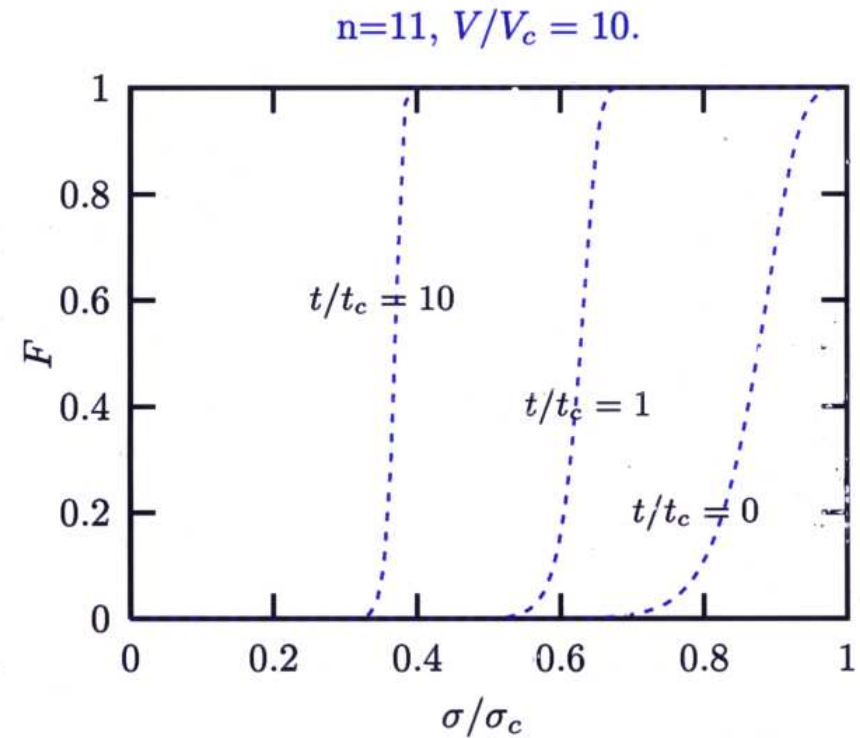
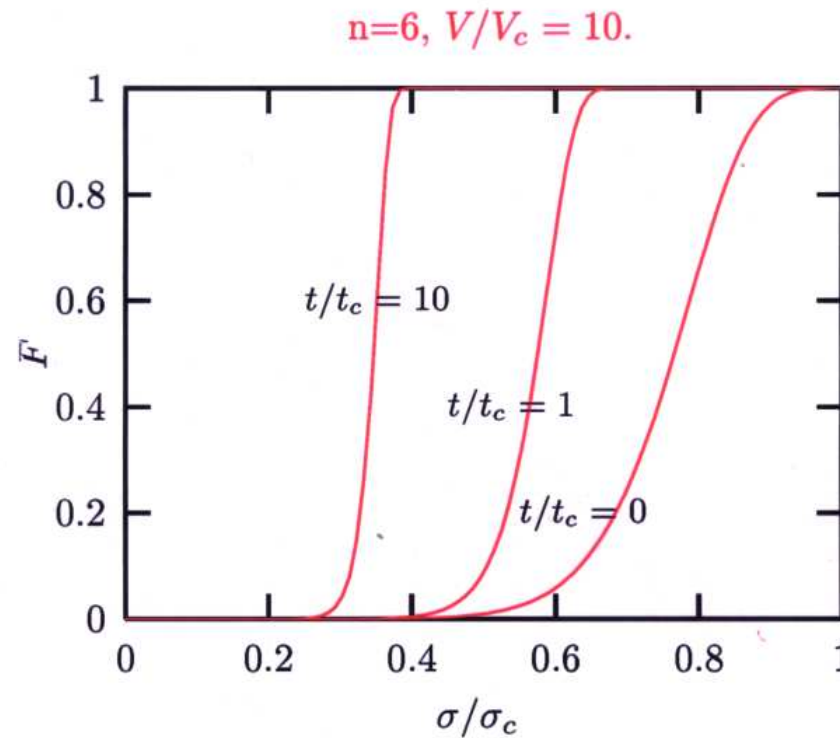
where  $t_c = \frac{1}{\alpha \omega (v-1) K_{IC}^{2(v-1)} \pi \sigma_c^2}$

- See examples of  $F(\sigma / \sigma_c, V / V_c)$  curves for  $n = 6$  and  $n = 11$



$n$  = Shape factor for defect distribution

$2(n-1)$  = Shape factor for Weibull distribution



## FRACTURE UNDER CYCLIC LOADING (Ctd)

**F = failure rate, p (for a batch of N >> 1 specimens, nb of failures tolerated is Np)**

$$\bullet \text{ p = F in Eq (4)} \quad \Rightarrow (1 - R)^{2v} \frac{t}{t_c} = \left( \frac{\sigma_c}{\sigma} \right)^2 \left[ \left\{ \frac{V_c}{V} \left( \frac{\sigma_c}{\sigma} \right)^{2(n-1)} \ln \left( \frac{1}{1-p} \right) \right\}^{\frac{(v-1)}{(n-1)}} - 1 \right] \quad (5)$$

**• Design : - components of length**  
**- load [ LR, L ]**

| Define cross sectional area A for a failure rate, p ?  
 ⇒ Curves relating A to design life, t and failure rate, p

$$\frac{\sigma}{\sigma_c} = \frac{A_c}{A}; \quad \frac{V}{V_c} = \frac{\ell A}{\ell_c A_c}$$

**Eq (5)**       $\Rightarrow (1 - R)^{2v} \frac{t}{t_c} = \left( \frac{A}{A_c} \right)^2 \left[ \left\{ \frac{\ell_c}{\ell} \left( \frac{A}{A_c} \right)^{2n-3} \ln \left( \frac{1}{1-p} \right) \right\}^{\frac{(v-1)}{(n-1)}} - 1 \right] \quad (6)$

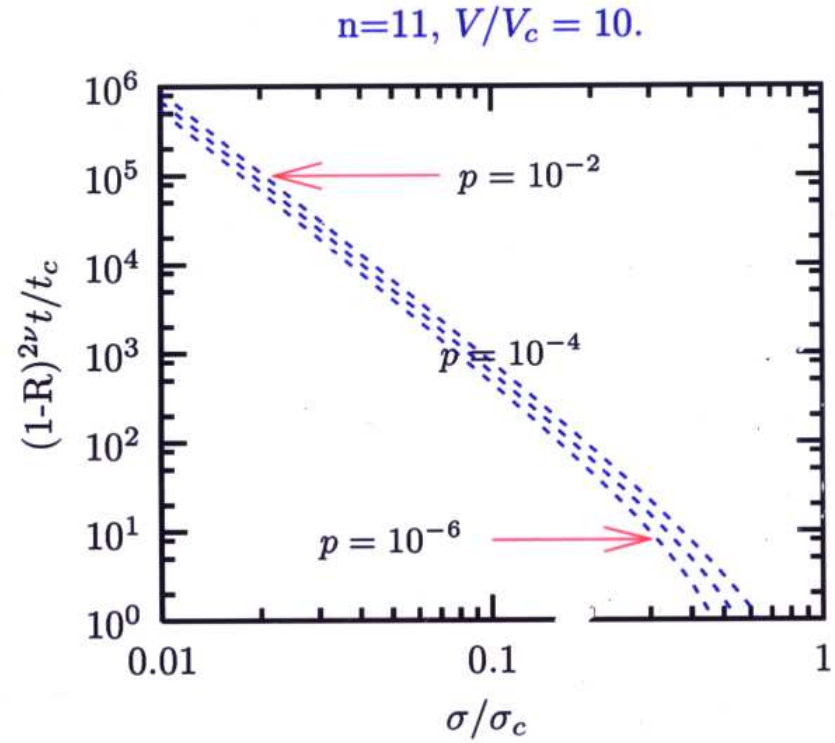
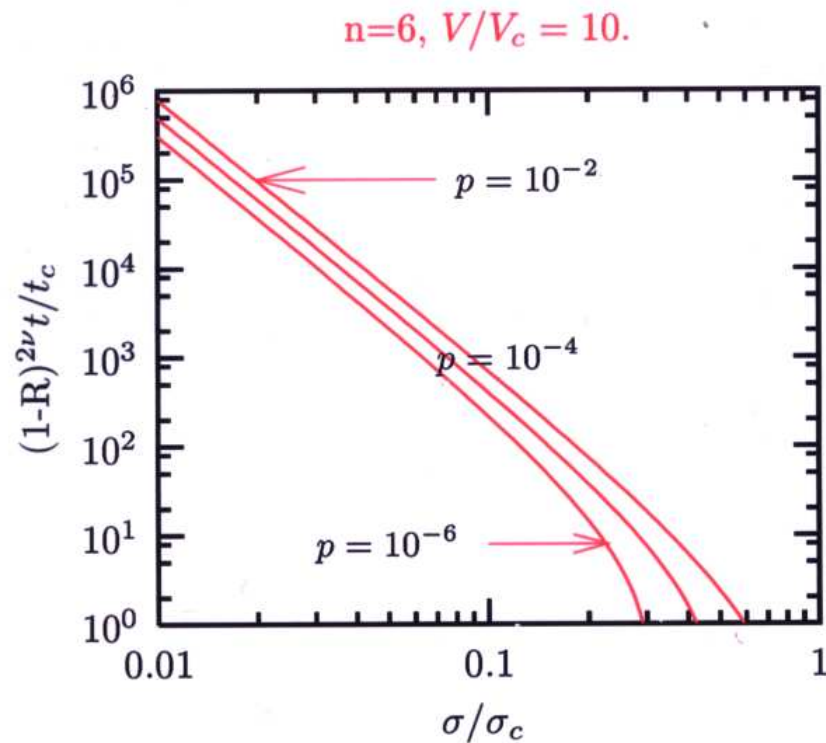
When  $A / A_c$  large and  $p$  small, Eq (6)  $\Rightarrow \frac{A}{A_c} \approx \left( \frac{1}{p \ell_c} \right)^{\frac{v-1}{1+(2n-3)v}} \left\{ (1 - R)^{2v} \frac{t}{t_c} \right\}^{\frac{n-1}{1+(2n-3)v}}$       (7)

In Paris law  $v = 3/2$ , Eq (7)  $\Rightarrow \frac{A}{A_c} \approx \left( \frac{1}{p \ell_c} \right)^{\frac{1}{6n-7}} \left\{ (1 - R)^3 \frac{t}{t_c} \right\}^{\frac{2n-2}{6n-7}}$       (8)



$n$  = Shape factor for defect distribution

$2(n-1)$  = Shape factor for Weibull distribution



## FRACTURE UNDER CYCLIC LOADING (Ctd and End)

SAFETY FACTOR in DESIGN ?

$A \rightarrow fA$  ( $f > 1$ )

Eq (8)

$$\Rightarrow A\alpha \left( \frac{t^{2n-2}}{p} \right)^{\frac{1}{6n-7}}$$

⇒ Application of safety factor,  $f$ , is equivalent to :

- either maintaining the design life,  $t$ , but decreasing **the failure rate**  
from  $p$  to  $(p/f)^{6n-7}$
- or maintaining the failure rate,  $p$ , but increasing **the design life**  
from  $t_f$  to  $(t_f)^{(6n-7)/(2n-2)}$

**See figures showing these variations**

### LARGE DECREASE IN FAILURE RATE RESULTS FROM EVEN LOW VALUES OF SAFETY FACTOR

Further Readings :

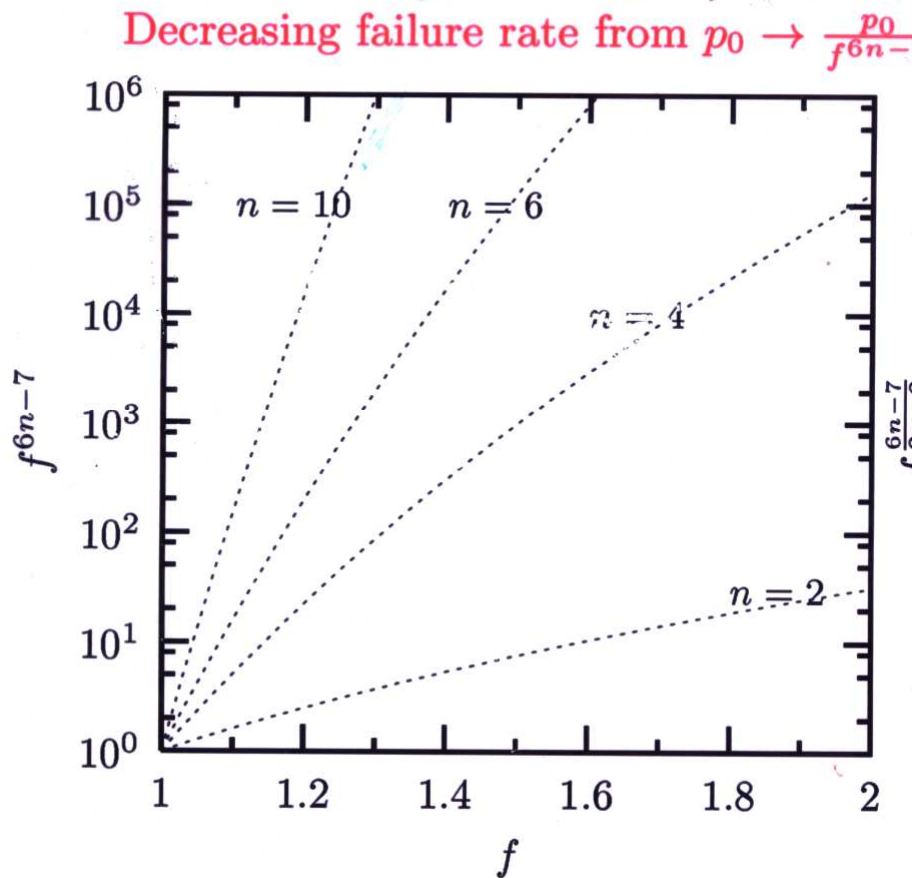
- L.N. Mc Cartney (1979). Int. Journal of Fracture, Vol. 15, pp. 477 - 487
- L.N. Mc Cartney (1979). Fatigue of Engineering Materials and Structures, Vol. 2, pp. 387 - 400



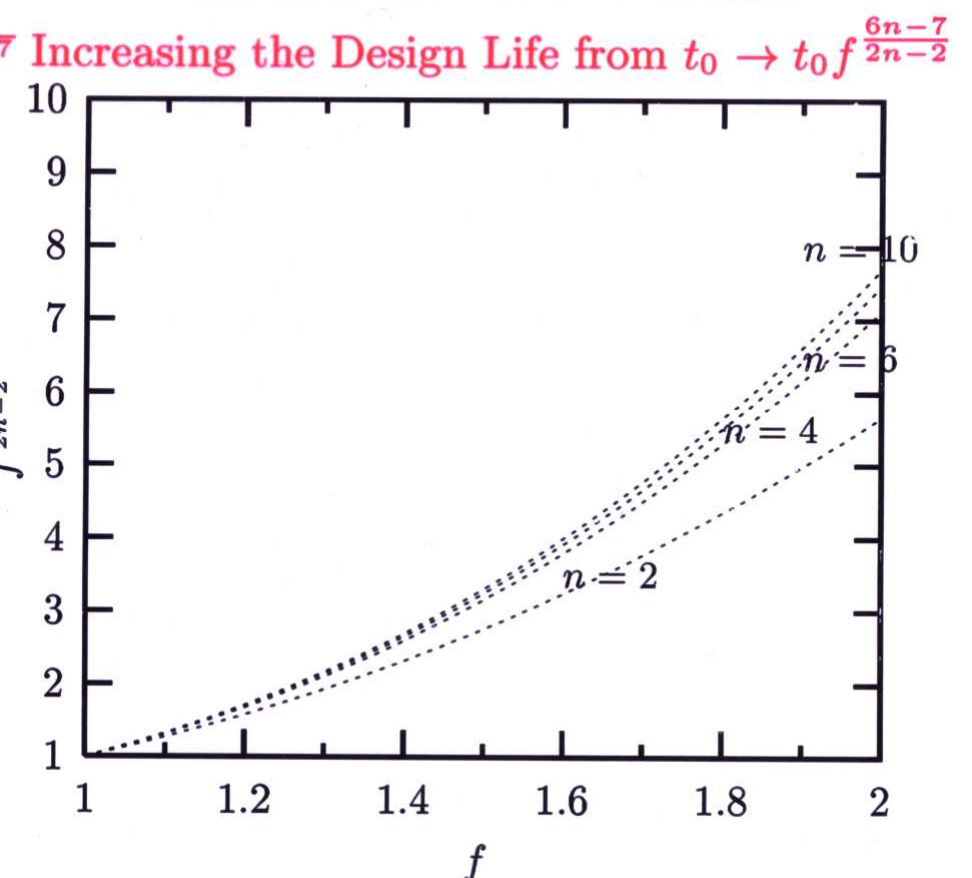
$n$  = Shape factor for defect distribution

$2(n-1)$  = Shape factor for Weibull distribution

### Maintaining the Design Life, $t_0$



### Maintaining the failure rate, $p_0$



# **INTRODUCTION TO MATERIAL VARIABILITY OF MECHANICAL PROPERTIES AND LENGTH SCALE**

**A. Pineau**

**Centre des Matériaux - École des Mines**

**B.P. 87 - 91003 EVRY Cedex**

**e-mail : andre.pineau@ensmp.fr**

## **I - INTRODUCTION - CASE STUDIES**

## **II - ELASTICITY**

## **III - PLASTICITY**

## **IV - FRACTURE : 2 Case Studies**

- Duplex Stainless Steels
- Welds

## **V - A SIMPLE MODEL BASED ON WEAKEST LINK THEORY**

## **VI - CONCLUSIONS**



## CONCLUSIONS

- Many sources of variability
- Other sources of variability related to loading  
Not considered here except in the Introduction
- Large length scale to cover
- Microstructure : A Key Parameter

